

交通部中央氣象局
委託研究計畫期末成果報告

地基 GPS 衛星資料處理與分析

計畫類別：氣象 海象 地震

計畫編號：MOTC-CWB-101-M-10

執行期間：101 年 2 月 9 日至 101 年 12 月 31 日

計畫主持人：葉大綱副教授

執行機構：國立臺北大學

本成果報告包括以下應繳交之附件(或附錄)：

赴國外出差或研習心得報告 1 份

赴大陸地區出差或研習心得報告 1 份

出席國際學術會議心得報告及發表之論文各 1 份

中華民國 101 年 11 月 22 日

政府研究計畫期末報告摘要資料表

計畫中文名稱	地基 GPS 衛星資料處理與分析		
計畫編號	MOTC-CWB-101-M-10		
主管機關	交通部中央氣象局		
執行機構	國立臺北大學		
年度	101	執行期間	101 年 2 月 9 日至 101 年 12 月 31 日
本期經費 (單位：千元)	512.6 千元		
執行進度	預定 (%)	實際 (%)	比較 (%)
	100%	100%	0%
經費支用	預定(千元)	實際(千元)	支用率 (%)
	512.6 千元	512.6 千元	100%
研究人員	計畫主持人	協同主持人	研究助理
	葉大綱	蕭棟元	
報告頁數	75 頁	使用語言	中文
中英文關鍵詞	全球定位系統、水氣微波輻射儀、對流層、濕延遲、水氣含量 GPS, WVR, troposphere, zenith wet delay, precipitable water vapor		
研究目的	<p>應用交通部中央氣象局之地面 GPS 連續接收站的觀測資料，獲得絕對之對流層濕延遲量；在解決低角度訊號的問題上，將有賴於應用水氣微波輻射儀（部分測站）及 GPS 相對定位（所有測站）進行異值觀測校正，藉以提升 GPS-ZWD 之反演精度。此外，中央氣象局過去業已委託美國之專家建置完成 GPS-ZWD 自動計算程序，然對於上游地基 GPS 觀測的處理與分析仍未完全掌握關鍵技術。本研究除了利用水氣微波輻射儀觀測資料進行外部修正，在計算精度上力求突破之外，亦將針對中央氣象局現有之即時地基 GPS 觀測處理系統的資料處理品質進行分析與調校；除了將提出系統分析報告之外，並提供必要之維運協助，並以教育訓練及技術轉移的模式，以改進現有之地基 GPS 可降水量產品和資料同化效能。</p>		

研究成果	<p>由 PKGM 站及 KDNM 站的 WVR 觀測資料，發現其水氣觀測值與 GPS 反演計算值呈現一致的趨勢，且相關係數都在 0.9 以上；此數據再加上地面雨量資料時可顯示，在訊號延遲量較高（水氣量較高）的情況下比較容易有降雨的跡象，一般平地測站當可降水量維持在 60 mm 時其降雨機率明顯增加。此外，KDNM 站的反演成果經由不同主站進行精度求證得知，KDNM 站的變化量與基線長短無關，其原因在儀器本身在更換測站時可能未做好適當的調整或校正，導致誤差偏移量過大，但對數據的真實性並沒有影響，也預估出求解基線長短在 1600~2400 公里的範圍內為最佳解算。</p> <p>此外，假設以 WVR 的觀測值作為標準，可發現本研究 GPS 計算的水氣量平均低估值在 2 mm，而 NCAR 的計算結果則與我們的成果有 4 mm 的差異；由此可知，NCAR 所評估的可降水量與 WVR 的觀測成果差異更大，平均來說約有 6 mm 的低估。此外，測站高程越低之地區其延遲量需較高才會發生降雨，在海拔較低之地區延遲量在 60 mm 左右、中海拔則在 50 mm 左右才有降雨的跡象，所以海拔高度 1691 m 的 SANL 站，其水氣量平均值只要 41.08 mm 就有降雨現象，且各測站之水氣量與測站高程呈現反比關係。</p>
具體落實應用情形	<p>地基 GPS-ZWD 自動化計算程序流程（如圖 16 所示）主要由 shell script 和 perl 兩種程式語言來做整個系統程式流程控制，處理程序主要分為兩個，一個是近即時（Near-Real Time, NRT），另一個則是全日（Daily Processing, DP）程序。NRT 每兩小時執行一次，於每日的 1:15、3:15、5:15 間隔兩小時跑一次，每次計算前 1 小時至前 3 小時的資料。例如：1:15 跑前一天 22:00~24:00，3:15 跑當天 0:00~2:00，依此類推；目前現況由於即時資料來不及進入資料庫，故大多只跑 1 小時的資料。DP 每日的 7 點 30 分執行，執行的每一流程結果皆有回報，使用者可以很方便的透過回報結果來檢查出錯的流程。</p> <p>而地基 GPS-ZWD 自動化計算程序流程主要有五個自動化流程：取得衛星相關資料和 GPS 地基陣列資料、DP 程序、2 小時 NRT 程序、NRT 狀態回報、資料壓縮（Data Archiving, TBD）。今年五月開始，NCAR 開始新增了每小時執行一次的流程，於 0:40、1:40、2:40 每一小時跑一次，跑前 1 小時的資料。例如：0:40 跑前一天 23:00~24:00，1:40 跑當天 0:00~1:00。</p>
計畫變更說明	無
落後原因	無

檢討與建議 (變更或落後 之因應對策)	無
---------------------------	---

地基 GPS 衛星資料處理與分析

摘要

水氣對於地球上來說是原本存在的物理現象，對於氣候上的變遷，水氣扮演一種能量傳遞方式，相較於整個大氣層中的其他氣體時，在呈現上屬於比較不穩定的狀態，也對人類的生活帶來許多的優缺點。因此，若能有效的獲取大氣中水氣含量（Precipitable Water Vapor, PWV）資訊，對於天氣狀態的研究與分析以及氣象的預報會有相當之協助，本研究以地面 GPS 接收訊號來求解對流層天頂向的水氣含量，並藉由地面的雨量資料來釐清與 PWV 之間的關係。GPS 衛星資料是以 Bernese 5.0 求解水氣含量，並利用水氣微波輻射儀（Water Vapor Radiometer, WVR）所觀測到的濕延遲量來驗證本研究所計算之成果。成果顯示，WVR 觀測值及 GPS 計算值呈現一致的趨勢，相關係數都在 0.9 以上，平均誤差約為 -2 mm。此外，PWV 較高的情況下通常即有降雨的跡象，平地的 PWV 在 60 mm、山區 PWV 在 40 mm 就容易有降雨的現象，本研究藉由數據上的統計分析了解天氣的狀態，希望對氣象的預報上提供參考的數據。

關鍵詞：全球定位系統、水氣微波輻射儀、對流層、濕延遲、水氣含量

Abstract

Water vapor is part of the evaporation process—a long existing physical phenomenon on earth. It transfers energy in the Nature as the weather changes, and is therefore less stable than other types of gasses in the atmosphere. Because of its instability, it affects people's lives in both good and bad ways. If we can more effectively obtain information on Precipitable Water Vapor (PWV) in the atmosphere, we will be able to conduct more detailed researches and analyses about the weather and give more accurate forecasts. This research aims to measure water vapor in tropospheric zenith delay through signals received from the global positioning system (GPS). It also seeks to understand the relations between GPS and PWV through precipitation data. Bernese 5.0 is used to measure water vapor, and the wet delay data obtained through Water Vapor Radiometer (WVR) is used to verify such calculation. Results show that, in terms of measurement accuracy, WVR and GPS works just as well as one another, with their correlation coefficients standing over 0.9 and average errors is around -2 mm. In addition, there is often rain when PWV is high, such as 60 mm in plain areas and 40 mm in the mountains. We hope the statistical results of this research can not only help researchers understand more about the weather, but help improve the quality of weather forecasting in the future.

Keywords: GPS, WVR, troposphere, zenith wet delay, precipitable water vapor

一、前言

全球定位系統 (Global Positioning System, GPS) 發展至今，已在諸多領域中受到廣泛的應用。其中有關氣象科學上的應用，可稱之為 GPS 氣象學 (GPS Meteorology, GPS/Met)，其主要目的在於利用地球大氣對於 GPS 衛星信號所造成延遲效應，反演得到有用的大氣資訊，從而增進大氣科學、氣象學等相關學術研究領域之發展。在大氣層中，氮氣、氧氣與氫氣維持固定的比例，而水氣、二氧化碳等則是變動氣體，隨著位置與時間的不一樣而有不同的量，其中變化最大的是水氣，平均而言其變動量為 1% (Wikipedia, 2008)。水氣主要分布在低層的大氣層中，50%的水氣集中在地表至其上方 2 公里的大氣層之中，75%集中在地表至 4 公里，99.99%集中在地表至對流層頂。水氣在大氣中所佔的比例很小，但由於水可以在自然界中三態並存，並藉由這些三態相位的改變形成了各種天氣現象，水三態的變化中會釋放或吸收能量，其中水氣的蒸發與凝結能夠吸收或釋放潛熱，這些熱量的傳輸，是颱風、雷雨等的能量所在，因此水氣在氣象預報與氣象監測中，扮演了很重要的角色。能夠精準與快速的求取大氣的水氣含量，將會裨益氣象預報與增進對地球水循環的了解。

由於偵測大氣可降水量變化對於掌握特定天氣現象具有相當大的幫助，因此對天氣預報來說，大氣可降水量的估計具有其重要性。近年來，GPS 訊號應用越來越廣泛，運用於大氣可降水量估算上，將可以彌補探空氣球觀測大氣可降水量時，空間限制及時間解析度上的不足 (蔡亦證, 2005)。在過去較常使用的氣象觀測方法中，不論是地面氣象觀測儀器或是探空氣球所量測而得的大氣資料，皆僅是點狀的分佈在大陸及小島上，對於海水分佈占地表面積 70% 的地球來說，這樣的資料顯然不足；且探空氣球受到氣球飛行高度限制，使得飛行限制高度至衛星之間尚存有一段無法測量的區域，而在相關的研究中發現，此段稀薄的中性大氣造成的訊號遲延量，佔整體遲延量約在 6-8% 之間 (何人豪, 2002)；因此，將此段空氣造成的遲延量彌補以後，整段的遲延量才能拿來做為修正地面氣象模式的依據。

台灣位於太平洋西岸的亞熱帶區域，每年平均會受到 3-4 個颱風的侵襲，颱風路徑預估的困難度往往令人印象深刻；2009 年 8 月 8 日的莫拉克颱風，使得台灣經歷了有雨量紀錄史上最大的降雨量，對於台灣南部地區造成相當嚴重的災情。對於科技及資訊產業如此發達的今日，颱風行進路徑及降雨量的難以捉摸，目前仍無完整的解決方案；其主要原因大多歸咎於颱風的生成及發展主要是發生於觀測資料稀少的海洋上，在缺乏對颱風結構及環境駛流場解析的情況下，欲增加對動力颱風的瞭解及增進數值模式初始場的準確性，一直是颱風研究急待解決的問題 (黃葳芃, 2005)。有鑑於美國對於投落送觀測任務累積多年之經驗，並為增加西北太平洋地區颱風周遭環境大氣資料之觀測，自 2003 年起台灣地區正式展開侵台颱風之 GPS 投落送飛機偵察觀測實驗，針對可能侵襲台灣地區的颱風進行投落送觀測任務。同化投落送資料可以使得美國全球預報系統及日本氣象廳全球波譜模式平均颱風預報路徑誤差分別改進 16% 及 24%，而

考慮此兩個全球模式之系集預報，可達 18% 的改進 (Wu *et al.*, 2005)。

然而 GPS 投落送觀測皆為個案的分析，雖對區域性的氣象觀測有著相當亮眼的成績，但對於目前全球所面臨的溫室效應問題，仍欠缺全面性的有效提昇。福爾摩沙衛星三號於 2006 年 4 月 15 日發射成功後，6 顆微衛星組成涵蓋全球的低軌道微衛星星系來接收美國 31 顆 GPS 衛星所發出的訊號。觀測範圍涵蓋全球大氣層及電離層，每天提供全球平均 2500 點的輸入資料值；這些資料均勻分佈於全球上空，且約每 3 小時可完成全球氣象資料蒐集及計算分析，約每 90 分鐘更新一次 (胡浩霖, 2006)。利用 GPS 的掩星觀測技術，可反演出高解析度大氣參數的變化，以利於全球大氣的即時觀測，不僅提高氣象預報更新的頻率，使氣象報告具有實際的效益外，亦可用於長時間之氣候變遷現象之監測、進行全球太空天氣之預報。

此外，台灣全島已經佈設超過 400 座的地面 GPS 連續接收站，且其觀測資料半數以上已可透過網路即時回傳到資料中心；也就是因為在這樣的時空背景下，我們已經可以輕易的獲得全台灣地區的即時性 GPS 連續觀測資料，使得本研究可以在近即時的條件下，分析台灣地區的對流層水氣含量，並嘗試將所獲得之大氣中可降水量，透過網路提供給大氣相關學門的研究者；希望藉由提供台灣地區大氣基本資料，相關成果除了可以應用在民生工程領域上，未來對於天氣預報、環境監測及資源災害的監控，亦可提供適當的資訊，供決策者規劃設計之用。

二、研究目的及意義

近年來在溫室效應及聖嬰現象的雙重影響之下，全球各地因為豪雨及暴風雪所造成的災情與日俱增，地球環境保護的課題可說是全民運動，在這樣一個環境變遷加遽的年代，世界各國對於全球性的氣象監測，皆在如火如荼的展開中。台灣在此一領域亦將扮演著不可或缺的角色，如國家太空中心於 2006 年所發射的福爾摩沙三號衛星，即是一項國人積極參與國際『氣象、電離層及氣候之衛星星系觀測系統』(FORMOSAT-3/COSMIC) 觀測計畫的最佳表現。台灣位處太平洋西岸亞熱帶地區，長年遭受颱風的強烈侵襲，國際上未來在颱風觀測資料方面，日本自 2008 年起已配合 THORPEX/PARC 進行颱風投落送觀測實驗，因此西北太平洋區域的投落送資料將可以增加。未來可嘗試整合投落送資料與遙測資料，例如 FORMOSAT-3/COSMIC 的 GPS/MET、衛星風場、海表面風以及雷達資料等資料進行同化，此為未來值得持續突破之焦點 (Wu *et al.*, 2000)。

此外，應用連續觀測的 GPS 衛星定位觀測資料可以獲得大氣對流層中水氣含量的動態變化，提供高精度、高時空解析度、近即時連續的可降水量變化，可提供服務於氣象學研究，並可大大提高監測突發性天氣的能力；對於改進天氣短期預報，特別是雷暴雨天氣的預報和數值天氣預報模型具有極重要的功用。目前，美國大氣和海洋管理局的地基 GPS 氣象網每 30 分鐘即可算出測站上空可降水量的變化結果；而日本由 1000 多個測站所組成的 GPS 網，也已兼顧地

基 GPS 氣象學的應用，根據評估可降水氣的監測精度優於 2 mm，觀測結果與實際降雨量之間也存在良好的相關性，充分顯示出地基 GPS 預報天氣的潛力。

利用 GPS 可以反演大氣可降水的主要原因為衛星訊號在傳播的路徑中會穿過大氣層，此層大氣會使 GPS 衛星訊號的傳播路徑改變及傳播速度改變。大氣層的影響又可大致分為兩種，第一種為電離層導致的，第二種為中性大氣層，第二種的影響主要為對流層與平流層下部的氣體所導致的。當 GPS 衛星訊號穿過中性大氣層時，會受到水氣的影響而改變行進方向與速度，推算與建立模式估計電磁波在中性大氣層中的傳播路徑延遲量，最主要的三個發展為 (Herring, 1992)：(1) Saastamoinen 於 1972 提出的流體靜力延遲天頂方程式；(2) Marini 於 1972 年及 Marini 與 Murray 於 1973 年提出的與訊號仰角相關的仰角正弦函數的連續分數，此函數一般稱為大氣延遲映射函數 (Mapping Function)；(3) Gardner 於 1977 年提出的方位不對稱模式。由估計出的 GPS 衛星訊號於中性大氣層中於天頂方向的傳播延遲量可以得知該時刻大氣層中的物質對 GPS 衛星訊號的影響，稱之為對流層延遲量。對流層延遲量可以分為兩種類型：第一種為流體靜力延遲，又稱乾延遲，第二種為溼延遲。乾延遲的量值在天頂方向約為 2.3 公尺，而乾延遲可以透過地表壓力值來模式化進而移除乾延遲，其精度可達 mm 等級 (Bevis *et al.*, 1992)。經由已知的對流層延遲量與乾延遲相減可得到溼延遲，溼延遲透過一轉換因子可以得到可降水 (Askne and Nordius, 1987)。

近年來 GPS 技術廣泛的使用在計算與估計可降水上 (Wang *et al.*, 2007)，因為使用 GPS 估計可降水的優勢有：不受天候影響、成本低廉、網形覆蓋範圍大、降雨時依然可使用 GPS 估計可降水 (Basili *et al.*, 2002)，且其時間解析度高，大於探空氣球一天施放兩次的時間解析度。有鑒於台灣近年因為島內高度的社經發展導致土地利用失衡，再加上全球氣候變遷等眾多因素的影響，致使氣象災害頻傳；因此本研究嘗試以台灣地區現行之 GPS 追蹤站網進行近即時之對流層延遲效應的估計工作，期望透過大氣中可降水的評估，未來應用於環境監控及天氣預報上，進而降低因暴雨所造成之災害。

應用地面 GPS 資料來進行大氣中可降水的研究，即是利用遙測方式來反演氣候資訊的一種方式。就目前的技術看來，其計算精度已相當接近利用水氣微波輻射儀的直接量測精度，但其範圍遠不及空中福衛三號的量測資料；但是就長期上來看，卻是一種較為經濟(地面 GPS 接收站為現有，大多用於土地測量、板塊運動及斷層監測)、近即時(觀測資料皆可每秒傳送至控制中心)且全面性(台灣本島及離島皆已覆蓋超過 400 站的 GPS 連續接收站)的觀測方式。本研究計畫之目的除了將應用交通部中央氣象局之地面 GPS 連續接收站的觀測資料，獲得絕對之對流層濕延遲量；在解決低角度訊號的問題上，將有賴於應用水氣微波輻射儀(部分測站)及 GPS 相對定位(所有測站)進行異值觀測校正，藉以提升 GPS-ZWD 之反演精度。此外，中央氣象局過去業已委託美國之專家建置完成 GPS-ZWD 自動計算程序，然對於上游地基 GPS 觀測的處理與分析仍未完全掌握關鍵技術。本研究除了利用水氣微波輻射儀觀測資料進行外部修正，在計算精度上力求突破之外，亦將針對中央氣象局現有之即時地基 GPS 觀

測處理系統的資料處理品質進行分析與調校；除了將提出系統分析報告之外，並提供必要之維護協助，並以教育訓練及技術轉移的模式，以改進現有之地基 GPS 可降水量產品和資料同化效能。

三、研究方法

電磁波在通過不同介質時，會產生速度的變化及行進方向的改變。此現象造成訊號在傳播通過介質與通過真空中時，其行進的路徑與到達接收器所花之時間都會有所差異，此變化量稱為遲延量。這種特性後來被反向應用，可利用訊號通過介質時造成的遲延量來測量所通過介質之性質。當電磁波自太空傳遞至地球表面時，會經過大氣層而受影響。電磁波傳播的空間並不是真空，而是充滿以大氣為介質的空間。GPS 衛星發射的電磁波訊號到地面的接收儀天線，這其中要穿越過性質與狀態各異且不穩定的若干大氣層。所以，相對真空來說，存在於傳播路徑上的介質可能改變電磁波傳播的方向、速度和強度。

對流層對於 GPS 衛星訊號之影響主要是在於訊號傳遞的速度比在真空中要慢，以及訊號之傳播路徑是曲線而非直線，此兩者乃是由傳播路徑上之折射率所引起。前者是由於對流層折射率大於真空折射率，因而造成速度的延遲；後者則是因為大氣層各個高度之折射率不同，而使其傳遞路徑形成彎曲的延遲。當衛星觀測仰角大於 15 度時，其幾何遲延部份不大於 1 公分 (Bevis *et al.*, 1992) 通常可以不考慮，若是更進一步僅考慮天頂方向訊號傳播，則根據司乃耳定律 (Snell's law) 訊號傳播的路徑會呈直線，幾何遲延便可去除，如圖 1 所示。

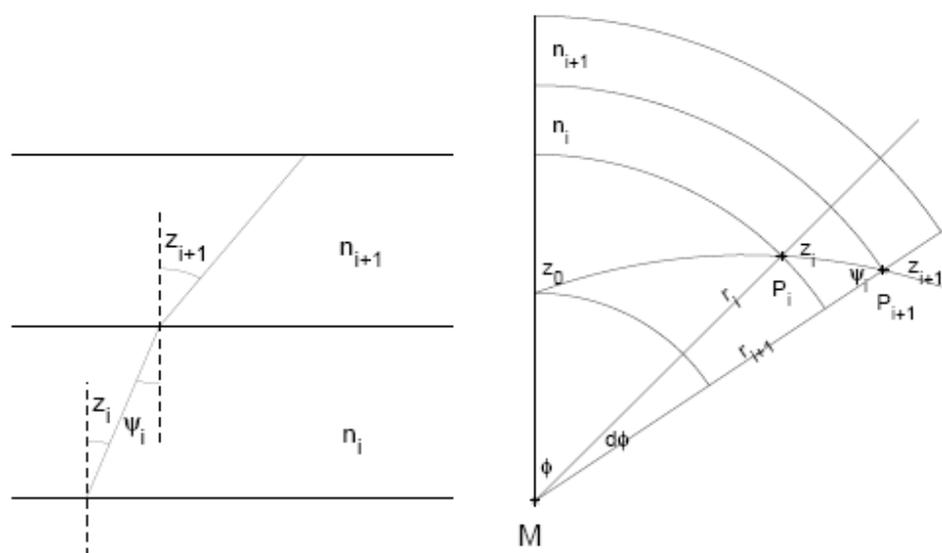


圖 1 Snell's Law (Kleijer, 2004)

由

$$D_{trop} = C_0(t - t_0) = \int_L [n(s) - 1] ds + [S - G]$$

可知天頂向遲延量為：

$$D_{trop}^z = \int_H^{\infty} [n(s) - 1] dz = 10^{-6} \int_H^{\infty} N dz$$

其中，H 為測站接收器高度，N 是溫度、壓力和水氣分壓的函數，稱為折射係數。

一般折射係數 N 的表示為 (Smith and Weintraub, 1953)：

$$N = 77.6 \frac{P}{T} + 3.73 * 10^5 \left(\frac{e}{T^2} \right)$$

P 是總大氣壓(mb)，T 是溫度(K)，e 是水氣分壓(mb)，此式在正常的大氣狀況下精確度約 0.5% (Resch, 1984)。另外考慮非理想氣體影響，比較準確的式子是 (Thayer, 1974)：

$$N = \left(k_1 \frac{P_d}{T} \right) Z_d^{-1} + \left(k_2 \frac{e}{T} + k_3 \frac{e}{T^2} \right) Z_w^{-1}$$

其中 Z_d 和 Z_w 是乾空氣和水氣的空氣壓縮因子 (Owens, 1967)， P_d 和 e 分別為乾空氣和水氣的分壓(mb)，T 是溫度(K)， k_1 、 k_2 、 k_3 為常數，折射係數中等號右邊第一、二項為乾空氣和水氣所引起，第三項為水氣所引起，此式子應用在非常乾燥的空氣中，精確度可達到 0.018%，在極度潮濕的空氣中，精確度可達到 0.048% (Thayer, 1974)。

在大氣層中，空氣壓縮因子相當接近 1 (與 1 相差不到 0.1%)，因此我們視之為 1，上式可以整理得到：

$$D_{trop}^z = 10^{-6} \left[\int_H^{\infty} \left(k_1 \frac{P_d}{T} \right) dz + \int_H^{\infty} \left(k_2 \frac{e}{T} \right) dz + \int_H^{\infty} \left(k_3 \frac{e}{T^2} \right) dz \right]$$

由理想氣體定律空氣密度可寫成：

$$\rho = \rho_d + \rho_w = \frac{M_d}{R} \left[\frac{P}{T} - \left(1 - \frac{M_w}{M_d} \right) \frac{e}{T} \right]$$

其中， ρ_d ：乾空氣密度， ρ_w ：溼空氣密度， R ：莫耳氣體常數等於 8.314 J/mol×K， M_w ：水氣的莫耳質量， M_d ：乾空氣的莫耳質量等於 28.9644 g/mol。

大氣層通常符合流體靜力方程式：

$$\frac{dP}{dz} = -\rho g$$

代入上式積分可得：

$$\int_H^{\infty} \frac{P}{T} dz = \frac{R P_s}{M_d g_m} + \left(1 - \frac{M_w}{M_d} \right) \int_H^{\infty} \frac{e}{T} dz$$

其中， P_s 是地表總大氣壓值(mb)， g_m 是大氣垂直空氣柱質量中心的重力加速度(m/s²)，將上式代入遲延積分可以得到：

$$D_{trop}^Z = 10^{-6} \left\{ \frac{k_1 R}{g_m M_d} P_s + \int_H^\infty \left[\left(k_2 - k_1 \frac{M_w}{M_d} \right) \frac{e}{T} + k_3 \frac{e}{T^2} \right] dz \right\}$$

上式亦可寫為：

$$D_{trop}^Z = D_{trop,h}^Z + D_{trop,w}^Z$$

上式等號右邊第一項(以 $D_{trop,h}^Z$ 表示)可藉著測量地表總大氣壓值得到，稱為流體靜力平衡遲延或稱為乾遲延，等號右邊第二項(以 $D_{trop,w}^Z$ 表示)必須要知道大氣層溫度和水氣壓的剖面資訊才能計算，通常稱為溼遲延。

本研究採用最小二乘法解算 GPS 觀測資料，並估計天頂向遲延量。以載波相位觀測方程式計算待測站座標(X_j, Y_j, Z_j)時，先將 $D_{trop,h}^Z$ 以模式求得的遲延量代入；且已知電離層遲延量的大小與載波頻率的平方成反比，故可利用雙頻載波無電離層線性組合，消除電離層遲延量。接著使用最小二乘法計算座標，當測站座標已知，衛星位置由精密星曆可知，則測站至衛星的幾何距離即為已知值，可表示如下式：

$$\varphi_{ij}^{pq}(t) = \frac{f}{c} \left\langle D_{i,trop}^Z(t) \cdot [M(\theta_i^p) - M(\theta_i^q)] - D_{j,trop}^Z(t) \cdot [M(\theta_j^p) - M(\theta_j^q)] \right\rangle$$

θ_i^p ：為測站 i 觀測衛星 p 的仰角

θ_i^q ：為測站 i 觀測衛星 q 的仰角

θ_j^p ：為測站 j 觀測衛星 p 的仰角

θ_j^q ：為測站 j 觀測衛星 q 的仰角

$M(\theta)$ ：映射函數，只要觀測仰角已知，映射函數即為一常數

$D_{trop}^Z(t)$ ：接收站天頂向對流層大氣遲延量

式中欲求解的未知數有 i, j 兩站天頂向對流層遲延量，但求解時可觀測到的衛星顆數不只有兩顆，因為觀測量大於未知數數量，此處採用最小二乘法進行參數求解。而溼遲延與可降水的關係，可由上式右邊第二項提出表示為：

$$D_{trop,w}^Z = 10^{-6} \int_H^\infty \left[\left(k_2 - k_1 \frac{M_w}{M_d} \right) \frac{e}{T} + k_3 \frac{e}{T^2} \right] dz$$

$$D_{trop,w}^Z = 10^{-6} \left(k_2' + \frac{k_3}{T_m} \right) \int_H^\infty \frac{e}{T} dz$$

其中， k_2' 為常數， $k_2' = k_2 - k_1 \frac{M_w}{M_d}$ 。我們定義可降水為一大氣垂直空氣柱

中液態水的總量，通常以高度為其單位，即：

$$PW = \frac{1}{\rho_l} \int_H^\infty \rho_w dz = \frac{1}{\rho_l R_w} \int_H^\infty \frac{e}{T} dz$$

ρ_w 是水氣密度， ρ_l 是液態水密度， R_w 是水氣的氣體常數($R_w = R/M_w$)。由 GPS 得到的溼遲延量可轉換成可降水量 PW(Askne and Nordius, 1987; Bevis *et al.*, 1994)：

$$PW = \Pi \times D_{trop,w}^Z$$

其中 Π 為轉換因子，而沿天頂向積分，大氣垂直總水氣含量 (Integrated Water Vapor, IWV) 即為可降水乘上液態水的密度：

$$IWV = PW \times \rho_l$$

IWV 的意義為單位底面積的大氣垂直空氣柱中，含有多少單位重量的水 (kg/m^2)；而 PW 的意義為一單位面積大氣垂直空氣柱中含有多少單位高度的水氣 (mm)。

本研究採用颱風或梅雨期間的極端案例來進行研究，至於 GPS 觀測站將採用中央氣象局的 GPS 連續觀測資料來進行分析。雖然對流層模式的發展已超過 30 年的歷史，天頂向的延遲精度已可達 1 cm 以內，至於其他來自各種不同天頂角及方位角的訊號，則多以映射函數來進行修正。在天頂方向的遲延量，在使用數學氣象模式模擬時，仍留有殘差在估計出來的成果之中，該量會隨著衛星訊號入射角的降低而持續的增加；這些誤差對於對流層濕延遲量的計算以及大氣中可降水的反演中，皆有著一定程度的影響。因此在解決低角度訊號的問題上，將有賴於應用水氣微波輻射儀 (部分測站) 及 GPS 相對定位 (所有測站) 進行異值觀測校正，藉以提升 ZWD 之反演精度。

以往計算對流層遲延量的方法，大多將 ZWD 當作未知數或附加參數，與 GPS 定位坐標一併同時求解。但台灣地區相對定位所採用的基線大多小於 300 公里，測站與測站間相對的對流層遲延量雖然可以相當精準的解出，但對於絕對對流層遲延量仍無法做一精準的估計，容易產生系統性的偏差。因此本研究採用計算 GPS 長基線 (約 2000 公里) 以估算台灣地區絕對之對流層遲延量，並輔以水氣微波輻射儀的量測結果進行約制校正，方能消除部分系統誤差。然而，水氣微波輻射儀全台只有兩部，只能針對少數測站的反演資料進行約制，其餘測站只能藉由外差或經驗方法加以修正，其成果仍有精進的空間。

過去一般非天頂角部份的 GPS 訊號遲延量大多利用映射函數進行投影估算，但實際上衛星追蹤站的幾何天頂方向與對流層所假設的球層狀結構天頂方向是有所不同的，這兩者間的角度差便會影響到使用映射函數進行非天頂方向遲延量的估算成果，也就代表著在使用映射函數時亦要考慮遲延量存在著水平梯度的問題 (如圖 2 所示)。對此問題可利用參數估計配合對流層遲延模式，對台灣地區進行對流層參數最佳化設計，並採用水氣微波輻射儀的量測結果進行

異質觀測約制，藉以修正此一部份之系統性誤差。

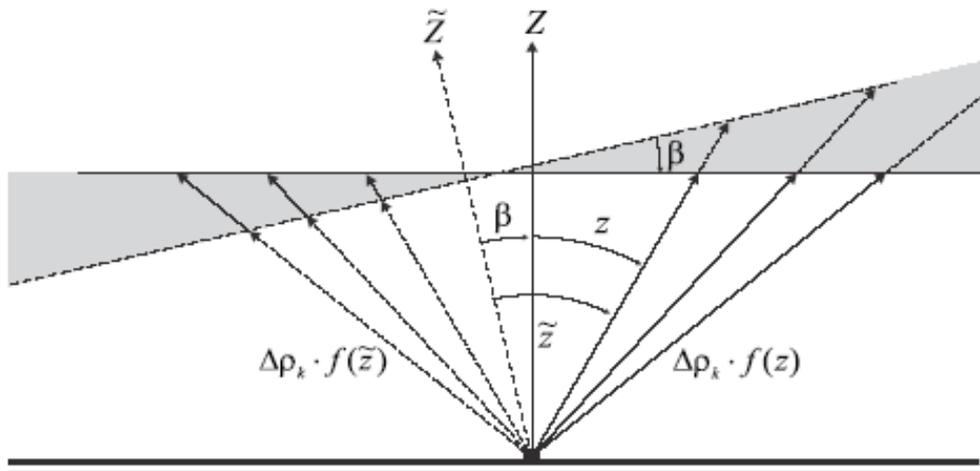


圖 2 對流層與地球幾何天頂方向示意 (Hugentobler *et al.*, 2001)

本研究除了將針對中央氣象局 GPS-ZWD 自動化計算程序進行分析，進而解析美國專家所建立之自動化計算程序之外；也將應用地面 GPS 連續觀測資料來進行大氣中可降水的研究，進一步提升反演的精度以消除系統誤差。就目前的技術看來，地面 GPS 之 ZWD 計算精度已相當接近利用水氣微波輻射儀的直接量測精度，雖然其範圍仍遠不及空中福衛三號涵蓋全球的量測資料，但卻可提供地面的數值約制資訊，藉以提昇空中反演的精度；此外，地面 GPS 就長期上來看，卻是一種較為經濟（地面 GPS 接收站多為現有且多功能，福衛三號所費不貲且有其壽命限制）、近即時（觀測資料皆可近即時獲得）且全面性（台灣本島及離島皆已覆蓋高密度的 GPS 連續接收站）的觀測方式；這將提供充足的動機，促使我們發展以 GPS 追蹤站網近即時監測大氣的技術，透過同步匯集、處理台灣地區 GPS 追蹤站網觀測資料，為有關單位提供快速、高空間解析力之大氣折射資訊，進而精進短期氣象預報及長期氣候監測等工作，進而提升我國對於氣象災害之應變能力、有效預防及減輕災害損失。

四、具體成果

1. 分析 GPS-PWV 與 WVR-PWV 之關連性

首先要探討的是 GPS 訊號與水氣微波輻射儀是否具有關連性，本文以 WVR、GPS 觀測資料及地面氣象資料，以內政部在陽明山、北港及墾丁站所建置的水氣微波輻射儀來分析水氣含量，由資料上所顯示的數據得知，兩者的線形呈現一致的趨勢現象，如圖 3 及 4 所示。在前期北港站 GPS-PWV 與 WVR-PWV 的相關係數為 0.91，誤差量為 -2.20 mm；而陽明山站 GPS-PWV 與 WVR-PWV 的相關係數為 0.91，誤差量為 -1.45 mm，且 GPS-PWV 較 WVR-PWV 為低。換句話說，假設 WVR 觀測的為真值，目前我們計算所得的 PWV 略微低估。

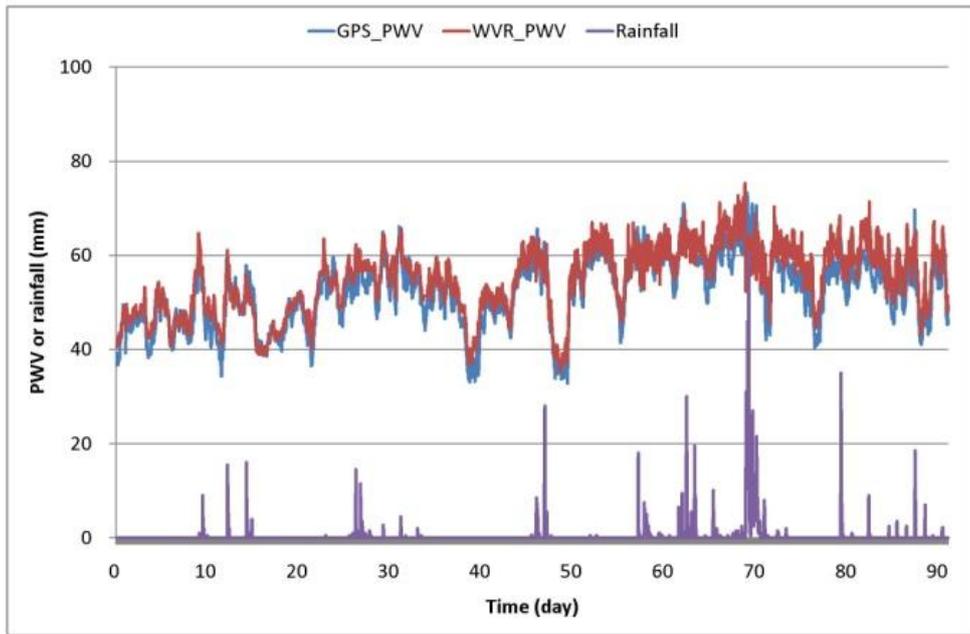


圖 3 前期四、五、六月份北港站 GPS 及 WVR 趨勢圖

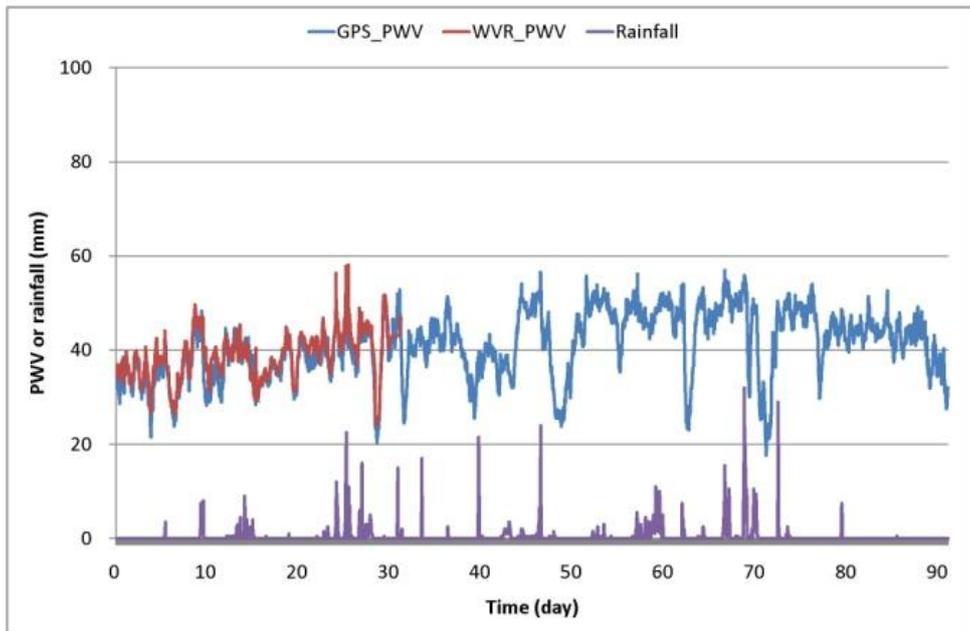


圖 4 前期四、五、六月份陽明山站 GPS 及 WVR 趨勢圖

接下來看後期陽明山站的 WVR 因為故障，送修後移至墾丁站的結果，如圖 5 與圖 6 所示。圖中橫坐標是以 5 月 1 日當作起算天數，在北港站上，兩者的相關係數達 0.96，平均誤差為 -0.83 mm；而 KDNM 站的相關係數為 0.91，平均誤差為 4.84 mm。

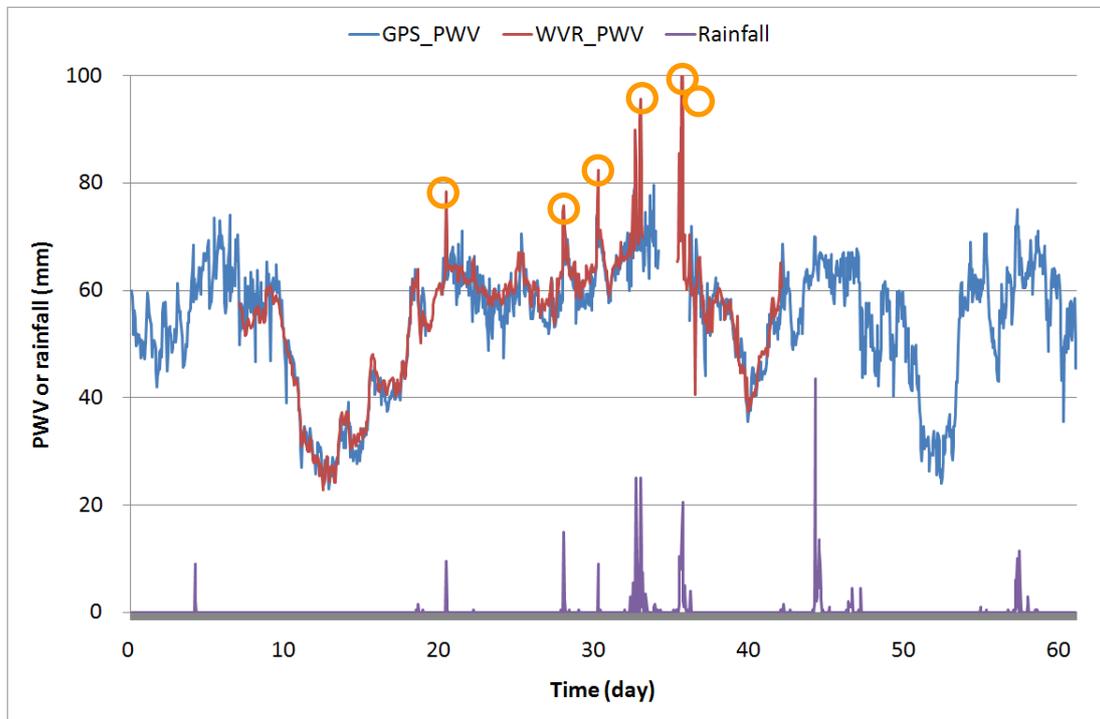


圖 5 後期五、六月份北港站 GPS 及 WVR 趨勢圖

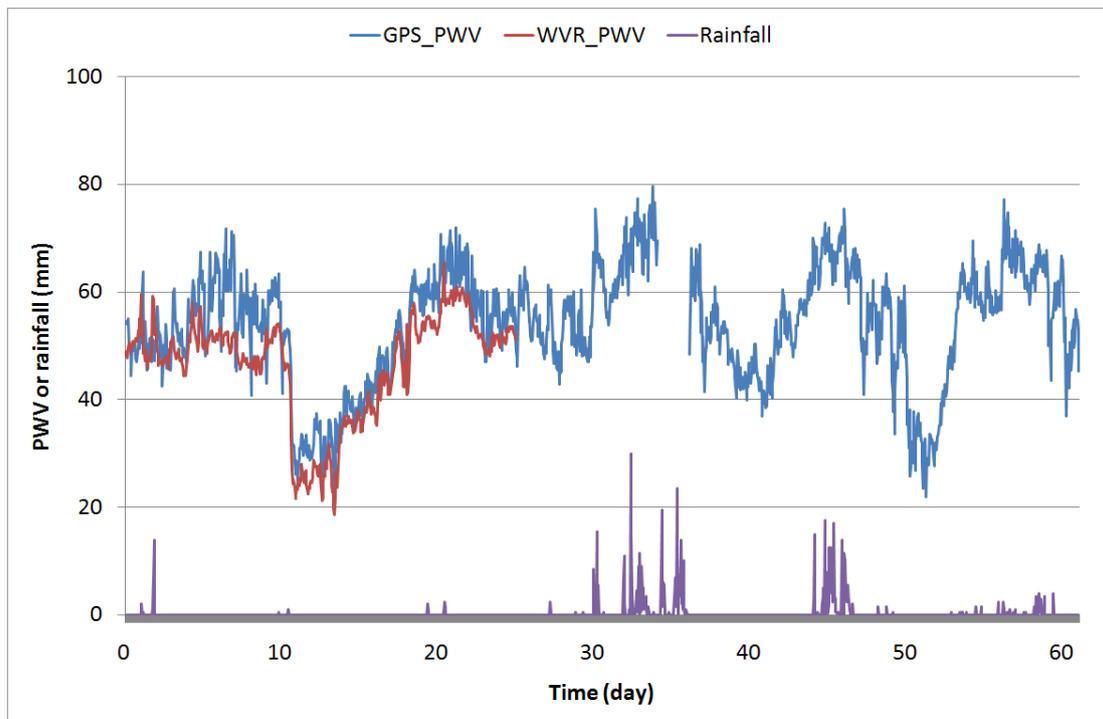


圖 6 後期五、六月份墾丁站 GPS 及 WVR 趨勢圖

由此數據加上地面雨量資料時可顯示出，在訊號延遲量較高的形況下有明顯的降雨跡象，當可降水量維持在 60 mm 部份時其降雨機率明顯增加，例如 PKGM 站的 5 月第 21 天，PWV 值在 73 mm 就有明顯的降雨現象，其他較高延遲量出現的時間點分別在第 29、31、34、37 日。此外，上列的數據資料中，GPS、WVR 與降雨量資料間存在著些微的時間差異，因此我們後續重新整理了 WVR 觀測資料，以取得較為一致的時間系統來進行比較。先看 PKGM 站修正之後的成果，GPS 與 WVR 兩者的相關係數仍為 0.96，平均誤差則由 -0.83 mm 降為 -0.82 mm；而 KDNM 站的相關係數仍為 0.91，平均誤差則由 4.84 mm 升高為 4.87 mm，基本上修正時間系統之後的成果並無明顯的改變。

2. 釐清誤差來源

過去文獻中 WVR 與 GPS 所測定之大氣含水量具有高相關，且 GPS 延遲量對 WVR 數據有低估之現象。由本次數據顯示，PKGM 站也有低估現象，平均誤差在 -0.83 mm，但 KDNM 站的數值確為 4.84 mm；為了釐清 KDNM 站數據之精確性，故這裡選擇不同的主站以不同的基線長度來求解，如圖 7 所示。經過不同的主站分析，KDNM 站 PWV 誤差量都維持在 4~5 mm 之間(除了採用玉山作為主站的誤差較大之外)，由此顯示 KDNM 站的變化量與基線長短無關，如表 1、2 所示。

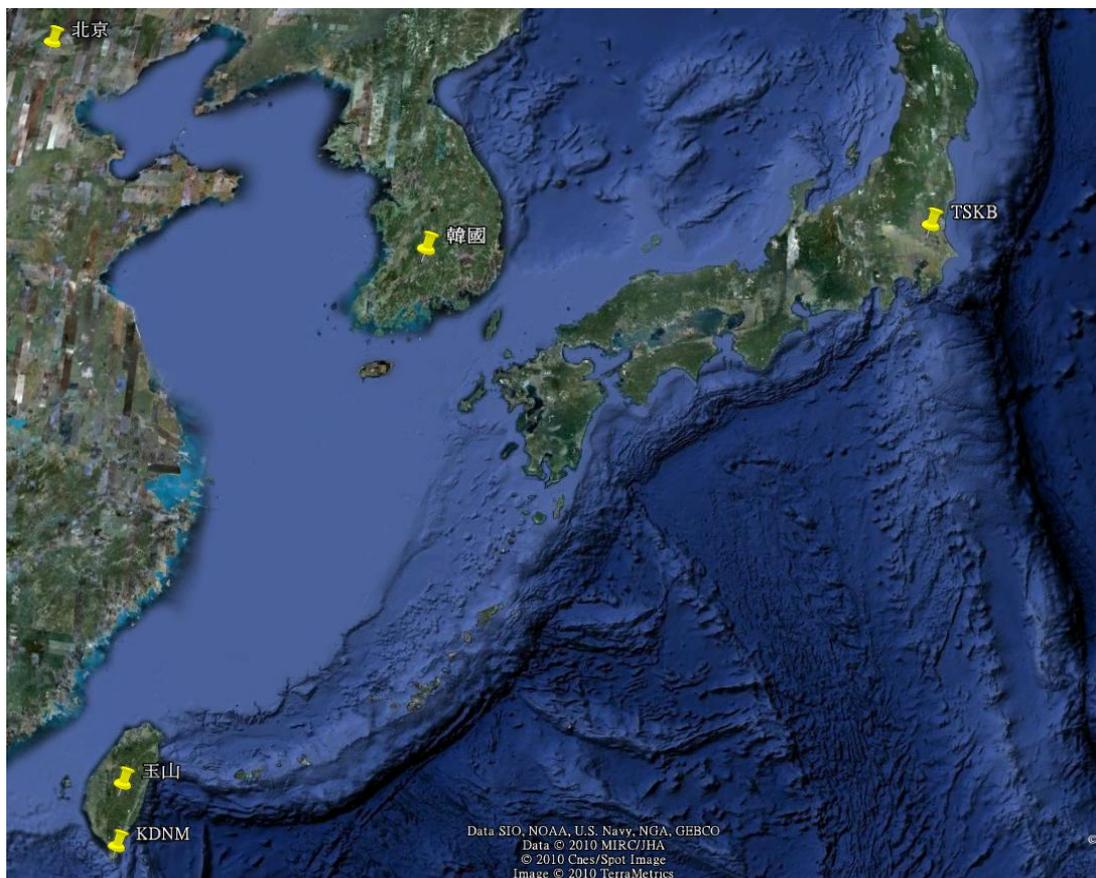


圖 7 不同主站對 KDNM 站之分布圖

由於 KDNM 站儀器原本是放置在北部的陽明山測站上，轉移原因為陽明山區的硫磺氣體容易造成儀器之故障，因此將儀器搬移到 KDNM 站做監測；有可能當初的更換測站並沒有做好適當的調整或校正，使偏移量的誤差值無法獲得較佳之精度。換言之，即 KDNM 站的平均誤差量與計算過程無關且無法消除，但也證明 KDNM 站數據的真實性。本次以不同的主站求解 KDNM 站時發現，PKGM 站的相關係數還是比其他主站來得高。雖然 KDNM 站的變化量與基線長短無關，且偏移量都在 4.49~5.57 mm 範圍之間，除了玉山站由於距離太接近，大氣相關性太高無法藉由差分方式獲得準確的數據之外，其餘都還維持在高相關；當初選擇玉山主站主要是考量該站與平地測站有相當程度的高程差，或許其大氣環境可視為獨立不相關；但結果顯示玉山與 KDNM 站基線過短導致大氣相關性過高，因此在求解時被當成系統誤差而消除，無法獲得絕對的濕延遲量。另外選擇關島作為主站則是基線過長，使求解之相關係數較不理想。由此推估，以相對方式求解對流層濕延遲量，最佳解的基線距離為 1600~2400 km 方能獲得較好之精度。

表 1 採用不同主站所計算出之相關係數

採用主站	基線距離	PKGM	KDNM
日本 TSKB	2400 km	0.96	0.91
關島 GUAM	2700 km	0.84	0.82
玉山 YUSN	120 km	0.56	0.49
北京 BJFS	1900 km	0.91	0.90
韓國 DAEJ	1600 km	0.93	0.91

表 2 採用不同主站所計算出之偏移量 (mm)

採用主站	基線距離	PKGM	KDNM
日本 TSKB	2400 km	-0.83	4.84
關島 GUAM	2700 km	5.01	5.57
玉山 YUSN	120 km	-43.51	-34.96
北京 BJFS	1900 km	-1.97	4.82
韓國 DAEJ	1600 km	-1.70	4.49

3. 與中央氣象局之成果進行比對

為了驗證水氣資料之真實性，接下來將本研究之計算成果，與中央氣象局委託美國大氣研究中心 (National Center for Atmospheric Research, NCAR) 計算之結果進行比對，吾人先取資料比較完整的 22 個測站，分成西部 (8 站)、東部 (8 站) 及中央山脈 (6 站) 三個區域，結果如表 3 所示。首先，代入標準溫度及壓力將我們計算而得的 ZWD 轉換為 PWV，並與 NCAR 計算的 PWV 進行比較，結果發現以相關係數來說，西部地區的相關係數在 0.87~0.94 之間，平均誤

差在 3.36~6.48 mm 之間；東部地區的相關係數在 0.89~0.94 之間，平均誤差在 2.50~4.54 mm 之間；中央山脈的相關係數在 0.81~0.90 之間，平均誤差在 4.81~10.09 mm 之間。簡而言之，我們計算的結果與 NCAR 計算的結果有高相關性，但兩者之間存在系統誤差，在平地約為 4 mm，在山區約為 7 mm，且 NCAR 計算出來的 PWV 比較小。

表 3 各站 PWV 與降雨量之相關係數

雨量站	GPS 站	高程 (m)	標準氣象值 進行轉換之 相關係數	標準氣象值 進行轉換之 誤差(mm)	實際氣象值 進行轉換之 相關係數	實際氣象值 進行轉換之 誤差(mm)
西部地區						
淡水	TANS	30	0.94	3.61	0.94	4.42
土城	TSIO	63	0.94	6.48	0.94	7.75
大肚	SALU	297	0.93	3.68	0.92	4.64
白河	TUNS	54	0.90	4.29	0.90	5.76
虎頭埤	SHWA	89	0.92	3.89	0.91	5.03
屏東	PTUN	40	0.87	4.50	0.85	5.68
岡山	CTOU	25	0.92	3.36	0.92	4.50
春日	JLUT	30	0.89	3.47	0.84	4.79
平均值		79	0.91	4.16	0.90	5.32
東部測站						
福隆	FLON	41	0.94	3.10	0.94	4.03
羅東	LTUN	28	0.92	3.48	0.92	4.36
南澳	NAAO	26	0.91	2.64	0.90	3.79
富世	CHNT	38	0.92	2.50	0.90	3.48
吳全城	NDHU	57	0.91	3.92	0.89	4.72
鹿野	FENP	39	0.90	4.28	0.89	5.16
明里	DCHU	251	0.89	4.54	0.96	5.52
豐濱	LONT	203	0.91	3.63	0.90	4.37
平均值		85	0.91	3.51	0.91	4.43
中央山脈測站						
大坪	WANL	370	0.70	2.21	0.93	5.00
稍來	GUKW	192	0.81	10.09	0.77	9.86
清流	DPIN	740	0.88	6.37	0.85	6.70
溪頭	SANL	1691	0.88	8.07	0.85	8.05
古夏	KASU	189	0.90	7.18	0.88	5.48
三地門	SAND	203	0.89	4.81	0.88	5.52
平均值		603	0.87	7.30	0.85	7.12

此一結果再與第一部分的精度驗證作交叉分析，假設 WVR 觀測的結果為真值，我們計算的結果略微低估 2 mm，而 NCAR 的結果在平地比我們的結果小 4 mm，因此 NCAR 與 WVR 結果存在 6 mm 的誤差。由此可知，NCAR 所評估的可降水量與 WVR 的觀測成果差異較大。探求其原因，目前初步發現 NCAR 在進行差分相對定位時，選擇組成基線的方法為 OBS-MAX，就是讓系統自由判斷按照觀測量較多的優先組成基線，此一作法可能會導致計算的精度下降，如第二部分的陳述；但此一部分還必須進一步分析其系統設定之計算參數方能探討其原因。

接下來再看表 3 最右邊兩欄，吾人改採用實際的溫度及壓力值來計算轉換參數 Π ，發現西部測站的相關係數由 0.91 下降至 0.90，平均誤差則由 4.16 mm 上升至 5.32 mm；中部測站的相關係數維持在 0.91 不變，平均誤差則由 3.51 mm 上升至 4.43 mm；至於中央山脈測站的相關係數由 0.87 下降至 0.85，平均誤差則由 7.30 mm 下降至 7.12 mm，此一結果反而更糟，並無法改善我們與 NCAR 之間的系統誤差。

此外，再以各區的相關係數說明，北部地區的相關係數比南部地區高，有可能是因為南部距離日本主站較遠，基線較長使得相關係數變差；至於中央山脈的相關係數則與基線長短無關，可能是由於山區的水氣變化較為劇烈，因此所計算出來的成果較差。

4. GPS、WVR 所推求出 PWV 與雨量之關連性

在這個部分，我們進一步整理各個測站未發生降雨與發生降雨之 PWV 平均值，並與各測站所在的高度進行分析，其成果彙整如表 4 所示。就大氣中的水氣量來說，大部份 PWV 在 60 mm 左右就會有下雨跡象產生，如圖 6、7 所示；除了圖 8 位於中央山脈的 SANL 測站將在下一段加以說明之外，其他地區顯示之降雨量與 WVR 之關聯性相呼應。

位於中央山脈的 SANL 站地處南投縣竹山鎮杉林溪，海拔高度有 1691 公尺，由圖 8 中可看出水氣量平均值在 40 mm 就有下雨跡象，且在高山地區所接收的衛星訊號都有這些現象；其可能原因在於訊號所穿越的大氣層較平地來的短，所以造成的折射延遲量也會比較小。在簡士詠 (2008) 的研究中提到折射延遲量與降雨量沒有絕對關係，但在物理意義上是有其相對之關係，因水氣在天空中屬於介質的一部分，當然需搭配其他外在條件作輔助分析，例如溫度、地形等等。就溫度來說，在 Saastamoinen 的模式是設定在每上升 1 km 其溫度下降 6.5 °C，就實際物理現象也是如此；水氣需透過降溫形成水滴，但是否每上升 1 km 其溫度會下降 6.5 °C 需加以釐清。另外海拔高低也是影響因素之一，海拔越低之地區其大氣壓力越大；因此，空氣密度越大會使折射延遲量變大，若以 Saastamoinen 的模式來說，即便在相同氣壓下，不同之溫度對水氣也會有所影響。整體來說，西部地區 PWV 平均在 65.01 mm 皆有降雨跡象，東部也是在 60.66 mm 的範圍之內就會發生降雨，而中央山脈的延遲量就比較低一點，平均

值在 56.14 mm 就有降雨跡象。

表 4 各站 PWV 與降雨量之相關係數

編號	雨量站	GPS 站	高程(m)	未降雨 PWV 之平均值(mm)	降雨時 PWV 之平均值(mm)
西部地區					
W1	淡水	TANS	30	50.90	62.90
W2	土城	TSIO	63	53.84	67.21
W3	大肚	SALU	297	48.78	60.23
W4	北港	PKGM	42	53.35	65.84
W5	白河	TUNS	54	53.20	65.42
W6	虎頭埤	SHWA	89	52.83	64.29
W7	屏東	PTUN	40	54.89	66.87
W8	岡山	CTOU	25	52.88	66.00
W9	春日	JLUT	30	54.37	66.46
W10	墾丁	KDNM	58	52.71	64.90
平均值			73	52.78	65.01
東部測站					
E1	福隆	FLON	41	50.11	61.83
E2	羅東	LTUN	28	55.61	58.44
E3	南澳	NAAO	26	52.77	61.47
E4	富世	CHNT	38	52.59	61.36
E5	吳全城	NDHU	57	53.74	60.90
E6	鹿野	FENP	39	53.08	60.19
E7	明里	DCHU	251	50.24	60.81
E8	豐濱	LONT	203	49.70	60.26
平均值			85	52.23	60.66
中央山脈					
C1	大坪	WANL	370	46.52	50.72
C2	稍來	GUKW	192	52.75	63.92
C3	清流	DPIN	740	44.64	53.92
C4	溪頭	SANL	1691	34.20	41.08
C5	古夏	KASU	189	53.54	63.36
C6	三地門	SAND	203	51.85	63.82
平均值			564	47.25	56.14

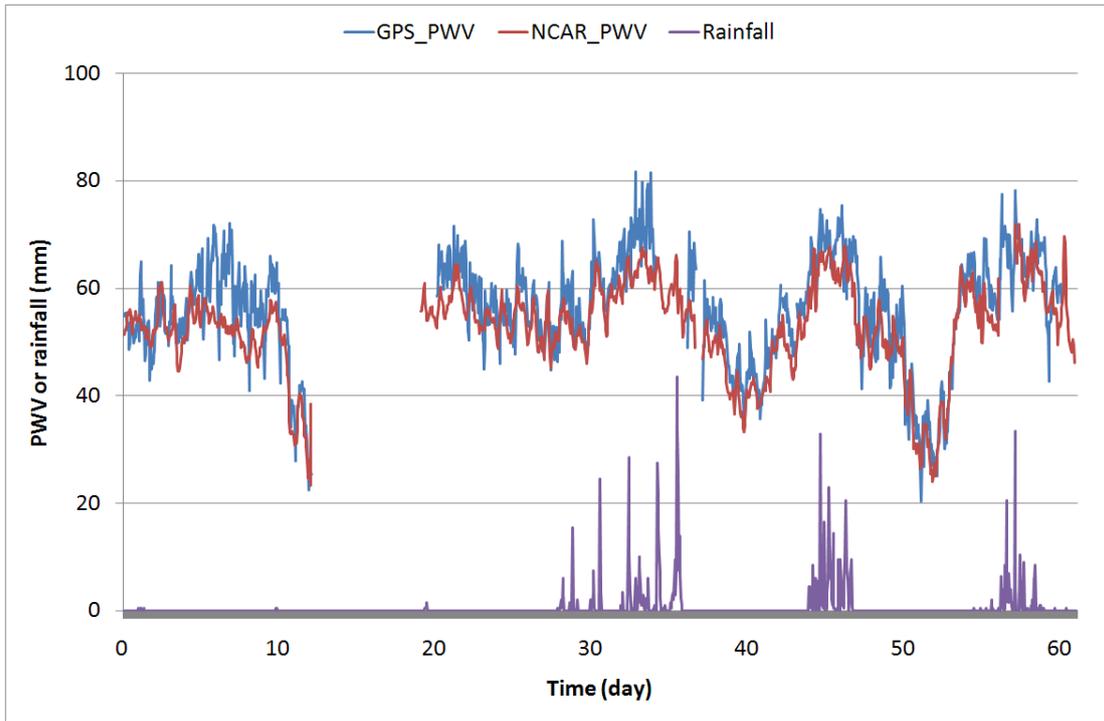


圖 8 西部測站 JLUT 站 PWV 趨勢圖

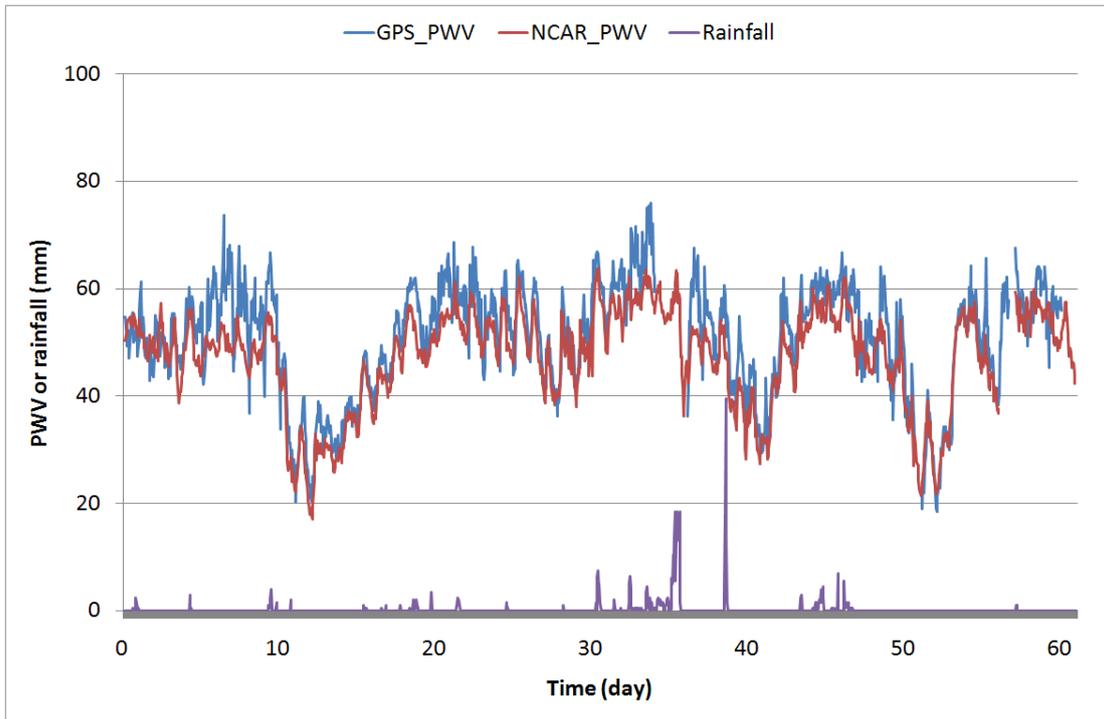


圖 9 東部測站 LONT 站 PWV 趨勢圖

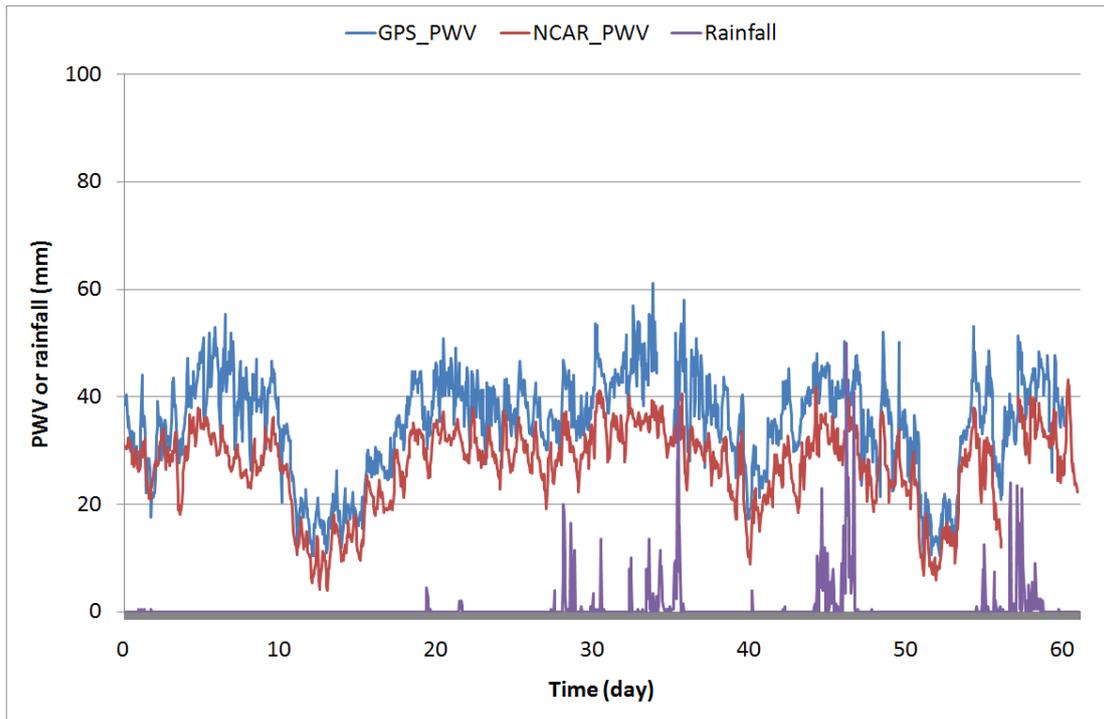


圖 10 中央山脈 SANL 站 PWV 趨勢圖

接下來，再按照測站的高程與發生降雨時的 PWV 進行線性回歸分析，如圖 11 所示。大致上測站高程越低之地區其延遲量需較高才會發生降雨，在海拔較低之地區延遲量在 60 mm 左右、中海拔則在 50 mm 左右才有降雨的跡象，所以海拔高度 1691 m 的 SANL 站，其水氣量平均值只要 41.08 mm 就有降雨現象，且各測站之水氣量與測站高程呈現反比關係。

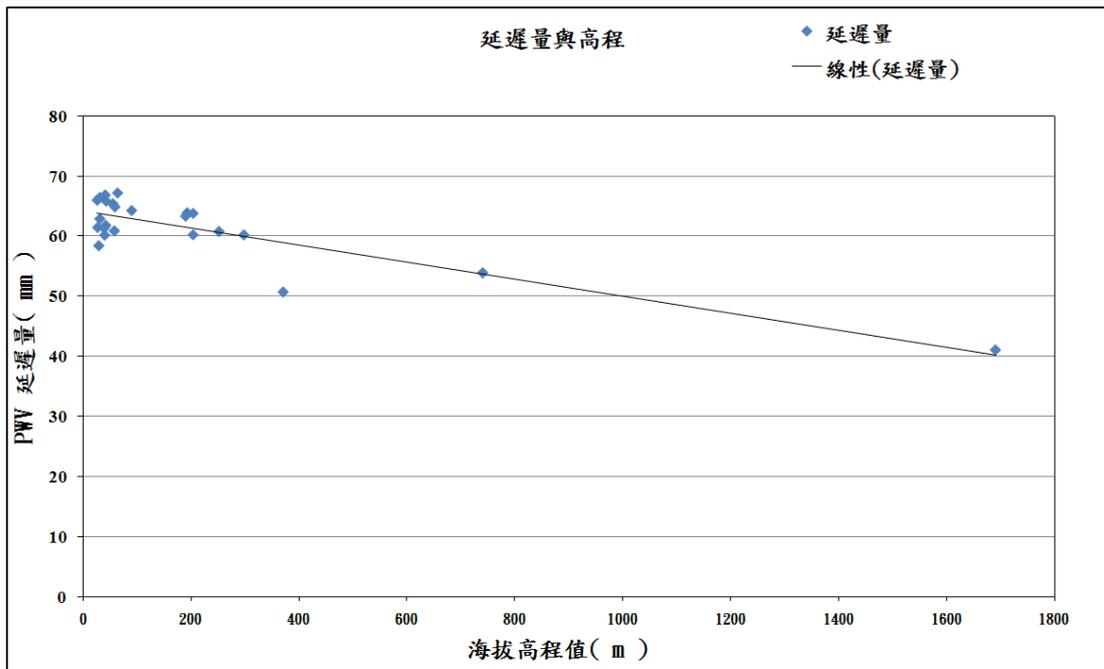


圖 11 各測站水氣量與高程關係圖

最後將 PKGM 站第 21、29、31、34 日等比較高延遲的部分逕行整理，釐清在高延遲發生時，所對應累積雨量是否提前反映的現象。由圖 12 中，可以發現 PKGM 站使用 WVR 所量測到的水氣量與 GPS 反演計算出的水氣量趨勢一致，由水氣量與降雨量做比較時發現，當發生降雨時延遲量都有上升現象，由 64 mm 上升到 78 mm。由圖 13 中，在 22 點的時候發生了降雨，但水氣量提前一小時即反應，大幅上升至 74 mm，從 WVR 與 GPS 所計算出的趨勢來看，水氣量都有明顯的上升之後才降雨。

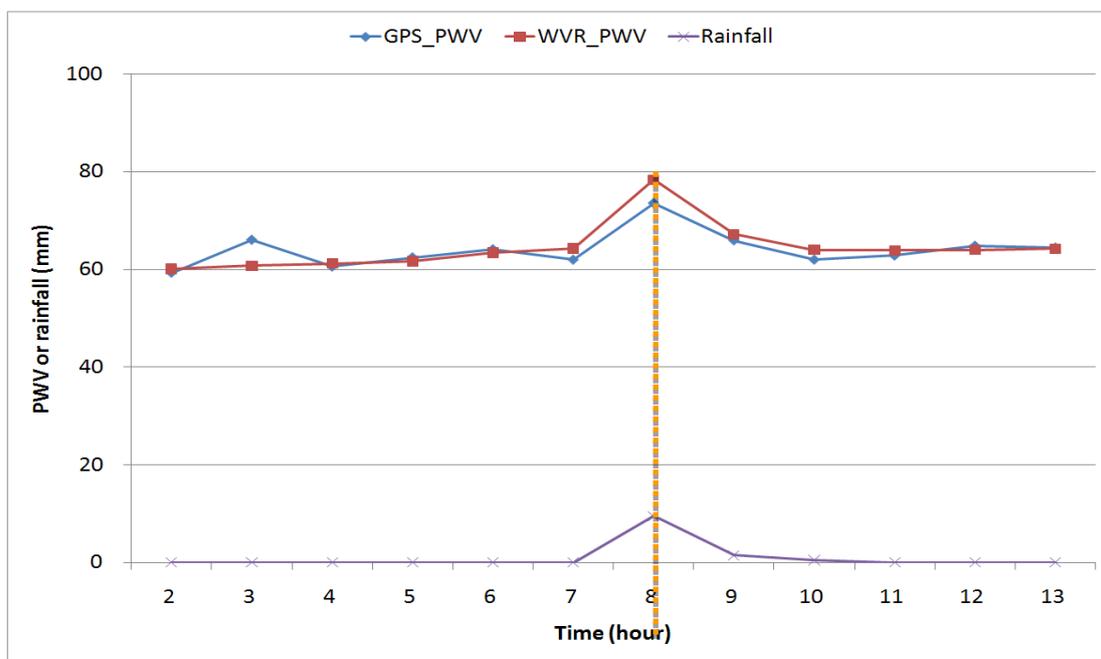


圖 12 PKGM 站第 21 天延遲分量圖

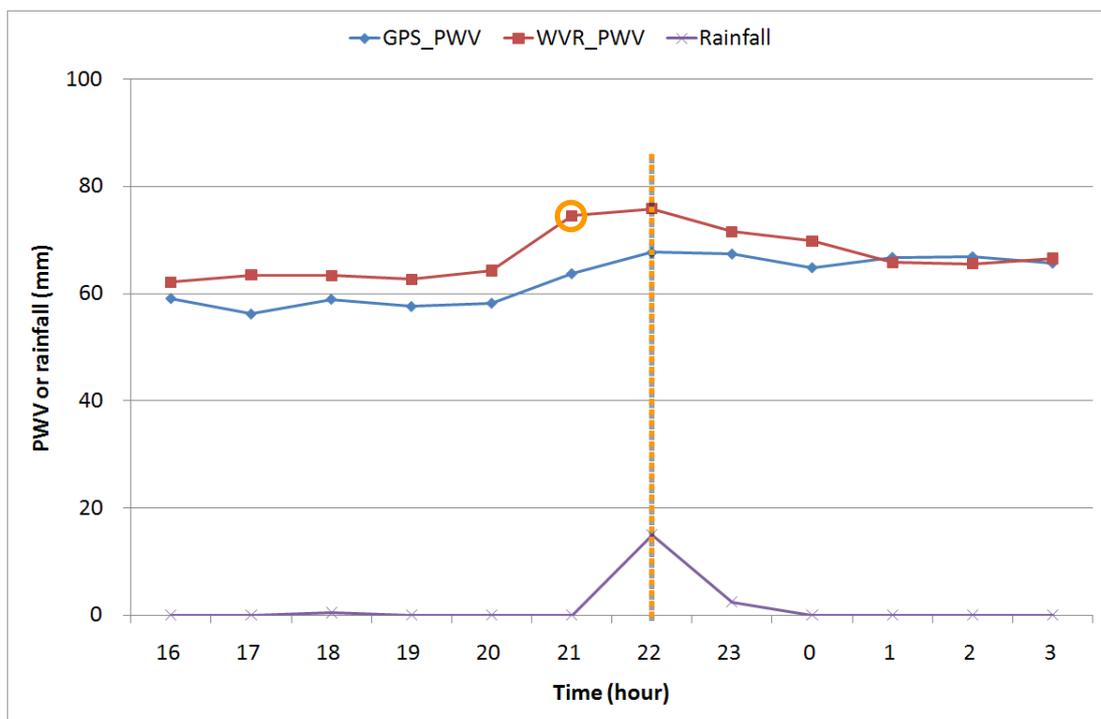


圖 13 PKGM 站第 29 天延遲分量圖

由圖 14 中也是發現大氣中的水氣含量上升後的 1~2 小時即會發生降雨，以 WVR 為例，在降雨前一小時水氣量即上升至 76 mm，接下來再上升到 82 mm 同時發生降雨的現象；而降雨停止之後，水氣量也跟着下降，換言之可以藉由大氣中水氣含量的觀測來推估降雨現象。

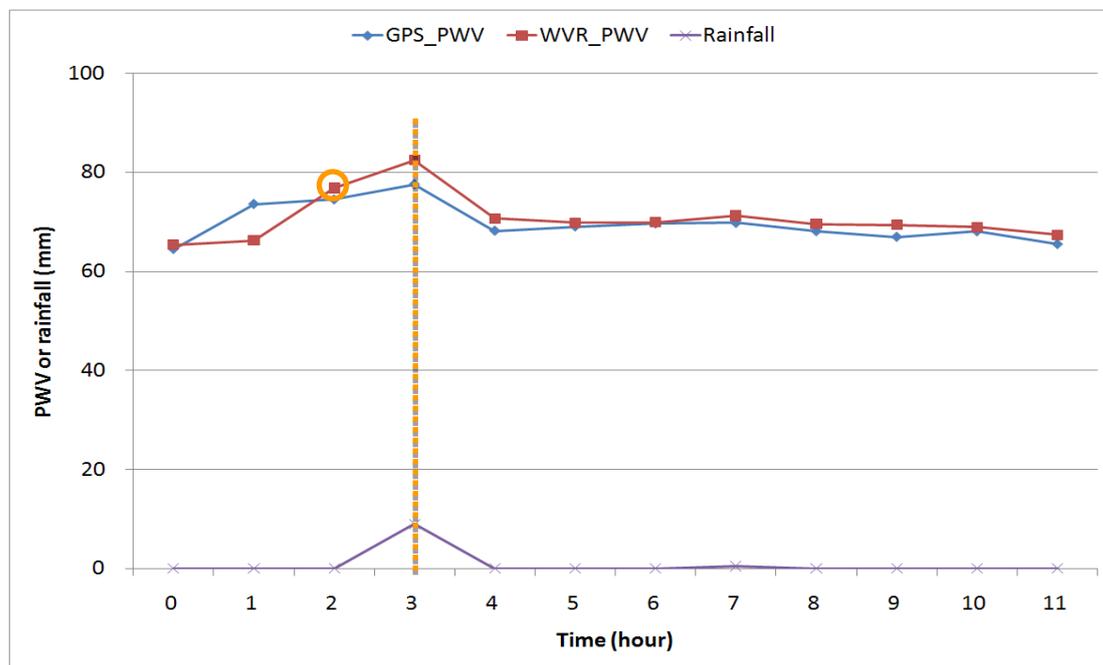


圖 14 PKGM 站第 31 天延遲分量圖

由圖 15 中得知降雨發生前一小時，水氣量由 75 mm 上升到 89 mm，另一個案例是降雨發生前一小時，水氣量從 75 mm 上升到 91 mm，可知降雨現象都是在水氣量較高時容易發生。

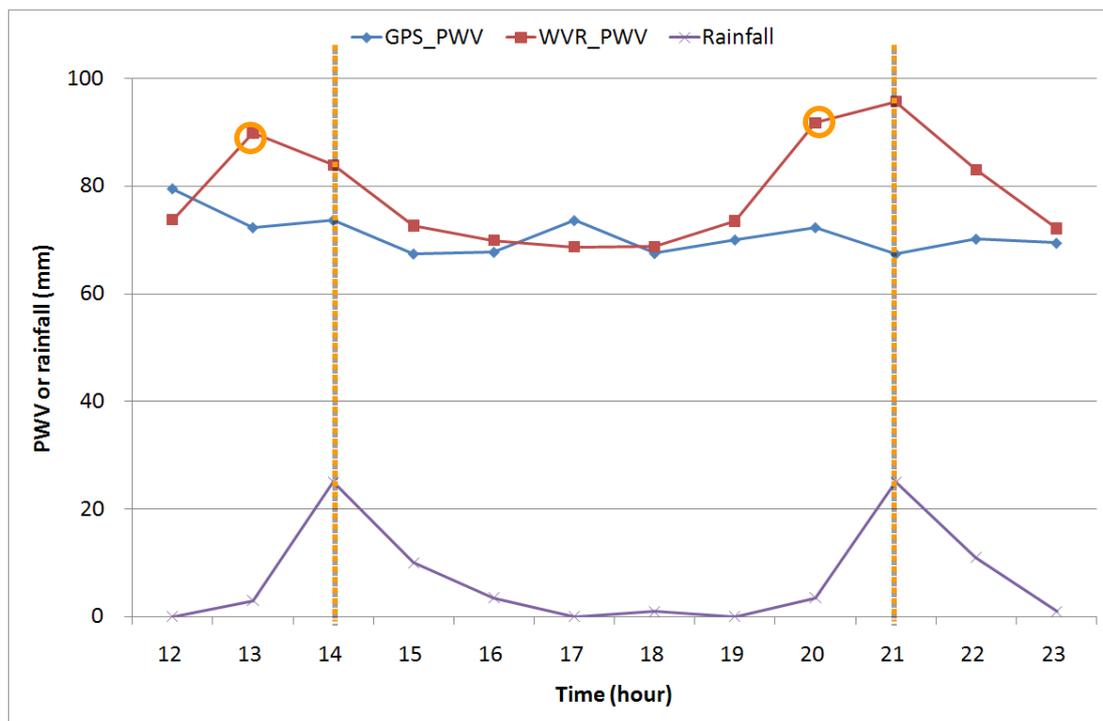


圖 15 PKGM 站第 34 天延遲分量圖

五、結論與建議

由 PKGM 站及 KDNM 站的 WVR 觀測資料，發現其水氣觀測值與 GPS 反演計算值呈現一致的趨勢，且相關係數都在 0.9 以上；此數據再加上地面雨量資料時可顯示，在訊號延遲量較高（水氣量較高）的情況下比較容易有降雨的跡象，一般平地測站當可降水量維持在 60 mm 時其降雨機率明顯增加。此外，KDNM 站的反演成果經由不同主站進行精度求證得知，KDNM 站的變化量與基線長短無關，其原因在儀器本身在更換測站時可能未做好適當的調整或校正，導致誤差偏移量過大，但對數據的真實性並沒有影響，也預估出求解基線長短在 1600~2400 公里的範圍內為最佳解算。

此外，假設以 WVR 的觀測值作為標準，可發現本研究 GPS 計算的水氣量平均低估值在 2 mm，而 NCAR 的計算結果則與我們的成果有 4 mm 的差異；由此可知，NCAR 所評估的可降水量與 WVR 的觀測成果差異更大，平均來說約有 6 mm 的低估。此外，測站高程越低之地區其延遲量需較高才會發生降雨，在海拔較低之地區延遲量在 60 mm 左右、中海拔則在 50 mm 左右才有降雨的跡象，所以海拔高度 1691 m 的 SANL 站，其水氣量平均值只要 41.08 mm 就有降雨現象，且各測站之水氣量與測站高程呈現反比關係。

六、成果的價值與貢獻

應用地面 GPS 資料來進行大氣中可降水的研究，即是利用遙測方式來反演氣候資訊的一種方式。就目前的技術看來，其計算精度已相當接近利用水氣微波輻射儀的直接量測精度，但其範圍遠不及空中福衛三號的量測資料；但是就長期上來看，卻是一種較為經濟（地面 GPS 接收站為現有，大多用於土地測量、板塊運動及斷層監測）、近即時（觀測資料皆可每秒傳送至控制中心）且全面性（台灣本島及離島皆已覆蓋超過 400 站的 GPS 連續接收站）的觀測方式。本研究藉由絕對延遲量的計算、反演大氣中可降水量、以水氣微波輻射儀進行異質觀測約制中，可以提供相關研究人員一個相當好的學習研究經驗，藉此研究提昇國內 GPS 氣象學及大地測量人員的素質。此外，如何導入水氣微波輻射儀資料，分析地表氣象資料與數學氣象經驗模式對可降水反演精度之影響，這些資訊對於往後相關的 GPS 研究來說，也是相當寶貴且有助益的。在網際網路及無線傳輸如此發達的時空背景下，我們已經可以輕易的獲得全台灣地區的即時性 GPS 連續觀測資料，本研究因此得以近即時分析台灣地區的對流層延遲量。相關成果除了可以應用在工程界上，未來在天氣預報、環境監測及資源災害的監控上，或許亦可提供適當的資訊，供決策者規劃設計之用。

七、落實應用情形

分析地基 GPS 資料處理之流程

地基 GPS-ZWD 自動化計算程序流程（如圖 16 所示）主要由 shell script 和 perl 兩種程式語言來做整個系統程式流程控制，處理程序主要分為兩個，一個是近即時（Near-Real Time, NRT），另一個則是全日（Daily Processing, DP）程序。NRT 每兩小時執行一次，於每日的 1:15、3:15、5:15 間隔兩小時跑一次，每次計算前 1 小時至前 3 小時的資料。例如：1:15 跑前一天 22:00~24:00，3:15 跑當天 0:00~2:00，依此類推；目前現況由於即時資料來不及進入資料庫，故大多只跑 1 小時的資料。DP 每日的 7 點 30 分執行，執行的每一流程結果皆有回報，使用者可以很方便的透過回報結果來檢查出錯的流程。

而地基 GPS-ZWD 自動化計算程序流程主要有五個自動化流程：

1. 取得衛星相關資料和 GPS 地基陣列資料
2. DP 程序
3. 2 小時 NRT 程序
4. NRT 狀態回報
5. 資料壓縮（Data Archiving, TBD）

今年五月開始，NCAR 開始新增了每小時執行一次的流程，於 0:40、1:40、2:40 每一小時跑一次，跑前 1 小時的資料。例如：0:40 跑前一天 23:00~24:00，1:40 跑當天 0:00~1:00。

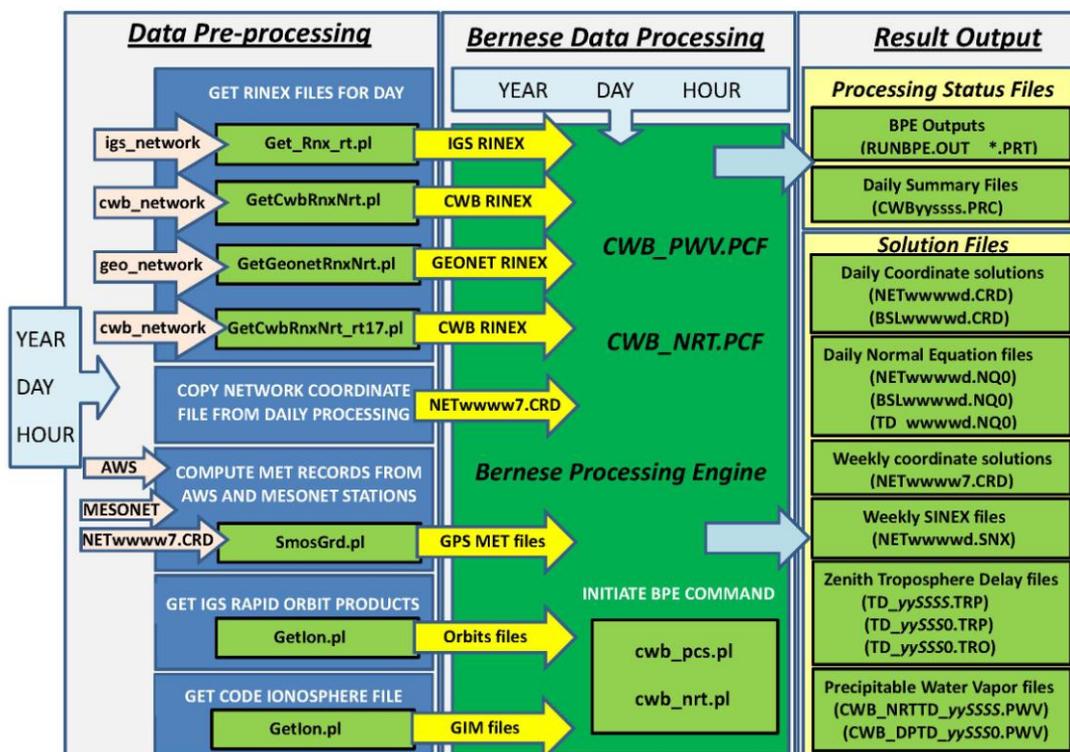


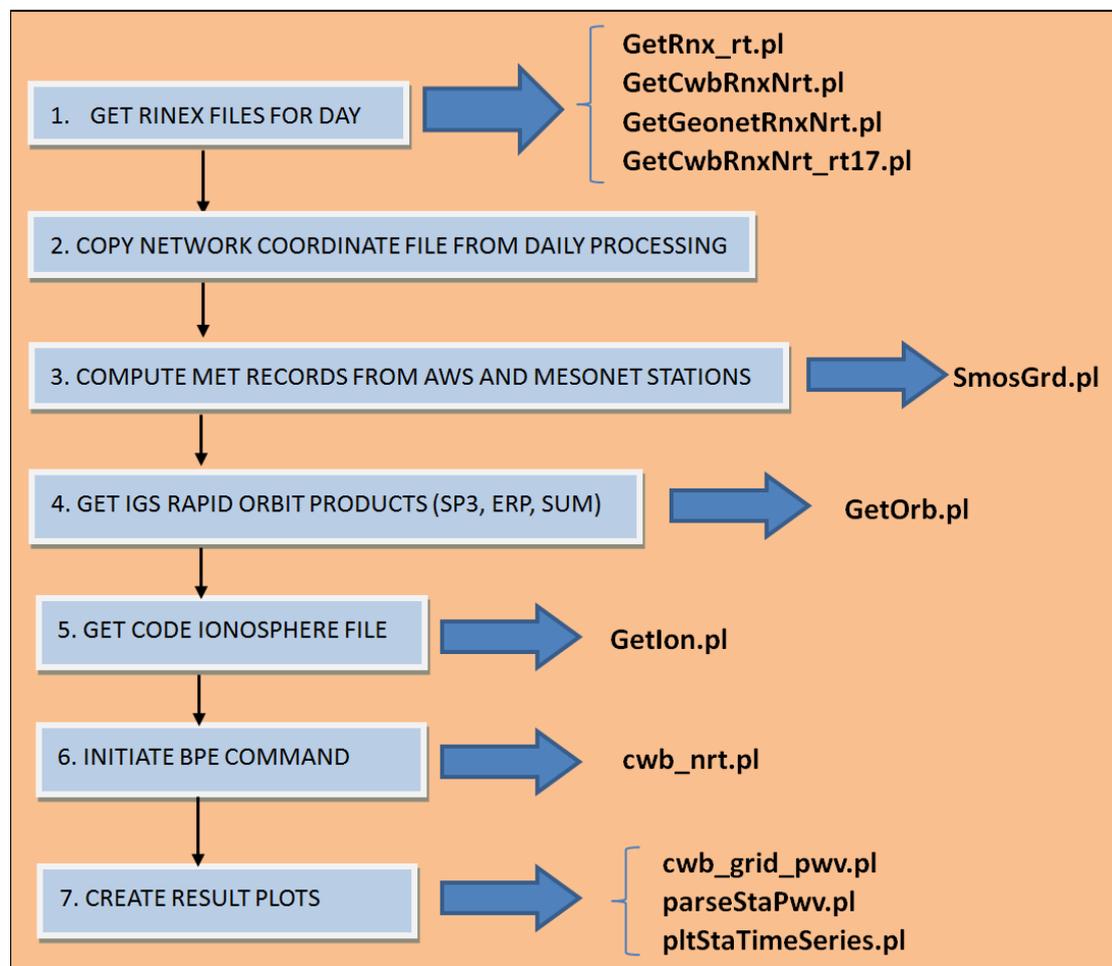
圖 16 地基 GPS-ZWD 自動化計算程序流程

cwb_nrt_cron NRT(Near-Real-Time processing) 程序

NRT 程序由 cwb_nrt(shell script 檔)來做主要流程控制，它包含了以下七個流程：

1. 下載當日目前所有的 Rinex 檔(GET RINEX FILES FOR DAY)。
2. 複製前一天 DP(Daily Processing)CRD 檔(COPY NETWORK COORDINATE FILE FROM DAILY PROCESSING)
3. 計算出內插過後的 MET 檔(COMPUTE MET RECORDS FROM AWS AND MESONET STATIONS)
4. 下載衛星軌道檔案(GET IGS RAPID ORBIT PRODUCTS (SP3, ERP, SUM))
5. 下載 GIM 電離層模式參數檔(GET CODE IONOSPHERE FILE)
6. 啟始 BERNESE 主程式(INITIATE BPE COMMAND)
7. 繪圖並輸出至網頁(CREATE RESULT PLOTS)

如下圖所示部分流程會呼叫的 PERL 檔。



NRT(Near Real Time processing)的子程序說明如下：

cwb_nrt_cron： 呼叫 `~/bin/cwb_nrt `date -u --date "3 hour ago" '+%Y %m %d %H``
`~/bin/cwb_nrt` 輸入前一天的年 月 日 小時, 例如： 2012 02 01 12

GetRnx_rt.pl： 根據/STA/igs_network 裡的站下載 RINEX 站資料。

GetGeonetRnxNrt.pl: 同 GetRnx.pl 但下載 ftp://terras.gsi.go.jp/data/GPS_products/。

GetCwbRnxNrt.pl 轉換2小時 CWB T00 格式成 RINEX 格式。

GetCwbRnxNrt_rt17.pl： 轉換1小時 r-17格式成 RINEX 格式。

UPPERC2： 轉換檔案名稱為大寫的格式。

SmosGrd： 內插 AWS 和 Mesonet 資料。

GetOrb.pl： 到 IGS 網站下載 IGR 軌道檔案。

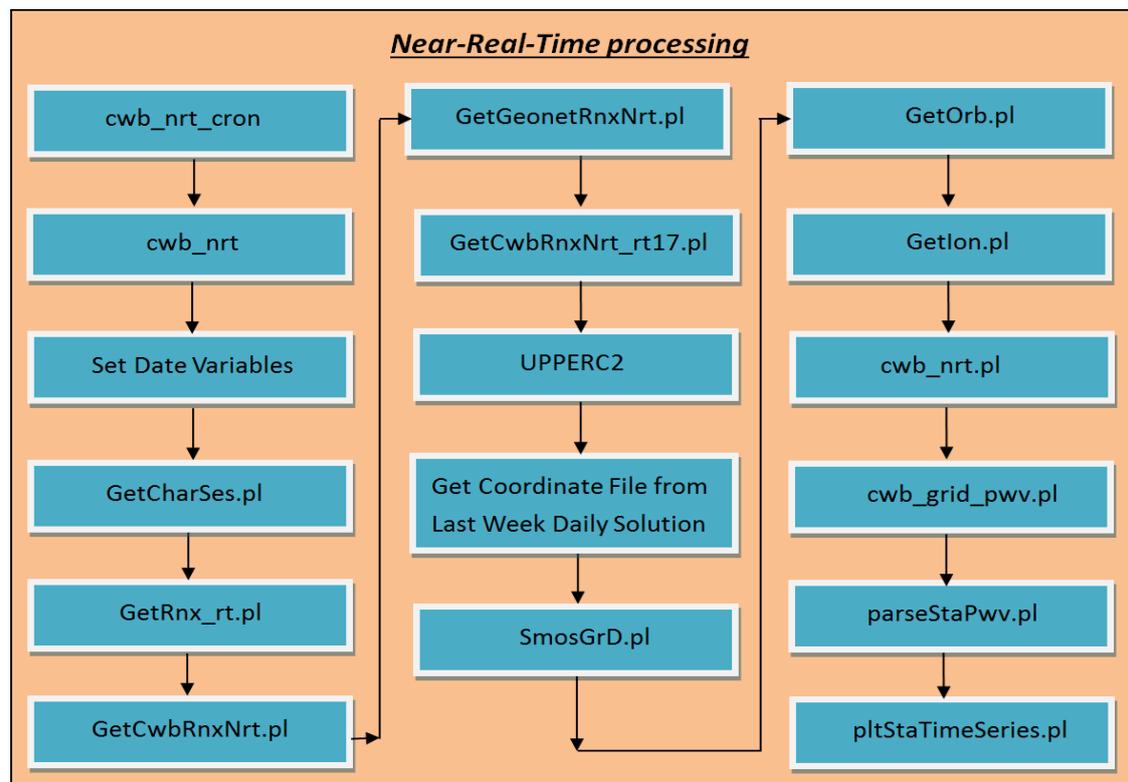
GetIon.pl： 到 CODE 網站下載 GIM 電離層模式檔案

cwb_nrt.pl： 執行 Bernese BPE 程序

cwb_grid_pwv.pl： 內插 PWV 網格

parseStaPwv.pl： 轉換 PWV 檔案格式

pltStaTimeSeries.pl： 繪圖並輸出至網站



cwb_nrt_cron

cwb_nrt_cron： 呼叫 `~/bin/cwb_nrt`date -u --date "3 hour ago" '+%Y %m %d %H``
`~/bin/cwb_nrt` 輸入前一天的年 月 日 小時, 例如： 2012 02 01 12

cwb_nrt

`~/John/cwb_nrt` 是一個 Shell script 檔，所有 NRT(Near Real Time processing)透過它來呼叫所有子程序，以下為 cwb_nr 程式碼(藍色底為程式碼)說明：

設定 Bernese Campaign 路徑和指定 PCF(procedure control file)檔。

```
CAMP_PATH=$P #設定 Bernese Campaign 路徑$P 是指/pub/john/GPSDATD
CAMPAIGN=CWB_NRT #指定 Campaign 名稱
PCF=CWB_NRT #指定 PCF(procedure control file)檔名稱

CAMP_PATH_POST_PROC=$P
CAMPAIGN_POST_PROC=CWB_DP #找 Weekly coordinate solutions (CRD)檔的路
```

設定輸入的日期轉為 GPS 常用的日期格式，方便 Bernese 呼叫使用。

```
yr=$1 #獲得輸入的四個參數 年 月 日 小時
mo=$2
day=$3
hour=$4

y2=`echo $yr | cut -c3-4` #轉換為 GPS 的日期格式
gweek=`ymd2gps $yr $mo $day| awk '{print $1}'`
gweekm1=`ymd2gps $yr $mo $day| awk '{print $1-1}'`
gday=`ymd2gps $yr $mo $day| awk '{print $2}'`
dom=`echo $day | awk '{printf("%02i",$1)}'`
day=`ymd2doy $yr $mo $day|awk '{printf("%03i",$2)}'`
mjd=`doy2mjd ${yr} ${day} | awk '{printf("%05d",$1)}'`
S=`GetCharSes.pl $hour` #呼叫 GetCahrSes.pl 把小時的整數轉為英文字母，方便程式使用
```

```

#下載所有必需的 RINEX 檔。
echo " "
echo "RETRIEVING RINEX FILES"
echo " "

#切換到/pub/john/GPSDATDATA/ CWB_NRT/RAW 目錄下
cd ${CAMP_PATH}/${CAMPAIGN}/RAW

# Get data from IGS network

gunzip *${day}*.gz
GetRnx_rt.pl ../STA/igs_network ${yr} ${day} ${hour} 2> /dev/null
GetCwbRnxNrt.pl ../STA/cwb_network ${yr} ${day} ${hour} 2> /dev/null
GetGeonetRnxNrt.pl ../STA/geonet_network ${yr} ${day} ${hour} 2> /dev/null
GetCwbRnxNrt_rt17.pl ../STA/cwb_network ${yr} ${day} ${hour} 2> /dev/null
$X/EXE/UPPERC2 ${day}?.${y2}?

```

在這裡一共呼叫 GetRnx_rt.pl、GetCwbRnxNrt.pl、GetGeonetRnxNrt.pl 和 GetCwbRnxNrt_rt17.pl 四個 Perl 的程式檔，以下為這四個程式的說明：

GetRnx_rt.pl

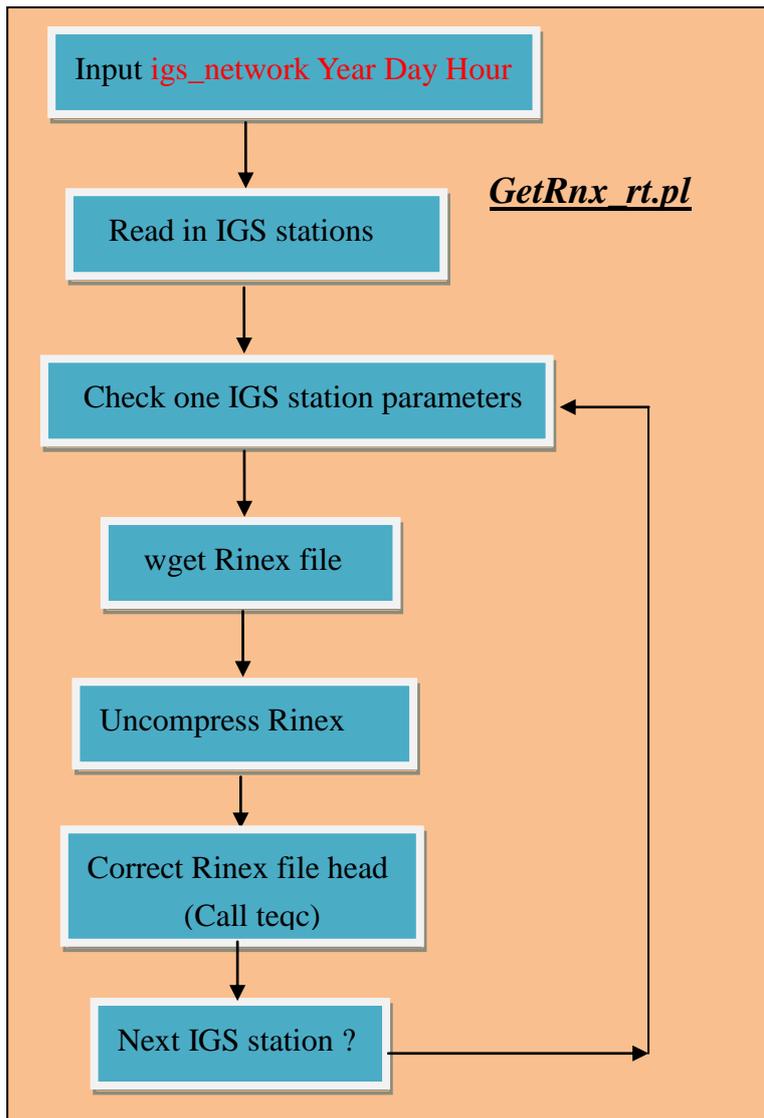
程式執行流程概述：

移至 /pub/john/GPSDATA / CWB_NRT /RAW 目錄

1. 下載鄰近台灣的 IGS 追蹤站(紀錄於對應的/SAT/igs_network 檔案中)的 RINEX 資料，並根據 igs_network 列表的 IGS 追蹤站的 ftp 站下載 RINEX 資料。
2. 因為每一 IGS 追蹤站的儀器、天線盤、天線高度和檔案的格式都不進相同，因此需要先呼叫 UNAVCO 聯盟提供的 teqc 程式做 RINEX 檔頭的轉換符合 Bernese 的輸入格式，才能讓 Bernese 主程式順利的運作。

Input： igs_network 年 日 時

Output： 修正過後的 RINEX data(副檔名為 .xxo ，xx 為年)



GetGeonetRnxNrt.pl

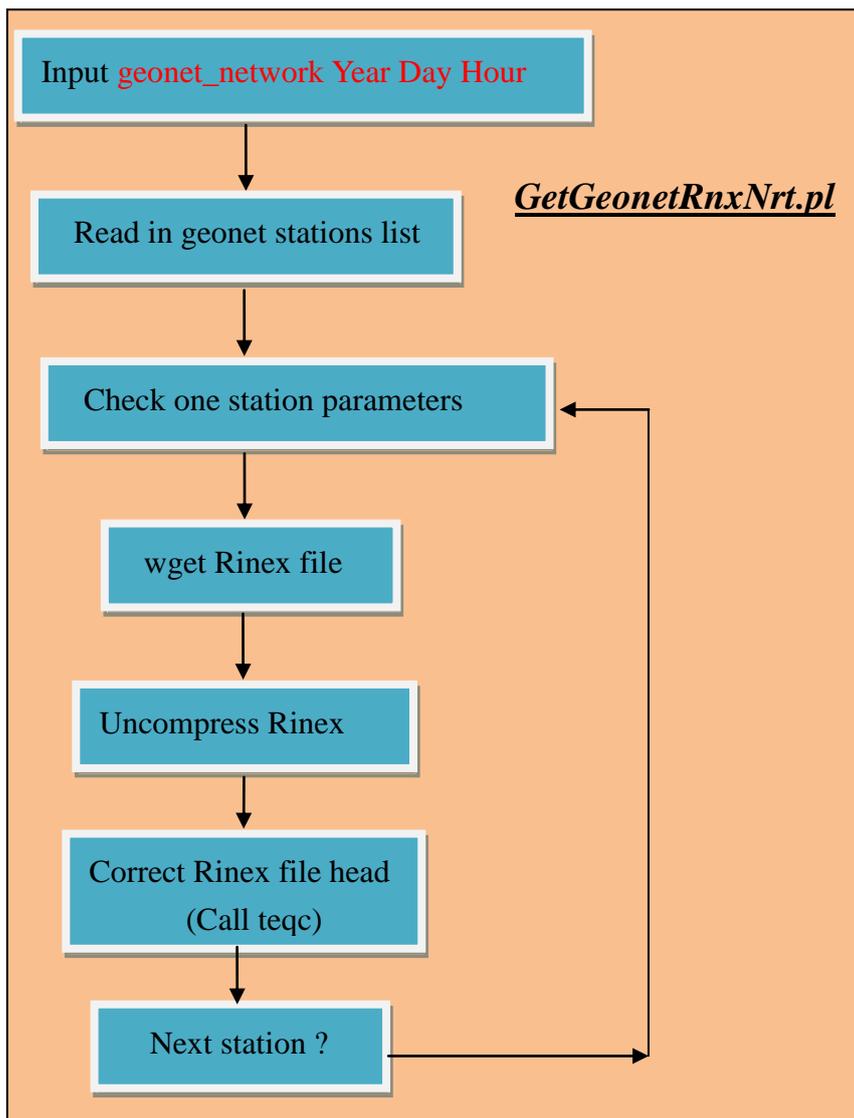
程式執行流程概述：

移至 /pub/john/GPSDATA / CWB_NRT /RAW 目錄

執行的流程大致同 getRnx_rt.pl，只是下載的 GPS 資料網為日本的 GEONET GPS 網路，並根據 SAT/geonet_network 檔案裡的所列的站下載所需的 GPS 檔案。

Input： geonet_network 年 日 時

Output： 修正過後的 RINEX data(副檔名為 .xxo ，xx 為年)



GetCwbRnxNrt_rt17.pl

程式執行流程概述：

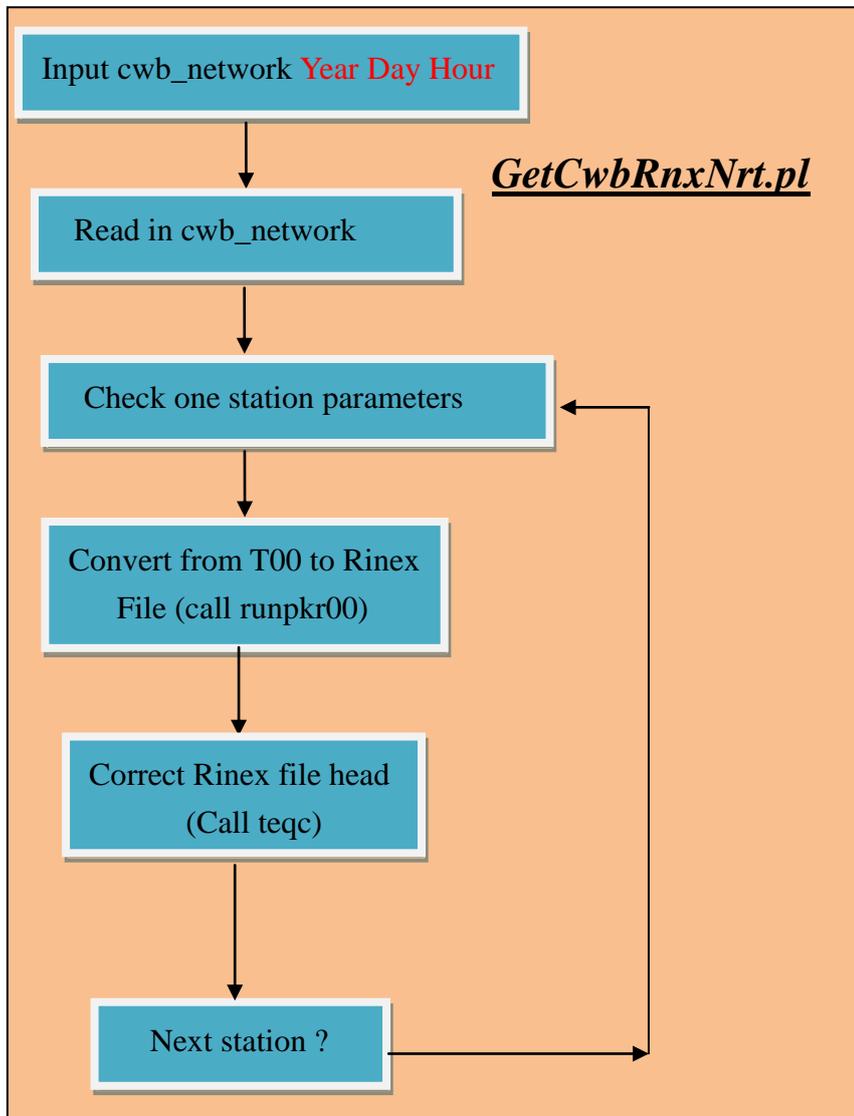
移至 /pub/john/GPSDATA / CWB_DP /RAW 目錄

執行的流程大致同 getRnx_rt.pl，但省去的下載 Rinex 檔的程式碼，因為氣象局內部的 GPS t00 資料是自動上傳至氣象局內部的磁碟陣列，所以不需要下載。

1. 氣象局的 GPS 資料位於/ops/cwb/t00，因為 t00 資料並不是 Rinex 檔的格式，所以需要呼叫 trimble 提供的 runpkr00 程式把 t00 檔轉至 Rinex 檔格式。

Input : cwb_network 年 日 時

Output : 修正過後的 RINEX data(副檔名為 .xxo , xx 為年)



GetCwbRnxNrt_rt17.pl

程式執行流程概述：

移至 /pub/john/GPSDATA / CWB_DP /RAW 目錄

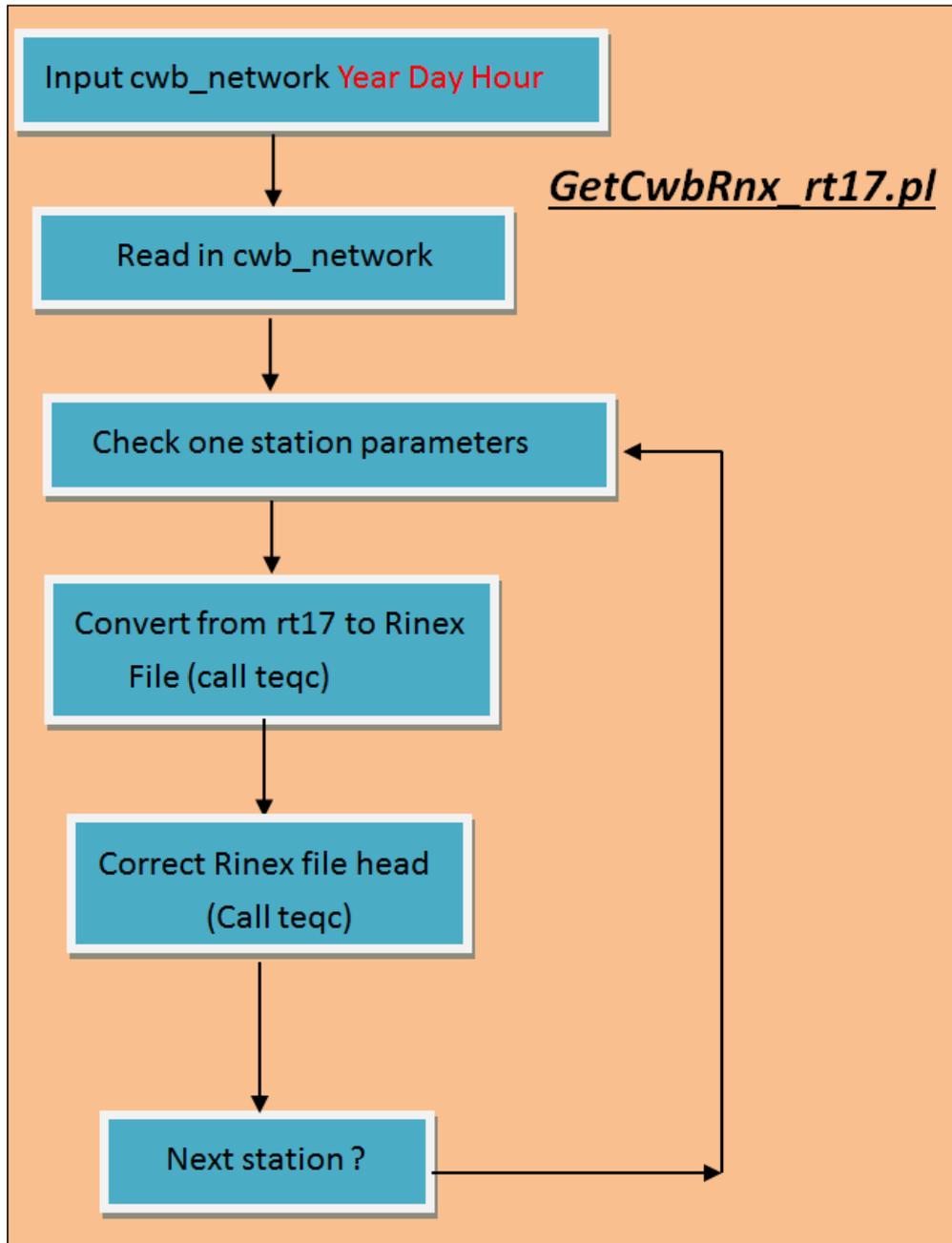
執行的流程大致同 getRnx_rt.pl，但省去的下載 Rinex 檔的程式碼，因為氣象局內部的 GPS rt17 資料是自動上傳至氣象局內部的磁碟陣列，所以不需要下載。

2. 氣象局的 GPS 資料位於/ops/cwb/t00，因為 rt17 資料並不是 Rinex 檔的格式，

所以需要呼叫 UNAVCO 聯盟提供的 teqc 程式把 rt17 檔轉至 Rinex 檔格式並修正 Rinex 檔頭資訊。

Input : cwb_network 年 日 時

Output : 修正過後的 RINEX data(副檔名為 .xxo , xx 為年)



在 DP(Diary Processing)的程序會依據 GPS week 的第一天輸出一 CRD 檔，紀錄每一 GPS 接收站的位置(A-priori Coordinate Information)當成參考值，沒有這個檔案，後續的 Bernese 主程式會顯示錯誤，結果將會跑不出來。

```

#####
# GET COORDINATE FILE FROM LAST WEEK DAILY SOLUTION
#####

echo " "
echo "RESOLVING APRIORI COORDINATE FILE "
echo " "
#切換到/pub/john/GPSDATDATA/ CWB_NRT/STA 目錄下
cd ${CAMP_PATH}/${CAMPAIGN}/STA
if [ -f NET${gweekm1}7.CRD ] #找到了 CRD 檔
then

    echo "COORDINATE FILE ALREADY EXISTS "
    HAVE_CRD=0
#如果在 STA 目錄下沒找到，就去 CWB_DP 目錄下尋找
elif [ -f
${CAMP_PATH_POST_PROC}/${CAMPAIGN_POST_PROC}/STA/NET${gweek
m1}7.CRD ]
then

    echo "COORDINATE FILE ALREADY EXISTS " #找到了 CRD 檔
    cp
${CAMP_PATH_POST_PROC}/${CAMPAIGN_POST_PROC}/STA/NET${gweek
m1}7.CRD .
    HAVE_CRD=0

else

    echo "WE HAVE TROUBLE "
    echo "NO NETWORK COORDINATE FILE FOUND "
    HAVE_CRD=-1 #未找到 CRD 檔，並輸出錯誤訊息

```

fi

以下 cwb_nr 部分程式碼主要工作是利用氣象局的資料內插出每一 GPS 接收站上方的大氣資料。

```
#####  
# Interpolate surface observations to GPS Station Locations  
#####  
  
echo " "  
echo "INTERPOLATING AWS AND MESONET RECORDS"  
echo " "  
  
#切換到/pub/john/GPSDATDATA/ CWB_NRT/ATM/SmosGrd 目錄  
cd ${CAMP_PATH}/${CAMPAIGN}/ATM/SmosGrd  
  
cp /ops/aws/rsdf${y2}${mo}${dom}???.dat . #複製最新的 aws 資料至目錄下  
cp /ops/mesonet/rsnf${y2}${mo}${dom}???.dat . #複製最新的 mesonet 資料  
  
#執行內插程式 SmosGrd.pl  
SmosGrd.pl --crdfile  
${CAMP_PATH}/${CAMPAIGN}/STA/NET${gweekm1}7.CRD \  
--year ${yr} --day ${day} \  
rsdf${y2}${mo}${dom}???.dat rsnf${y2}${mo}${dom}???.dat  
  
#刪除目錄下的 aws 和 mesonet 資料  
rm rsdf${y2}${mo}${dom}???.dat rsnf${y2}${mo}${dom}???.dat  
  
#將每 GPS 站上方內插出的大氣資料(.MET 檔)移到/pub/john/GPSDATDATA/  
CWB_NRT/ATM/目錄  
  
for fil in ????${day}0.MET  
do  
if [ -s $fil ]  
then  
mv ${fil} ../.  
fi  
done
```

以下是內插程式 SmosGrd.pl 的說明：

SmosGrD.pl

程式執行流程概述：

整個系統使用氣象局兩個主要的資料群，一是氣象局 GPS 地面觀測站資料，包含兩個小時的 t00 格式資料和一個小時 rt17 的 Rinex 資料，另一是地面氣象觀測資料(automated weather system (AWS) and mesonet networks)包含溫度、壓力、風向、風力等，主要由 automatic meteorological data processing system (AMDP)系統運作管理。以下為 SmosGrd.pl 程式所需要輸入的資料說明：

AWS data：

每個文件包括各站的氣壓，溫度，風向和相應的高度，緯度，經度和觀測時間。文件名稱是 rsdfyyMMDDhhmm.dat 格式，檔案位於/pub/aws 目錄下，目前每小時一筆檔案。

Mesonet data：

每個文件包括各站氣壓，溫度，露點溫度(dew-point)，風向和相應的高度，經度，緯度和觀測時間。文件名稱是 rsnfyyMMDDhhmm.dat 格式，檔案位於/pub/mesonet 目錄下，目前每小時一筆檔案。

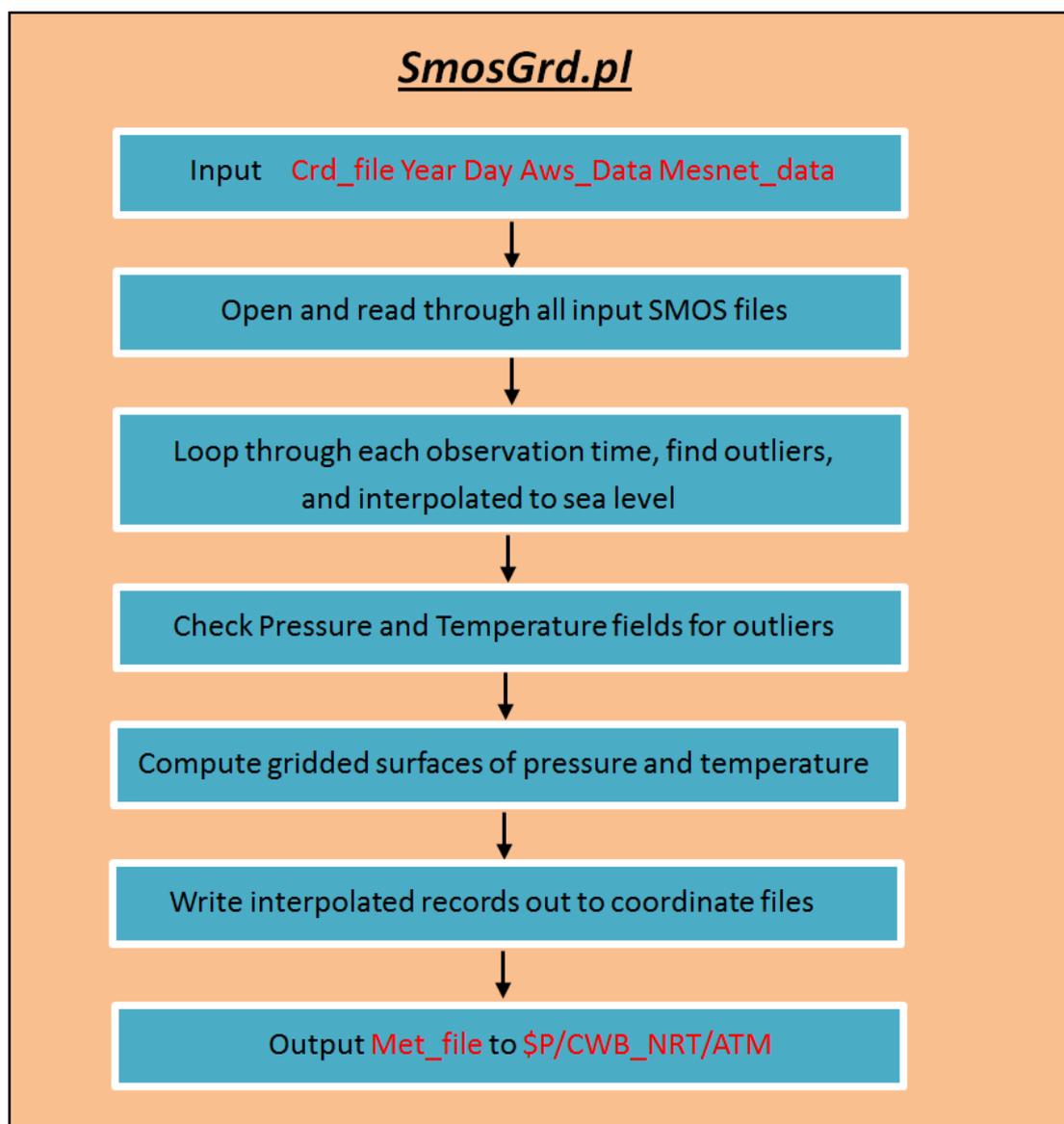
A-priori Coordinate Information：

根據 IGS 追蹤站所發佈座標的包括 ITRF 和 IGS 參考坐標可作為一參考的資訊，亦是 bernese 運算的重要參考數據，否則無法算出較精確的定位點。在本程式中是用來獲取每一 GPS 接收儀的位置，再內插出 GPS 站上方的天氣資訊，文件名稱是 APR_MMyy.CRD.dat 格式，檔案位於\$P/CWB_DP/STA 目錄下。

因為計算 ZTD 轉換為 PWV 時需要當地 GPS 站上方的溫度和壓力值，但不是每一個 GPS 站都有這些相對應的觀測儀器，因此透過氣象局的 AWS 和 Mesonet 的資料網內插出位於 APR_MMyy.CRD 中所有 GPS 站上方的溫度和壓力值。在 SmosGrd.pl 程式中，在內插前需先進行網格化(網格精度為 0.1(經緯度))，而為了消除資料間的不一致性，本程式採用 GMT 軟體所提供的 blockmedian 演算法作前處理每單一網格內的資料，然後呼叫 GMT 的 Surface 程式(adjustable tension continuous curvature surface gridding algorithm, Smith, W. H. F, and P. Wessel, 1990)指令內插出所有網格的值(tension factor $T = 0.1$)，有了網格內的所有內插值後，再根據 APR_MMyy.CRD 裡的找出所有 GPS 站上方的溫度和壓力值，並輸出至 MET 檔。

首先移至 /pub/john/GPSDATA / CWB_NRT /ATM/SmosGrd 目錄，將 /ops/aws/rsdf\${y2}\${mo}\${dom}.dat 和 /ops/mesonet/rsnf\${y2}\${mo}\${dom}.dat 的資料複製到 /pub/john/GPSDATA / CWB_NRT /ATM/SmosGrd 目錄中。

Input : APR_\${mo}\${y2}.CRD --year \${1} --day \${day}
rsdf\${y2}\${mo}\${dom}??.dat rsnf\${y2}\${mo}\${dom}??.dat
Output : 所有 GPS 站的 MET 檔於 \$P/CWB_NRT/ATM 中。



此程式需四個 perl 的模組 File_IO、Geo_Sub、Time_Sub 和 Getopt::Long，File_IO、Geo_Sub、Time_Sub 三個 PM 檔位於 ~john/bin 目錄下，Getopt::Long 可以透過 CPAN 安裝即可。

以下 cwb_nr 部分程式碼，主要工作是下載 GPS 廣播星曆，如有重複則更新，沒有更新到的話先用舊的。

```

#####
# GET ORBIT FILES
#####
echo " "
echo "RETRIEVING ORBIT FILES"
echo " "
#切换到/pub/john/GPSDATDATA/ CWB_NRT/ORB 目錄
cd ${CAMP_PATH}/${CAMPAIGN}/ORB

#下載最新版的星曆前，先把檔名改為_OLD
if [ -f IGU${gweek}${gday}.SP3 ] && [ -f IGU${gweek}${gday}.IEP ]
then
    mv IGU${gweek}${gday}.SP3 IGU${gweek}${gday}_OLD.SP3
    mv IGU${gweek}${gday}.IEP IGU${gweek}${gday}_OLD.IEP
fi

#下載最新的廣播星曆

GetOrb.pl igu ${yr} ${day}
$X/EXE/UPPERC2 igu

# 檢查是否是最新的廣播星曆，如果沒有就先用前一個最新來用

if [ -f IGU${gweek}${gday}_18.SP3 ] && [ -f IGU${gweek}${gday}_18.ERP ]
then

    cp IGU${gweek}${gday}_18.SP3 IGU${gweek}${gday}.SP3
    cp IGU${gweek}${gday}_18.ERP IGU${gweek}${gday}.IEP

elif [ -f IGU${gweek}${gday}_12.SP3 ] && [ -f
IGU${gweek}${gday}_12.ERP ]
then

    cp IGU${gweek}${gday}_12.SP3 IGU${gweek}${gday}.SP3
    cp IGU${gweek}${gday}_12.ERP IGU${gweek}${gday}.IEP

```

```

elif [ -f IGU${gweek}${gday}_06.SP3 ] && [ -f
IGU${gweek}${gday}_06.ERP ]
then

    cp IGU${gweek}${gday}_06.SP3 IGU${gweek}${gday}.SP3
    cp IGU${gweek}${gday}_06.ERP IGU${gweek}${gday}.IEP

elif [ -f IGU${gweek}${gday}_00.SP3 ] && [ -f
IGU${gweek}${gday}_00.ERP ]
then

    cp IGU${gweek}${gday}_00.SP3 IGU${gweek}${gday}.SP3
    cp IGU${gweek}${gday}_00.ERP IGU${gweek}${gday}.IEP

#如果都沒有下載到星曆只好先用上一次下載(_OLD 檔)的
elif [ -f IGU${gweek}${gday}_OLD.SP3 ] && [ -f
IGU${gweek}${gday}_OLD.ERP ]
then

    cp IGU${gweek}${gday}_OLD.SP3 IGU${gweek}${gday}.SP3
    cp IGU${gweek}${gday}_OLD.IEP IGU${gweek}${gday}.IEP

fi

if [ -f IGU${gweek}${gday}.SP3 ] && [ -f IGU${gweek}${gday}.IEP ]
then
    HAVE_ORB=0 #有廣播星曆
    echo "ORBIT FILE: "`ls -lrt IGU${gweek}${gday}.SP3`

```

以下是 GetOrb.pl 的說明：

GetOrb.pl

移至 /pub/john/GPSDATA / CWB_NRT /ORB 目錄

程式執行流程概述：

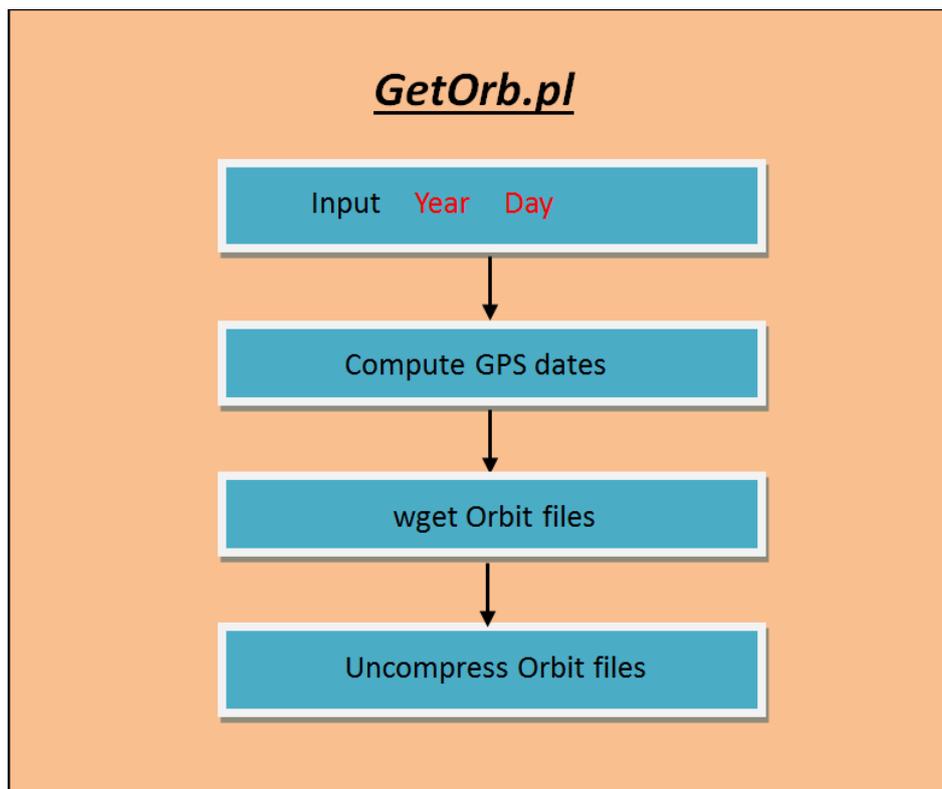
本程式至 IGS CNETER(如表)下載 IGS 衛星軌道檔(IGS orbit file)和地球自轉資訊檔(earth rotation files)，這兩個檔案用來定義整體參考座標(global reference

frame)。檔案下載完後置放於/pub/john/GPSDATA / CWB_NRT /ORB 目錄裡。

Archive Center	Path
CDDIS	ftp://cddis.gsfc.nasa.gov/gps/products/WWW/
SOPAC	ftp://garner.ucsd.edu/pub/products/WWW/
IGN	ftp://igs.ensg.ign.fr/pub/igs/products/WWW/
IGSCB	ftp://igsb.jpl.nasa.gov/pub/product/WWW/

Input : Year Day

Output : 附檔名為.sp3 和.sum 的檔案



以下 cwb_nr 部分程式碼，主要工作是下載電離層 GIM 參數檔，如有重複則更新，沒有更新到的話先用舊的。

```
#####  
# GET IONOSPHERE MAP FILE  
#####  
echo " "  
echo "RETRIEVING IONOSPHERE FILE FROM CODE "  
echo " "  
#切換到/pub/john/GPSDATDATA/ CWB_NRT/ATM 目錄  
cd ${CAMP_PATH}/${CAMPAIGN}/ATM  
  
if [ -f COD${gweek}${gday}.ION ] #先備份舊的 GIM 參數檔  
then  
    mv COD${gweek}${gday}.ION COD${gweek}${gday}.ION_P2  
fi  
GetIon.pl ${yr} ${day} #下載最新的 GIM 參數檔  
$X/EXE/UPPERC2 COD${gweek}${gday}  
  
if [ -f COD${gweek}${gday}.ION ]  
then :  
elif [ -f COD${gweek}${gday}.ION_R ] #如果沒有下載到最新的，就用舊的  
then  
    cp COD${gweek}${gday}.ION_R COD${gweek}${gday}.ION  
elif [ -f COD${gweek}${gday}.ION_P ]  
then  
    cp COD${gweek}${gday}.ION_P COD${gweek}${gday}.ION  
elif [ -f COD${gweek}${gday}.ION_P2 ]  
then  
    cp COD${gweek}${gday}.ION_P2 COD${gweek}${gday}.ION  
fi  
if [ -f COD${gweek}${gday}.ION ] || [ -f COD${gweek}${gday}.ION_R ]  
then  
    HAVE_ION=0 #有 GIM 檔  
    ls -lrt COD${gweek}${gday}.ION  
else  
    HAVE_ION=1 #通知系統沒有下載到 GIM 檔  
fi
```

以下是 GetIon.pl 的說明：

GetIon.pl

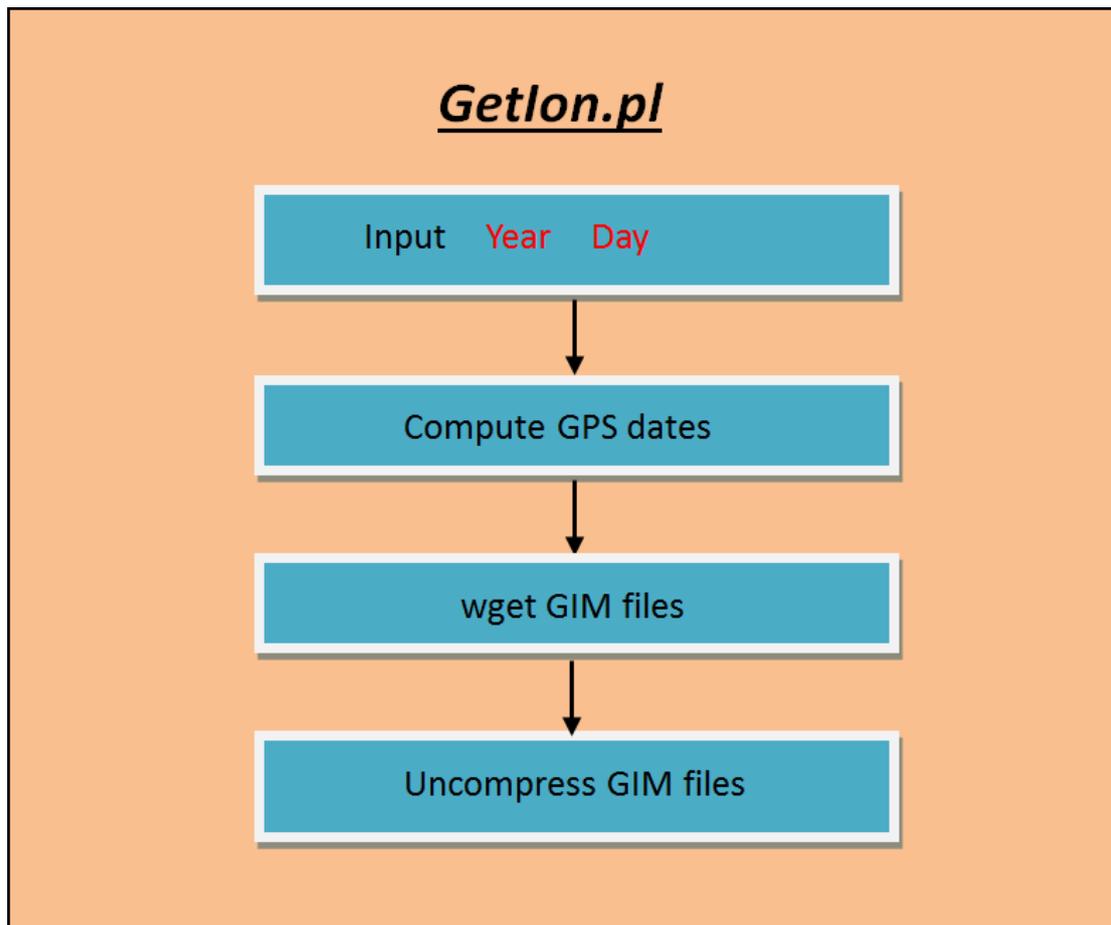
移至 /pub/john/GPSDATA / CWB_NRT /ATM 目錄

程式執行流程概述：

本程式至 <ftp://ftp.unibe.ch/aiub/CODE/> 下載 GIM 參數檔(CODE Global Ionosphere Model (GIM) Files)，GIM 是一電離層模式，在 Bernese 軟體中的 CWB_NRT.PCF 和 CWB_PWV.PCF 會使用到，它利用 QIF(Quasi-Ionosphere Free (QIF) method)方法抵銷電離層延遲(Ionospheric Delay)的影響，但還是有剩餘的 residual ionospheric error 造成未定解(ambiguities)，在 Bernese 軟體中則透過 GIM 電離層模式來剔除掉。檔案下載完後置放於/pub/john/GPSDATA / CWB_NRT /ATM 目錄裡

Input： Year Day

OutPut： 附檔名為.ION 的檔案



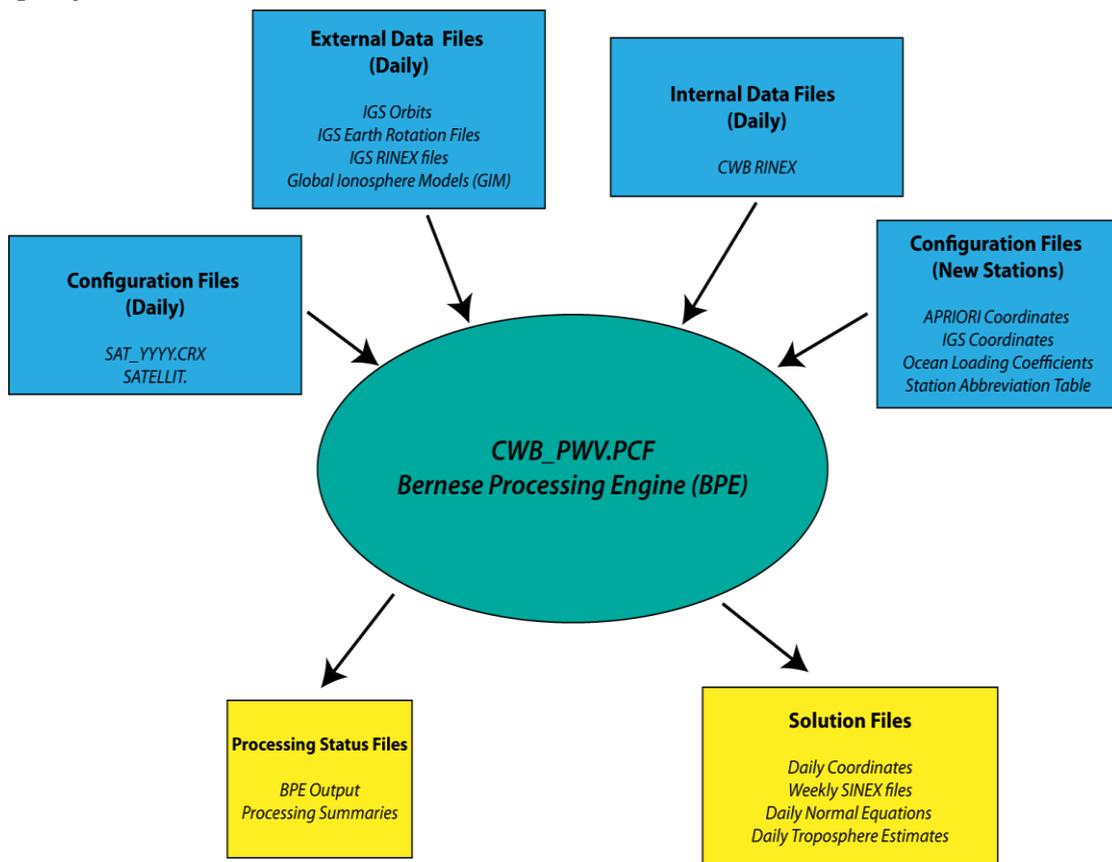
以下 cwb_nr 部分程式碼，主要工作是呼叫 Bernese 執行主要的計算工作。

```
# Initiate BPE Command
#執行/home/john/BERN50/GPSUSER/SCRIPT 裡的 cwb_nrt.pl 檔
$U/SCRIPT/cwb_nrt.pl ${yr} ${day}${S}
```

cwb_nrt.pl

程式執行流程概述：

透過程式 cwb_nrt.pl 呼叫 Bernese 軟體執行，因為 Bernese 軟體的主程式也是透過 perl 語言執行，因此本程式主要工作就是設定 NRT(Near Real Time processing) 的參數(PCF 檔)然後呼叫 Bernese 主體執行，運算結果輸出 PWV 檔至 /pub/john/GPSDATDATA/ CWB_NRT/ATM 裡。



如上圖所示，我們可以得知在執行 cwb_nrt.pl 之前的所有程式，都是執行綠色區塊 BPE (Bernese Processing Engine) 前的準備工作(藍色方塊部分)，當所有的藍色區塊的資料都順利正確產生後，呼叫 BPE 才會計算出黃色區塊的資料，BPE 根據 CWB_NRT.PCF(如下表所示)裡的設計來呼叫 Bernese 所有子程序來執行：

```

# Procedure Control File (PCF)
# All comment lines start with a #
# Comments:
#
#
PID SCRIPT  OPT_DIR  CAMPAIGN CPU      P WAIT FOR....
3** 8***** 8***** 8***** 8***** 1 3** 3** 3** 3** 3** 3** 3** 3** 3**
#
# Translate Pole Files in ORB/ Directory
#
003 POLUPD  NRT_ORB          ANY      0
#
# Generate Standard Orbits and Sat. Clocks
#
010 PRETAB  NRT_ORB          ANY      0 003
011 ORBGEN  NRT_ORB          ANY      0 010
#
# Zero Difference File Processing (RXOBV3 and CODSPP)
#
#018 PREP_RNX ZDP                any      002
019 RNXGRA  NRT_ZDP          ANY      0 011
020 RXOBV3  NRT_ZDP          ANY      0 019
021 CODSPP  NRT_ZDP          ANY      0 020 011
022 CODXTR  NRT_ZDP          ANY      0 021
#
# Single Difference Creation (SNGDIF)
#
030 SNGDIF  NRT_MAXO          ANY      0 022
#
# Clean Single Differences of Cycle Slips (MAUPRP)
#
040 MAUPRP  NRTCLEAN          ANY      0 030
041 MPRXTR  NRTCLEAN          ANY      0 040
042 GPSEDTP NRTCLEAN          ANY      0 041
043 GPSEDTP NRTCLEAN          ANY      0 042
044 GPSRMSCK NRT_CHK          ANY      0 043
#
# Compute network solution based on amb free baseline solutions
#
045 ADDNEQ2 NRT_CHK          ANY      1 044
046 GPSXTR  NRT_CHK          ANY      1 045
#
# Resolve Ambiguities Baseline Wise (GPSEST)
#
050 GPSQIFAP NRT_QIF          ANY      0 046
051 GPSQIF_P NRT_QIF          ANY      0 050
052 GPSXTR  NRT_QIF          ANY      0 051
#
# Compute Troposphere Solution
#
060 GPSEST  NRT_TRP          ANY      0 052
061 STK_NEQ NRT_TRP          ANY      0 060
062 TRO_2PW NO_OPT          ANY      0 060
063 TRO_2PW NO_OPT          ANY      0 061
#
# Clean up and create summary files
#
090 SES_CLN NO_OPT          ANY      0 061
091 NRT_SUM NO_OPT          ANY      0 090
#
#
999 DUMMY   NO_OPT          ANY      1 091
#
# additional parameters required for PID's
#
PID USER          PASSWORD PARAM1  PARAM2  PARAM3  PARAM4  PARAM5  PARAM6
PARAM7  PARAM8  PARAM9
3** 12***** 8***** 8***** 8***** 8***** 8***** 8***** 8***** 8***** 8*****

```

```

8*****
#
042          $042
043          PARALLEL $042
044          NEXTJOB 030
#
#050          $050
#051          PARALLEL $050
#
050          SKIP
051          SKIP
052          SKIP
#
062          TD_      suomiday Bv95      CWB_NRT  SUOMI  LOCAL
063          TRP      suomiday Bv95      CWB_NRT  SUOMI  LOCAL
#
091          CWB_NRT
#
#
VARIABLE DESCRIPTION          DEFAULT
8***** 40***** 16*****
V_O      TWO CHARACTER PREFIX FOR ORBITS      IGU
V_PLUS   VARIABLE FOR NUMBER OF FORWARD SES  0
V_MINUS  VARIABLE FOR NUMBER OF PREV SESS    -6

```

關於 PCF 的說明請參閱 Bernese 的手冊第一章和第三章，以下是 PCF 檔所呼叫的 Bernese 子程式的簡單說明，至於詳細的說明請參閱 Bernese 手冊：

- POLUPD： 轉換地球參考座標檔(pole files)成 Bernese 可用的檔案規範。
- PRETAB： 產生精密星曆的表格檔。
- ORBGEN： 從精密星曆的表格檔產生標準衛星軌道和時鐘。
- RNXGRA： 創建 RINEX 觀測檔的 graphic table，用來檢查資料品質。
- RXOBV3： 轉換 RINEX 檔成 Bernese 觀測檔格式。
- TCOXSPP： 處理 pseudo-ranges 資料來計算 GPS 接收機的時鐘誤差，亦可以得

到接下來計算二次差(double difference)時會用的距離(true distance)，此距離是指 GPS 衛星與接收機的距離。

- CODXTR： 取出 CODSPP 輸出。
- SNGDIF： 從兩個零次差(Zero Difference)檔得到一次差檔(single difference)。
- MAUPRP： 清除一次差的周波脫落(cycle slips)。
- MPRXTR： 取出 MAUPRP 輸出的資訊。
- GPSEDTP： 準備二次差(double difference)資料平行運算篩選-步驟。
GPSEDTP_P(包含 includes GPSEST, RESRMS, SATMRK, GPSEST)：二次差(double difference)資料篩選。
- GPSRMSCK (包含 RESRMS, RESRMS, RESCHK)： 檢查二次差(double difference)資料篩選結果，篩選出品質較差的 GPS 站資料並剔除掉。

- ADDNEQ2：堆疊正規方程式(normal equations)並檢查接收站是否有錯誤的基線解，計算所有基線(baselines)解(含網路解和單一基線解)的時候會使用到 ADDNEQ2。
- GPSXTR：取出 ADDNEQ2的輸出檔資訊。
- GPSQIFAP (含 BASLST)：準備平行(parallel)運算 QIF 未定解(ambiguity resolution)程序，QIF 只算 GPSXTR 輸出的基線(baselines)。
- GPSQIF_P(含 GPSEST)：計算網路解(network solution)
- GPSXTR：取出 GPSEST 的輸出檔資訊
- GPSEST：估算 GPS 載波相位觀測資料的相關參數。
- TK_NEQ (含 ADDNEQ2)：估算每兩小時的 ZTD，並且整併到12小時的 TRP。
- TRO_2PW：轉換 ZTD 檔(TRP 格式)成 PW 檔。
- TRO_2PW：同上
- SES_CLN：刪除相關不在需要的檔案。
- SES_SUM：輸出 NRT 處理程序的摘要檔(CWByysss.PRC)。

在 Bernese 執行的當中，BPE Server 會即時更新最新的狀態到 RUNBPE.OUT，如果有錯誤，使用者可以到/CWB_NRT/BPE 下找到 RUNBPE.OUT 的錯誤回報，檢查問題並解決它。

Time	Sess PID	Script	Option	Status
11-Jun-2008 01:28:53	1620 YR:2008	CWB_NRT		: Server started at 44231
11-Jun-2008 01:28:57	1620 003_000	POLUPD	NRT_ORB	: Client started
11-Jun-2008 01:28:57	1620 003_000	POLUPD	NRT_ORB	: Script started
11-Jun-2008 01:28:58	1620 003_000	POLUPD	NRT_ORB	: Script finished OK
11-Jun-2008 01:28:58	1620 010_000	PRETAB	NRT_ORB	: Client started
11-Jun-2008 01:28:58	1620 010_000	PRETAB	NRT_ORB	: Script started
11-Jun-2008 01:28:59	1620 010_000	PRETAB	NRT_ORB	: Script finished OK
11-Jun-2008 01:28:59	1620 011_000	ORBGEN	NRT_ORB	: Client started
11-Jun-2008 01:28:59	1620 011_000	ORBGEN	NRT_ORB	: Script started
11-Jun-2008 01:29:03	1620 011_000	ORBGEN	NRT_ORB	: Script finished OK
11-Jun-2008 01:29:03	1620 019_000	RNXGRA	NRT_ZDP	: Client started
11-Jun-2008 01:29:03	1620 019_000	RNXGRA	NRT_ZDP	: Script started
11-Jun-2008 01:29:06	1620 019_000	RNXGRA	NRT_ZDP	: Script finished OK
11-Jun-2008 01:29:06	1620 020_000	RXOBV3	NRT_ZDP	: Client started
11-Jun-2008 01:29:06	1620 020_000	RXOBV3	NRT_ZDP	: Script started
11-Jun-2008 01:29:12	1620 020_000	RXOBV3	NRT_ZDP	: Script finished OK
11-Jun-2008 01:29:12	1620 021_000	CODSPP	NRT_ZDP	: Client started
11-Jun-2008 01:29:12	1620 021_000	CODSPP	NRT_ZDP	: Script started
11-Jun-2008 01:29:39	1620 021_000	CODSPP	NRT_ZDP	: Script finished OK
11-Jun-2008 01:29:39	1620 022_000	CODXTR	NRT_ZDP	: Client started

RUNBPE.OUT 檔

RUNBPE.OUT 檔只是簡單的說明每一個 Bernese 子程序的運算結果，在 PCF 檔裡每個子程序都有設定一 PID(process ID)號碼，每個 PID 程序都會輸出相對應的 PRT 檔(位於\$P/CWB_NRT/BPE)，也就是說明每 PID 程序的摘要檔，如下表所示：

Date	Time	Run time	Pgm.time	Sta Program	Message
11-JUN-2008	01:37:29	00:00:00		MSG RUNBPE.pm SCRIPT	STARTED
11-JUN-2008	01:37:29	00:00:00		MSG RUNBPE.pm SCRIPT	STARTED
11-JUN-2008	01:37:32	00:00:03		MSG RUNBPE.pm SCRIPT	ENDED

當 DP 和 NRT 的 Bernese 運算的成功執行完後，除了上述的摘要檔(RUNBPE.OUT 與 PRT 檔)外，剩下就是運算結果的相關檔案，以下是這些結果檔的相關說明：

Daily coordinate solutions (CRD)：日 CRD 檔

每當 DP 的程序執行完就會有 Daily coordinate CRD 的座標檔被產生出來，由 CWB_PWV.PCF 檔中 060 PID 程序(Compute Network Geodetic Solution)跑完輸出至 \$P/CWB_DP/STA 目錄中，每一天產生一個檔，檔案格式為 NETwwwwd.CRD，www 指的是 GPS week，而 d 是指 GPS week 當中的第幾天，如果是 GPS week 的第三天，d 則是 3，NETwwwwd.CRD 是由 NETwwwwd.NQ0 檔(Daily Normal Equation files)演算出來的，取名”NET”是因為它是由所有 GPS 站網路所算出的解，另一類的 CRD 檔則是則是由每一 GPS 站的基線(baseline)所算出來的，因此取名為”BSL”，檔案格式為 BSLwwwwd.CRD，同樣的，它也是由 BSLwwwwd.NQ0 所演算來的。

Daily Normal Equation files (NQ0)：日法線檔

NQ0 檔是 DP(Daily Processing)的法線方程式檔，檔案位於 \$P/CWB_DP/SOL，格式為 NETwwwwd.NQ0，www 指的是 GPS week，而 d 是指 GPS week 當中的第幾天，如果是 GPS week 的第一天，d 則是 1，由 CWB_PWV.PCF 檔中 060 PID 程序(Compute Network Geodetic Solution)輸出的，之後 ADDNEQ2 將會利用 NQ0 檔產生出 weekly coordinate solutions CRD 檔。其他的法線檔，包含計算單一基線的 BSLwwwwd.NQ0 檔是 NRT 的程序產生出來的，而 TD_wwwwd.NQ 檔則是由 DP 程序產生出來的。

Weekly coordinate solutions (CRD)：周 CRD 檔

在 DP 程序中的 PID 070(ADDNEQ2)會將之前計算出的整日 CRD 檔產生周 CRD 檔(Weekly coordinate solutions (CRD))，檔案位於\$P/CWB_DP/STA 目錄裡，格式為 NETwww7.CRD，www 指的是 GPS week，每 GPS week 中的第一天，DP 程序會被指定要產出一周 CRD 檔，所以這代表前七天的對流層的運算已經成功的分析完成，所以周 CRD 檔將會用來獲得下一周的所有 GPS 站的先期座標 (a-priori coordinates)(內插氣象局大氣資料會使用到)，以及協助 DP 程序中的 PID 075(GPSEST)和 PID 076(ADDNEQ2)對流層資料解算，例如在 GPS week 1450 周當中七天的座標解將會用來計算 GPS week 1451 周的對流層結果。

Weekly SINEX files (SNX)：周 SNX 檔

SINEX(Solution Independent Exchange)檔記錄了一周的 GPS 網座標的計算結果和它們的諧方差(covariance)，格式為 NETwwwwd.SNX，命名方式與 Daily coordinate solutions (CRD)相同，檔案位於\$P/CWB_DP/SOL 中，每天產生一次，SINEX 檔的用途很多，包含數周的座標解算到單一基站的解算都會用到它，例如每產生一 SINEX 檔可用來協助獲得當週的法線方程式(normal equation file)和座標解。

Zenith Troposphere Estimates：天頂對流層估算

天頂對流層的計算結果包含兩類資料，一是 ZTD(zenith troposphere delay)和 PW(precipitable water)兩種，ZTD 包含乾遲延(hydrostatic Zenith)和濕遲延項(wet Zenith)，因此需要大氣總氣壓(surface pressure)的測量資料才能隔離出濕遲延項，而 PW 則由濕遲延項推導出來的

- (1) ZTD 資料把所有 GPS 站的天頂延遲量整合到一個檔案裡，格式是 TD_yySSSS.TRP，yy 代表年，SSSS 代表 Bernese PCF 的 session 數字，檔案位於\$P/CWB_DP/ATM，每一檔案包含先期的天頂延遲(a-priori zenith delay)，天頂延遲的修正量，先期和天頂延遲修正量的總和，和錯誤估計等，詳細的說明請參考 Bernse manual 22.9 章節。TRP 檔範例如下表所示：

NETWORK TROPOSPHERE SOLUTION: 122290				19-SEP-12 12:44				
-----				-----				
A PRIORI MODEL:	-15	MAPPING FUNCTION:	4	GRADIENT MODEL:	0	MIN. ELEVATION:	5	TABULAR
INTERVAL:	1800/		0					
STATION NAME	FLG	YYYY MM DD HH MM SS		MOD_U	CORR_U	SIGMA_U	TOTAL_U	
AKND	P	2012 08 16 00 00 00		2.2895	0.39128	0.00292	2.68080	
AKND	P	2012 08 16 00 30 00		2.2895	0.40764	0.00193	2.69717	
AKND	P	2012 08 16 01 00 00		2.2895	0.37794	0.00159	2.66746	
AKND	P	2012 08 16 01 30 00		2.2895	0.36815	0.00151	2.65767	
AKND	P	2012 08 16 02 00 00		2.2895	0.36600	0.00265	2.65552	

NRT 程序的 ZTD 檔案格式是 TD_yySSSS.TRP，資料包含 2 小時到 14 小時的範圍，間距為 2 小時，而 DP 程序的 ZTD 檔案格式是 TD_yySSS0.TRP，資料共有 26 小時的數據，間距一樣是 2 小時。

另外 troposphere SINEX 檔一樣也會一起被產生出來，副檔名為 TRO 檔，內容是一樣的，只是資料格式不同而已。

(2) PW 資料把所有 GPS 站的天頂濕延遲量整合到一個檔案裡，在 NRT 程序中檔案格式是 CWB_NRTTD_yySSSS.PWV，是從天頂延遲量 TD_yySSSS.TRP 推導而來，檔案位於 \$P/CWB_NRT/ATM，相對的，如果是 DP 程序的話，PW 檔案格式是 CWB_DPTD_yySSS0.PWV，是從 TD_yySSS0.TRP 推導而來，檔案位於 \$P/CWB_DP/ATM 目錄裡。

PW 檔案格式的說明如下

- Site： GPS 站名。
 - PWVmidTim： 兩個 epochs 時間的中間內插值，如果是 0015，代表他是 0000 和 0030 的內插中間值。
 - Duration： 兩個 epochs 之間的時間格式間 (Unit: minutes)
 - PW： 估算的可降水量(Precipitable water vapor estimates) (Unit: mm)
 - FMerr： 可降水量的錯誤量 (Formal error)(Unit: mm)
 - Wdelay： 濕延遲(Wet delay) (Unit: mm)
 - Mdelay： 模式延遲(Model delay) (Unit: mm)
 - Tdelay： 天頂總延遲量(Zenith total delay) (Unit: mm)
 - KFAC： $K\text{-factor} = 1/$ (non-unit)
 - Press： 大氣壓力 (Unit: mbar)
 - Temp： 大氣溫度(Unit: degrees C)
 - Rhum： 相對溼度 (never estimated so always -99.9; Unit: %)
 - Ddelay： 乾延遲(Unit: mm)
 - Flg： 大氣壓力觀測值的旗標。A 代表有實際值，I 代表是內插值，U 代表沒有資料。
- (3) KfFlg： K-factor 旗標，代表 K-Factor 由是那數值模式所推導出來的， Bv95 代表是 Bv95 model, U 是未知，通常是代表沒有資料。PWV 檔範例如下表所示：

Site	PW	midTim	Duration	PW	FMerr	Wdelay	Mdelay	Tdelay	KFAC	Press	Temp	Rhum	Ddelay	Flg	KfFlg		
SSSS	YYYYMMDD	HHMM	MIN	MIN	[mm]	[mm]	[mm]	[mm]	[mm]	[mm]	d.ddd	[mbar]	[c]	[%]	[mm]	S	S
ALIS	20120816	0015	30	22.6	0.3	141.1	-99.9	1880.6	6.246	762.0	19.1	-99.9	1739.5	I	Bv95		
ALIS	20120816	0045	30	22.7	0.3	141.4	-99.9	1881.4	6.231	762.2	20.1	-99.9	1740.0	A	Bv95		
ALIS	20120816	0115	30	22.8	0.3	142.2	-99.9	1881.8	6.236	762.1	19.8	-99.9	1739.6	I	Bv95		
ALIS	20120816	0145	30	23.7	0.3	147.7	-99.9	1886.9	6.240	761.9	19.5	-99.9	1739.2	A	Bv95		
ALIS	20120816	0215	30	24.5	0.4	152.8	-99.9	1892.6	6.233	762.2	20.0	-99.9	1739.8	I	Bv95		
ALIS	20120816	0245	30	26.8	0.3	166.6	-99.9	1907.1	6.226	762.5	20.5	-99.9	1740.5	A	Bv95		
ALIS	20120816	0315	30	29.2	0.3	182.5	-99.9	1922.8	6.246	762.4	19.1	-99.9	1740.3	I	Bv95		
ALIS	20120816	0345	30	29.9	0.3	187.3	-99.9	1927.3	6.267	762.3	17.7	-99.9	1740.0	A	Bv95		
ALIS	20120816	0415	30	29.9	0.3	187.2	-99.9	1927.0	6.266	762.2	17.7	-99.9	1739.8	I	Bv95		
ALIS	20120816	0445	30	29.0	0.3	181.8	-99.9	1921.4	6.265	762.1	17.8	-99.9	1739.6	A	Bv95		
ALIS	20120816	0515	30	29.2	0.2	183.0	-99.9	1922.4	6.268	762.0	17.6	-99.9	1739.4	I	Bv95		
ALIS	20120816	0545	30	31.0	0.3	194.2	-99.9	1933.4	6.270	761.9	17.4	-99.9	1739.2	A	Bv95		
ALIS	20120816	0615	30	33.7	0.3	211.2	-99.9	1950.3	6.268	761.9	17.6	-99.9	1739.1	I	Bv95		
ALIS	20120816	0645	30	34.5	0.2	216.5	-99.9	1955.5	6.266	761.8	17.7	-99.9	1739.0	A	Bv95		
ALIS	20120816	0715	30	33.4	0.3	209.5	-99.9	1948.1	6.269	761.6	17.5	-99.9	1738.6	I	Bv95		
ALIS	20120816	0745	30	33.9	0.3	212.9	-99.9	1951.1	6.272	761.5	17.3	-99.9	1738.2	A	Bv95		
ALIS	20120816	0815	30	35.7	0.3	224.2	-99.9	1962.5	6.272	761.5	17.3	-99.9	1738.3	I	Bv95		
ALIS	20120816	0845	30	38.1	0.3	239.2	-99.9	1977.6	6.272	761.5	17.3	-99.9	1738.4	A	Bv95		

Daily Summary Files :

在執行完一個完整執行完的 BPE 程序後，會一個所有資訊的摘要檔產生，檔案格式是 CWByysssss.PRC，yy 代表年，SSSS 代表 Bernese PCF 的 session 數字，如果是 DP 程序的話，檔案位於 \$P/CWB_DP/OUT 目錄裡，它包含以下幾個資訊：

1. 鑑定出 RINEX 資料裡是否有不一致的情況，也就是原始 RINEX 資料的品質是否可靠。
2. 所輸入的衛星軌道資料的方均根(Root mean square)重複性。
3. 簡短的摘要說明單點定位(用來同步接收機的時脈)的品質，。
4. 統計修復周波脫落(cycle slips)的基線數據，刪除太短的觀測量區段以及評估載波相位數據的品質。
5. 對於未檢測出問題的相位載波資料，說明殘留篩檢(residual screening)的摘要。
6. 解算載波相位未定解的能力報告。
7. 統計周座標解(the weekly combination of coordinate solutions)。

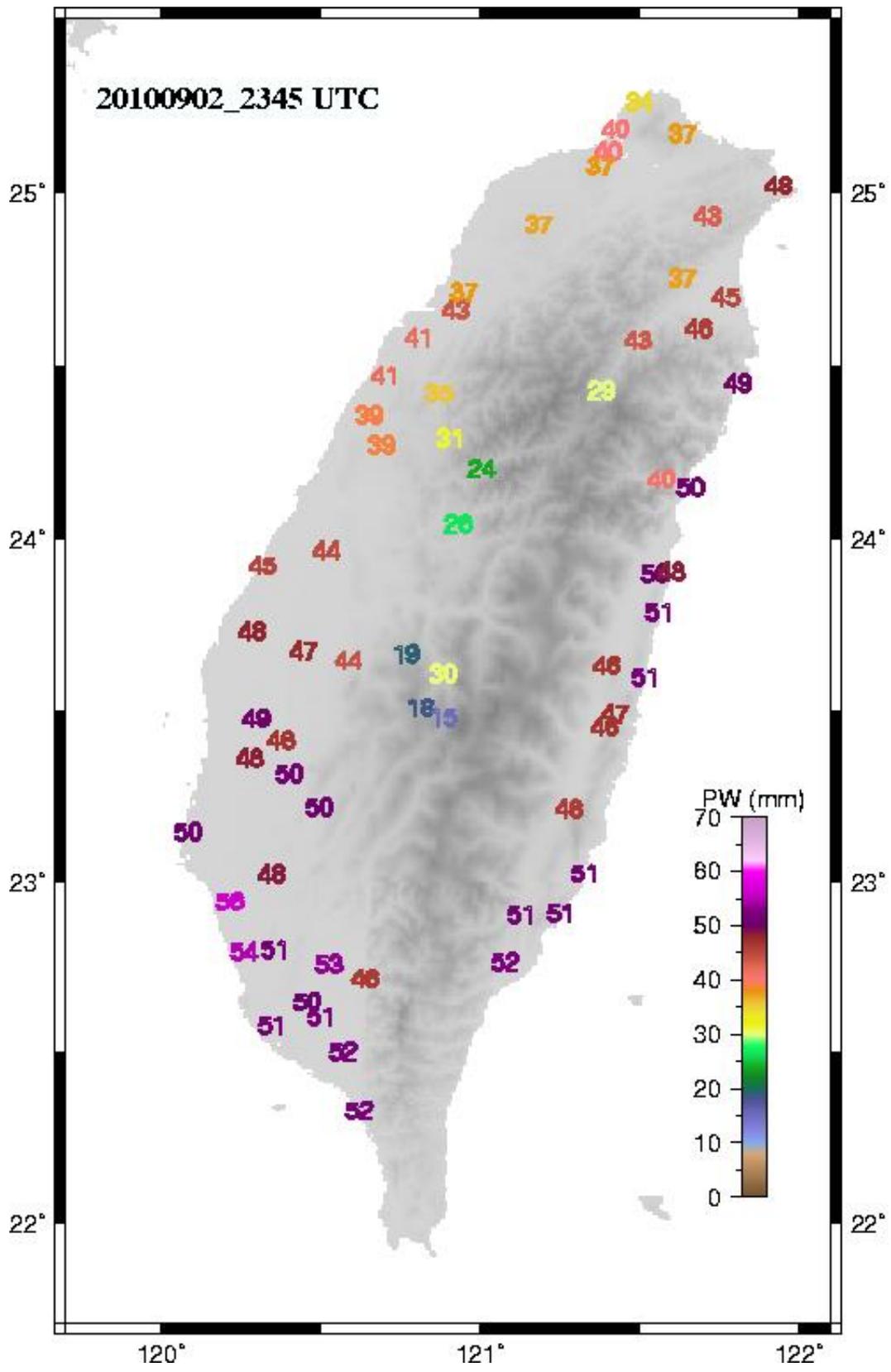
以下 cwb_nr 部分程式碼，主要工作是將 Bernese 跑完的結果繪圖，並輸出至網站。

```
# Create Result Plots
pww_fil=`echo ${y2} ${day} ${S} | awk #設定要讀取的 PWV 檔格式
'{"printf("CWB_NRTTRP%02d%03d%s.PWV",$1,$2,$3)}'`
cd ${CAMP_PATH}/${CAMPAIGN}/ATM #切換到/ATM 目錄下
ls $pww_fil
if [ -f ${pww_fil} ] #如果有 PWV 檔存在
then
    cd image_map #畫出每個 GPS 站的 PWV 值
cwb_grid_pww.pl ../${pww_fil}${CAMP_PATH}/${CAMPAIGN}/STA/NET${gweekm1}7.C
RD
cd ..

parseStaPww.pl ${pww_fil} #把每個站的 PWV 值等大氣資料獨立輸出為個別的檔案
cd image_timeSeries
for sta_fil in `ls ../????_${yr}.PWV`
do
    pltStaTimeSeries.pl ${sta_fil} ${day} 2 #將每一 GPS 站的 PWV 時間序列資料繪
出。
    id=`echo ${sta_fil} | cut -f2 -d'|' | cut -c1-4`
    sta_fig=`echo ${id} ${yr} ${day} | awk '{"printf("%s_%04d%03d.png",$1,$2,$3)}'`
    current_fig=`echo ${id} | awk '{"printf("%s_CURRENT.png",$1)}'`
    if [ -f ${sta_fig} ] #如果圖有畫出來，則輸出至網站
    then
        cp ${sta_fig} /pub/websvc/image_timeSeries/${current_fig}
        cp ${sta_fig} /pub/websvc/image_timeSeries/${sta_fig}
    fi
done
cd ..
```

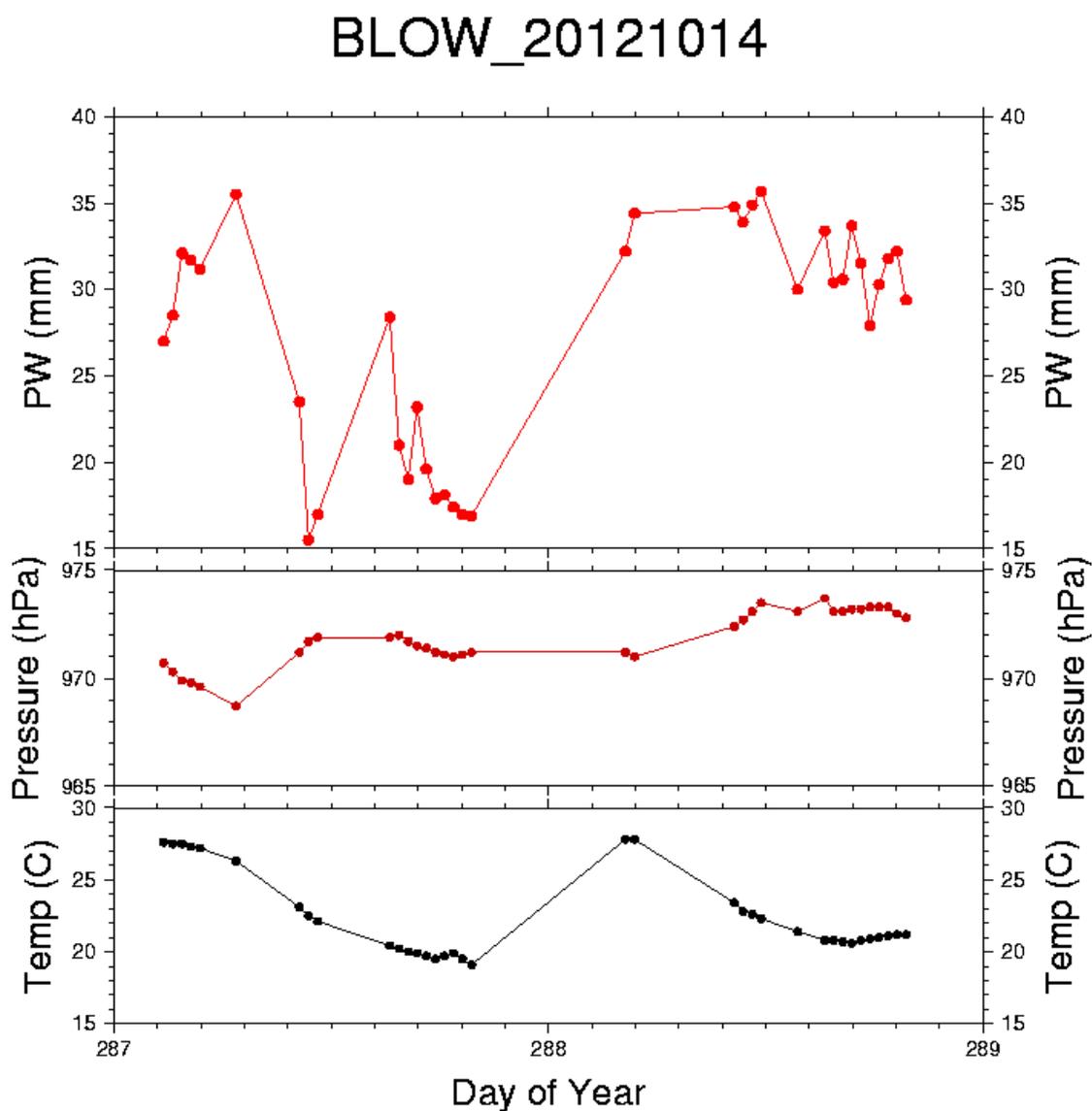
在這裡一共呼叫 cwb_grid_pww.pl、parseStaPww.pl 和 pltStaTimeSeries.pl 三個 Perl 的程式檔，以下為這三個程式的說明：

cwb_grid_pww.pl：呼叫 GMT(Generic Mapping Tools)的函式，並將每一 GPS 站的 PWV 值標示出來，並以顏色表示等分。結果如下圖所示：



parseStaPwv.pl：因為 PWV 檔是把所有 GPS 站的 PWV 寫在同一個檔案裡，為了方便輸出每個 GPS 站的時間序列，所以把每個站的 PWV 值等大氣資料獨立輸出為個別的檔案。

pltStaTimeSeries.pl：依據 **parseStaPwv.pl** 所輸出的個別檔案，把兩小時為等分的 PWV、壓力和溫度值繪出。如下圖所示：BLOW 站的範例



附件

出席國際學術會議發表之論文

Applying the water vapor radiometer to verify the precipitable water vapor measured by GPS

Ta-Kang Yeh^{1,*}, Jing-Shan Hong², Chuan-Sheng Wang¹, Tung-Yuan Hsiao³, Chin-Tzu Fong²

¹ Department of Real Estate and Built Environment, National Taipei University;
bigsteel@mail.ntpu.edu.tw

² Meteorological Information Center, Central Weather Bureau

³ Department of Information Technology, Hsing Wu University

Abstract

Taiwan is located at the land-sea interface in a subtropical region. Because the climate is warm and moist year round, there is a large and highly variable amount of water vapor in the atmosphere. In addition, because Taiwan is surrounded by ocean and lacks nearby ground meteorological data, it is difficult to forecast the weather. In this study, we calculated the Zenith Wet Delay (ZWD) of the troposphere using ground-based Global Positioning System (GPS). The ZWD measured by a Water Vapor Radiometer (WVR) was then used to verify the ZWD that had been calculated using GPS. We also analyzed the correlation between the ZWD and the precipitation data. We used the observational data from 14 GPS and precipitation stations to evaluate three cases: one during the plum rain season, a second during binary typhoons, and a third long duration case. The offset between the GPS-ZWD and the WVR-ZWD ranged from 1.31 cm to 2.57 cm. The correlation coefficient ranged from 0.89 to 0.93. The results calculated from GPS and those measured using the WVR were very similar. Moreover, when there was no rain, light rain, moderate rain, or heavy rain, the flatland station ZWD was 0.31 m, 0.36 m, 0.38 m, or 0.40 m, respectively. The mountain station ZWD exhibited the same trend. Therefore, these results have demonstrated that the potential and strength of precipitation in a region can be estimated according to its ZWD values. If this method can eventually be expanded to the more than 400 GPS stations in Taiwan and its surrounding islands, observational data with improved spatial and temporal resolution can be provided to the city and countryside weather forecasting system that is currently under development. Such an exchange would fundamentally improve the resources used to generate weather forecasts.

Keywords: global positioning system, zenith wet delay, water vapor radiometer, rainfall

1. Introduction

Since its development, Global Positioning System (GPS) technology has been widely used in many fields. The application of GPS technology to the field of meteorology is called GPS Meteorology (GPS/Met). The primary purpose of this work was to utilize the delay effect of the GPS satellite signal, which is caused by Earth's atmosphere, to derive useful atmospheric information and ultimately contribute to the development of atmospheric science, meteorology, and other related fields. Many examples from European and American countries have suggested that performing near real-time atmosphere monitoring using the GPS tracking network can positively contribute to long-term climate monitoring and short-term weather forecasting. Currently, there is an increasing demand for weather forecasting, especially emergent weather forecasting. By utilizing continuous observation from a GPS signal, the dynamic variations of precipitation in the troposphere can be observed. The near real-time continuous nationwide precipitation data, which feature high precision, as well as high spatial and temporal resolution, can be used in meteorology research to improve the ability to forecast emergent weather. GPS offers some advantages when compared with meteorological radar and radiosonde, which are traditionally used in weather forecasting. Meteorological radar can only measure the spatial distribution of raindrops, but it cannot measure water vapor distribution. This drawback greatly weakens its usage for weather forecast warnings. The radiosonde is a single-use piece of equipment that has low spatial and temporal resolution; its typical sampling rate is twice daily. Conversely, because ground-based GPS is inexpensive, it can be densely distributed. GPS technology can provide nearly real-time, highly precise, and continuously varying Precipitable Water Vapor (PWV) data across a wide coverage area. This ability is very important for improving the short-term weather forecast capability, especially in terms of thunderstorm forecasting and numerical weather forecast models. Currently, the ground-based GPS network of the National Oceanic and Atmospheric Administration (NOAA) of the United States can automatically estimate the variation of PWV above the network surface every 30 min. The Japanese GPS network, consisting of more than 1000 stations, has also been used in functional ground-based GPS meteorological applications (Shoji et al., 2003).

Although GPS can facilitate the ability to make highly precise measurements of the phases of carrier waves for navigation, the error caused by the atmosphere has drawn increasing attention. These errors arise due to ionospheric and tropospheric delays. For the ionosphere delay, the error can be reduced using dual-frequency observation or simultaneous observation of the differential method. The troposphere delay consists of two components: the dry component (caused by the temperature and pressure variations of the dry air, which change the refraction index of the air) and the

wet component (caused by the uneven distribution of water vapor, which causes the signals to refract). The former component can be precisely calculated using ground pressure detection. However, the latter component cannot be easily corrected because of the uneven distribution and instability of the atmospheric water vapor. Although the wet delay of the troposphere is much smaller than the dry delay, the uncertainty of the troposphere wet delay introduces a lack of predictability into high-precision GPS applications. Finding an effective solution for the troposphere delay would increase the precision of GPS positioning and could also be used to derive the PWV of the atmosphere to provide a near real-time ability to forecast weather.

The atmospheric delay along the path of electromagnetic waves is largely unknown. Therefore, many models estimate delay values for electromagnetic waves in the atmosphere using ground meteorological data, the elevation angle, and the azimuth angle. These delay values differ based on the empirical model from which they are derived, and the ground meteorology empirical models are primarily used to estimate the Zenith Wet Delay (ZWD). However, due to the uneven distribution of water vapor at high altitudes, many questions remain regarding the estimation of ZWD using ground empirical models (Mendes and Langley, 1999). In this study, we used a ground-based GPS station to derive ZWD information. We then compared the ZWD data with observational data from a Water Vapor Radiometer (WVR) to verify the accuracy of the GPS-ZWD data. The results of this comparison can be used in industrial fields and to calculate atmospheric PWV. In the future, these results can provide supporting information that can be used in weather forecasting and in environmental monitoring.

2. Theory of the Troposphere Delay

The troposphere primarily influences the GPS signal in two ways. The propagation speed of the signal is slowed down relative to that of a vacuum, and the signal path is bent rather than straight; both of these effects are caused by refraction along the path. For the former effect, the refraction index of the troposphere is larger than that of a vacuum, thereby causing the speed delay. For the latter effect, because the refraction index varies with altitude, the propagation path is bent and delayed. These two types of delays, the speed delay and the path delay, are discussed in the following section.

(1) Speed Delay

Because the refraction index of the troposphere is larger than the refraction index in a vacuum, electromagnetic waves travel more slowly through the atmosphere than through a vacuum; this phenomenon is called the propagation time delay. The effect of this propagation time delay can be estimated as the propagation path is elongated. The relationship between the speed in a vacuum and that in a medium can be

expressed as follows:

$$V_M = \frac{V_v}{n} \quad (1)$$

in which V_v is the signal speed in vacuum, n is the refraction index of the medium, and V_M is the signal speed in the medium. The refraction index of the medium changes along the propagation path because of temperature and pressure variations.

Therefore, the index is a function of the path, and the speed delay D_v^{Trop} due to the different speeds is expressed as follows:

$$D_v^{Trop} = \int [n(s) - 1] ds \quad (2)$$

(2) Path Delay

Because the refraction index of the atmosphere changes according to the atmospheric height, an electromagnetic wave that travels through the atmosphere will have a bent path instead of a straight path. Because a bent path is longer than a straight line, the path is elongated between the satellite and the receiver. The path delay D_p^{Trop} is expressed as follows:

$$D_p^{Trop} = S - G \quad (3)$$

in which S and G represent the straight and bent paths, respectively. In summary, the troposphere delay D^{Trop} can be expressed as follows:

$$D^{Trop} = D_v^{Trop} + D_p^{Trop} = \int [n(s) - 1] ds + (S - G) \quad (4)$$

In Eq. (4), $\int [n(s) - 1] ds$ is the effect of the speed delay, and $(S - G)$ is the effect of the bent path. In general, the $(S - G)$ delay is less than 1 cm when the elevation angle is greater than 15° , and it only represents 0.1% of the total delay (Bock and Doerflinger, 2001). Therefore, this delay can be neglected. The primary factors that cause the longer path are the different refraction indexes at the different atmospheric heights. According to Eq. (4), the zenith troposphere delay ΔL_{trop}^Z is as follows:

$$\Delta L_{trop}^Z = \int_H^\infty [n(z) - 1] dz = 10^{-6} \int_H^\infty N dz \quad (5)$$

in which the refraction index N can be expressed as follows:

$$N = \left(k_1 \frac{P_d}{T} \right) Z_d^{-1} + \left(k_2 \frac{e}{T} + k_3 \frac{e}{T^2} \right) Z_w^{-1} \quad (6)$$

in which N is a function of the temperature, pressure, and water vapor pressure; P_d is the dry air pressure; e is the water vapor pressure; T is the absolute temperature;

k_1, k_2 and k_3 are constants; Z_d is a dry air compression factor; and Z_w is a water vapor compression factor. Finally, from Eq. (6), we derive the following:

$$\Delta L_{trop}^Z = D_{trop,h}^Z + D_{trop,w}^Z = 10^{-6} \left\{ \frac{k_1 R}{g_m M_d} P_s + \int_H^\infty \left[\left(k_2 - k_1 \frac{M_w}{M_d} \right) \frac{e}{T} + k_3 \frac{e}{T^2} \right] dz \right\} \quad (7)$$

in which $D_{trop,h}^Z$ is the dry delay, $D_{trop,w}^Z$ is the wet delay, R is a molar gas constant,

g_m is the mass center of the vertical air column, M_d is the molar weight of the dry air,

M_w is the molar weight of the water vapor, and P_s is the surface atmosphere pressure.

In Eq. (7), $\frac{k_1 R}{g_m M_d} P_s$ (expressed as ΔL_h^Z) is the zenith hydrostatic delay, or the dry delay, which can be calculated by measuring the total surface atmospheric pressure;

the term $\int_H^\infty \left[\left(k_2 - k_1 \frac{M_w}{M_d} \right) \frac{e}{T} + k_3 \frac{e}{T^2} \right] dz$ (expressed as ΔL_w^Z) is the wet delay, which can

be calculated when the atmospheric temperature and water vapor pressure are known. Typically, the zenith signal delay caused by neutral atmosphere is approximately 2.3 m. When the signal elevation angle is 5° , the delay caused by the neutral atmosphere can reach approximately 25 m (Chen and Herring, 1997).

Because the GPS signals pass through media with unknown refraction indexes, surface meteorological parameters (temperature, humidity, and pressure) are used to model the troposphere. To date, researchers have developed several troposphere delay correction models. Among these models, the three most well-known are the Saastamoinen model, the modified Hopfield model, and the Niell model.

(1) Saastamoinen Model (Saastamoinen, 1973)

Among the many troposphere models that have been developed to eliminate the troposphere error, the Saastamoinen model is the most widely used to calculate this delay. It was derived from the ideal gas law and is expressed as follows:

$$\Delta L_h^z = 0.002277 \times P_s \quad (8)$$

$$\Delta L_w^z = 0.002277 \times \left[\left(\frac{1255}{T} + 0.05 \right) e - B \right] \quad (9)$$

in which P_s is the surface atmospheric pressure (mb), T is the surface temperature (K), e is the surface water vapor pressure (mb), and B is the correction factor. By substituting the temperature, pressure, and humidity into this empirical equation, a correction for the troposphere delay can be obtained. The dry delay can easily be calculated by substituting the precise atmospheric pressure into the Saastamoinen model. The accuracy of this method can be on the order of millimeters (Janes et al.,

1991; Chen et al., 2011).

(2) Modified Hopfield Model (Goad and Goodman, 1974)

The modified Hopfield model uses the length of the position vector instead of the height to calculate the troposphere delay. Assuming that the radius of the Earth is R_E , h is the height between the surface and the wet component of the atmosphere, and h_d is the height between the surface and the dry component of the atmosphere. Therefore, the corresponding lengths become $r_d=R_E+h_d$ and $r_w=R_E+h$. Figure 1 shows the relative relationship of the geometric path delay. The troposphere delay can be expressed as follows (Hofmann-Wellenhof et al., 2001):

$$D^{trop} = 10^{-6} \int_{Path} N_d \left[\frac{r_d - r}{r_d - R_E} \right]^4 ds + 10^{-6} \int_{Path} N_{wv} \left[\frac{r_w - r}{r_w - R_E} \right]^4 ds \quad (10)$$

in which N_d and N_{wv} represent the refraction indexes of the dry and wet components above the surface, respectively.

(3) Niell Model (Niell, 1996)

For the Niell model, no meteorological parameter is required. The dry component is calculated from the latitude, the station elevation, and the day of the year. The wet component can be obtained by entering the latitude of the station. These terms can be expressed as follows:

$$D_{dry}^{trop}(\varepsilon) = \frac{\frac{1}{1 + \frac{a_{dry}}{b_{dry}}}}{1 + \frac{a_{dry}}{b_{dry}}} + \frac{1}{\sin \varepsilon} \left[\frac{\frac{1}{1 + \frac{a_{ht}}{b_{ht}}}}{1 + \frac{a_{ht}}{b_{ht}}} \right] \times \frac{H}{100} \quad (11)$$

$$D_{wet}^{trop}(\varepsilon) = \frac{\frac{1}{1 + \frac{a_{wet}}{b_{wet}}}}{1 + \frac{a_{wet}}{b_{wet}}} \frac{1}{\sin \varepsilon + \frac{a_{wet}}{b_{wet}}} \quad (12)$$

in which ε is the elevation angle of the satellite, H is the elevation, $a_{ht} = 2.53 \times 10^{-5}$ km, $b_{ht} = 5.49 \times 10^{-3}$ km, and $c_{ht} = 1.14 \times 10^{-3}$ km.

Only a minor difference exists between the zenith hydrostatic delays that are calculated from the Hopfield and Saastamoinen models (Bock and Doerflinger, 2001). The hydrostatic delay calculated from the Saastamoinen model has been verified many times, and it is known to be accurate to 1 mm or less (Mendes and Langley, 1999; Yeh et al., 2012). Using the standard atmosphere status and the empirical meteorological model to replace the observation data from the ground station produces favorable results (Niell, 1996). However, this analysis is only applicable to

long-term data analyses in which the impact of emergent weather events has been reduced. When data are analyzed over many years, climatic variations can be observed and detected. However, when data are analyzed over the course of a few hours or a few days, the particular daily atmospheric conditions will lead to variations in the daily coordinate calculation results.

To convert the ZWD to PWV according to the definition of precipitable water vapor, the relationship between the ZWD (ΔS_w) and PWV (P_w) is as follows:

$$P_w = \Pi \times \Delta s_w \quad (13)$$

in which Π is the scale factor and can be calculated as follows:

$$\Pi^{-1} = 10^{-6} [\rho R_w (k_3/T_m + k'_2)] \quad (14)$$

in which k_2 and k_3 are the experimental constants of the atmospheric refraction, such

that $k_2 = 64.79 \text{ K/hPa}$, $k_3 = 3.766 \times 10^5 \text{ K}^2/\text{hPa}$, and

$k'_2 = k_2 - k_1 M_w / M_d = 16.52 \text{ K/hPa}$. The molar mass of the water vapor (M_w) is 18.015 g/mol , such that $R_w = R/M_w = 461.524 \text{ J/kg} \cdot \text{K}$. The scale factor Π is related to the temperature; it changes with the latitude, the height of the station, the season, and the weather. Therefore, the method used to determine the temperature is very important. In 1984, Davis et al. posted a solution and defined the weighted average temperature as follows:

$$T_m = \int_{h_s}^{\infty} \frac{e}{T} dh / \int_{h_s}^{\infty} \frac{e}{T^2} dh \quad (15)$$

in which e is the water vapor pressure and T is the atmospheric temperature (K). Using radiosonde data that have been collected for many years, Bevis (1994) revealed a linear relationship between the weighted average temperature T_m and the surface temperature T_s , as follows: $T_m = 70.2 + 0.72T_s$. The ZWD can then be converted to PWV.

3. Data Collection and Processing

In this study, we choose the plum rain, the typhoon, and the long-duration (three-month) seasons for the case studies. Three datasets were used, including GPS data, precipitation data, and WVR data. The processing steps and the methods that were used for these three datasets are explained below.

(1) GPS Data

The GPS data in this study were obtained from the following 14 GPS stations: YMSM, GS10, SHJU, CAOT, TACH, PKGM, SINY, KDNM, YILN, SOFN, TMAM, LANB, MZUM, and KMNM. The distribution of the stations is shown in Figure 2. The Bernese 5.0 software program, developed by the University of Bern in Switzerland, was used to analyze the GPS data. The ZWD was calculated based on the assumption that the coordinates of the ground points are fixed. During the process

of differential calculation, the orbit error and the clock error of the satellite were corrected using the IGS precise ephemeris. The ionosphere delay error was eliminated using the L3 linear combination (Yeh et al., 2009). To avoid eliminating the desired ZWD during the elimination of the common error while performing the differential calculation, we used the method of long baseline (approximately 2000 km) static relative positioning to ensure that the obtained ZWD was the absolute value (Liou et al., 2000). Moreover, to increase the accuracy of the ZWD calculation, the ocean tide loading correction was applied and the NAO.99b model was used to achieve the optimal correction effect (Yeh et al., 2011).

Another important issue was the selection of the main station. We tested various combinations of main stations and distances; these stations were TSKB of Japan, GUAM of Guam, BJFS of Beijing, DAEJ of Korea, and YUSN of Taiwan. TSKB of Japan was chosen as the main station because it produced the best result. At distances longer than 2000 km, the atmospheric status can be treated as uncorrelated between the two locations. By increasing the baseline distance between the main station and the calculation station, atmospheric information can be preserved during the differential calculation, thereby achieving a more accurate ZWD. Furthermore, due to the adequacy of the data and the comprehensive error correction, the output frequency of the ZWD was once per hour and 24 times per day per station. In other words, the temporal resolution of the GPS-deduced ZWD was 1 hr.

(2) Precipitation Data

To match the locations of the GPS stations, the 14 precipitation stations from the Central Weather Bureau (CWB) rainfall database located nearest to each of the GPS stations were selected, including Chutzuhu, Taipei, Hsinchu, Taichung, Wuqi, Chiayi, Alishan, Hengchun, Yilan, Hualien, Taitung, Lanyu, Matzu, and Kinmen. The precipitation data in this study were provided by the CWB. The time resolution of these data was also 1 hr; therefore, there were 24 datasets per day. Due to the 8-hr time difference between the GPS time and the precipitation time (Taiwan local time), the precipitation time was converted to GPS time prior to analysis.

(3) WVR Data

This study utilized the WVP-1500, which was developed by the Radiometrics Company in the US; this is a passive WVR that has five observation wavebands between 22 and 30 GHz. Its observation range can reach up to a 10-km water vapor cross section, and the single observation time is less than 10 sec. This instrument can also be used to measure surface temperature, pressure, and relative humidity. Figure 3 shows an architectural diagram of the Radiometrics WVP-1500, which was equipped with an Azimuth Drive component. The Radiometrics WVP-1500 can provide measurements at various azimuth angles by tracking GPS satellites through the GPS satellite ephemeris to scan every observable satellite. Therefore, the PWV liquid

water content can be measured to calculate the wet delay caused by the atmosphere. Moreover, this instrument includes a Rain Effect Mitigation component, which includes Super Dewblower and Hydrophobic Radome modules; these modules prevent measurement error due to the adhesion of water drops to the WVR. On a technical level, the PWV measured by the WVR should be more accurate than GPS-measured PWV. However, the WVR is very expensive (the Ministry of the Interior only owns two instruments nationwide). Therefore, we used the WVR-measured PWV as a standard in this study to verify the accuracy of the GPS-calculated ZWD. Due to the cost constraints of WVR, however, GPS is an economical, real-time, wide-coverage observation method.

The WVR data used in this study were provided by the Ministry of the Interior. The two instruments were installed at the satellite tracking stations of Yangmungshan (YMSM) and Beigang (PKGM). The original data from the WVR included the date, time, surface temperature, pressure, and relative humidity. The resolution between observations was less than 10 sec. Therefore, the volume of WVR data was very large. To compare the WVR data with the GPS and precipitation data, the WVR data were averaged hourly and transferred to GPS time automatically using a program. The correlation analysis was then performed with the GPS-ZWD and the precipitation data.

4. Case Study and Result Analysis

4.1 Case 1: Plum Rain Season

The plum rain season occurs each May and June in Taiwan. The precipitation of the plum rain season accounts for $\frac{1}{4}$ of the total annual precipitation, and it is a major water resource in Taiwan. However, excessive precipitation can also cause disasters. The features of the plum rain season can vary between years. Even meteorologists admit that the predictability accuracy of rainfall during the plum rain season is low and that the weather is highly variable (Kueh et al., 2009). Therefore, we chose to study the plum rain season and analyzed the relationship between the precipitation observed during the season and the GPS-ZWD. A time period that included Modified Julian Day (MJD) 53887-53901 (June 1–14) was chosen for this case study. Based on the information provided on the CWB website, most of the areas in Taiwan experienced continuous rainfall during MJD 53887–53899. The central and southern areas experienced torrential and extremely torrential rain, respectively. Some disasters occurred as a result of the continuous heavy or torrential rainfalls. During this period, the most notable rainfalls occurred between MJD 53896 and 53897. Starting at MJD 53900, the weather front began to move north. The weather in Taiwan shifted to the summer type, which is controlled by the Pacific High and involves higher daily temperatures. The rain system changed primarily to thermal convection, which

developed after noon (CWB, 2011).

This case included 14 stations. We first chose the Yangmungshan station and Beigang station as examples because GPS and WVR data are available for both stations. In Figure 4, the red line represents the wet delay as measured by the WVR, the green line represents the wet delay as calculated from the GPS data, the blue line represents the surface precipitation, and the gray line represents the surface humidity. From Figure 4, we determined that the ZWD measured by the WVR (referred to as WVR-ZWD) and the ZWD calculated from GPS data (referred to as GPS-ZWD) displayed the same trend. The correlation coefficient between the GPS-ZWD and the WVR-ZWD was 0.96, which suggests that these two sources are highly correlated. Furthermore, by calculating the difference between the GPS-ZWD and WVR-ZWD and then averaging the absolute values of these differences, the average discrepancy between the two ZWDs was found to be 1.19 cm. This result preliminarily verified the reliability of the ZWD as calculated from the GPS data. The trends of the GPS result and the WVR result were found to be consistent. Minor system error exists between the two results.

The result of the PKGM station is shown in Figure 5. The difference between the WVR-ZWD and GPS-ZWD was relatively larger than that at the YMSM station. The correlation coefficient was only 0.77, which is a much poorer correlation than that observed at the YMSM station. Upon further analysis, we found that the results of the red line (WVR-ZWD) and the green line (GPS-ZWD) are broadly similar. However, they do not coincide with each other from MJD 53895–53896, which were the two days with heavy rainfall. During these two days, the average precipitation was more than 20 mm/hr, which is considered to be torrential rain. Therefore, the observed ZWD should have synchronously increased. However, the red line (measured by WVR) decreased while the green line (calculated from the GPS data) increased. This result suggests that the GPS is more reliable than the WVR during heavy rainfall. This strong rainfall period was the primary reason for the low correlation coefficient. If we excluded this period, the correlation coefficient between the GPS-ZWD and the WVR-ZWD was 0.9, which is highly correlated. Moreover, by using the method used for YMSM station to calculate the absolute values of the differences, the average discrepancy between the GPS-ZWD and WVR-ZWD was 1.42 cm. This result suggests that a relatively larger system error exists between the GPS-ZWD and WVR-ZWD data when the rainfall intensity is large.

4.2 Case 2: Two Typhoons

This case encompassed MJD 53950–53961 (August 3–13). Seven typhoons occurred in August of that year. We choose the Bopha and Saomai typhoons as examples. Typhoon Bopha formed in the eastern sea of Taiwan. The maximum wind

speed near the typhoon center was 23.0 m/s. The landing point was in eastern Taiwan. The CWB activated the typhoon landing alarm on MJD 53955. The intermittent, large rainfall brought by Bopha (the total precipitation was approximately 250 mm in the mountain area) caused crop damage. Typhoon Saomai formed in the southwest sea of Guam. The maximum wind speed near the typhoon center was 48.0 m/s. The CWB activated the typhoon landing alarm on MJD 53956. Due to the rapid speed of Saomai, the warning time was short. Moreover, the cloud cluster was dense and concentrated within the storm circle. Only northern Taiwan, which was passed by the storm circle, experienced relatively strong wind and intermittent rainfalls during the morning of MJD 53957. The CWB cancelled the alarm in the afternoon on MJD 53957.

The data used in this case study were also derived from the GPS and precipitation stations. The YMSM and PKGM stations also produced the WVR data. Figure 6 shows similar trends to those observed in Case 1. At the YMSM station, the ZWD calculated from the GPS data and the ZWD measured by the WVR showed the same trend. The correlation coefficient was 0.93. The average discrepancy was 2.47 cm. Both the correlation coefficient and the discrepancy were worse than the values calculated for the plum rain season case. This result may have been caused by the severe weather changes that occurred during the typhoon period, which decreased the accuracy of the ZWD calculation. Figure 6 clearly shows that the ZWD increased rapidly when the typhoon was approaching and decreased rapidly as the typhoon left. The hourly precipitation reached its maximum on MJD 53957. The GPS-ZWD and WVR-ZWD reached peak levels simultaneously. Two days after the typhoon (MJD 53959), the ZWD rapidly decreased to its minimum during the period.

We next analyzed the data from the PKGM station. Figure 7 shows that after the first typhoon began to affect Taiwan (MJD 53955), the observation data from the WVR became erratic. Further investigation revealed that the abnormal data were caused by a servomotor failure. The WVR uses the servomotor to rotate the equipment to track the GPS satellites. However, the servomotor failed because of the strong wind produced by the typhoon. Therefore, the measured data were incorrect. Prior to the servomotor failure, the GPS-calculated ZWD and the WVR-measured ZWD displayed the same trend. When the data after MJD 53955 were excluded, the correlation coefficient between the GPS-ZWD and the WVR-ZWD was calculated to be 0.85. The average discrepancy was 2.67 cm. Both of these parameters were worse than those calculated in the plum rain season case, which was similar to the YMSM station. This result again suggests that the accuracy of the ZWD is reduced during the typhoon period. Figure 7 also shows that the GPS-ZWD increased rapidly when the two typhoons were closest to Taiwan (MJD 53957 and 53957). After the typhoons, the GPS-ZWD decreased rapidly. One day after the typhoons (MJD 53958), the GPS-ZWD decreased rapidly to its minimum value of the period.

4.3 Case 3: Long Duration

The long-duration case used three months of data, from MJD 53826 to 53917 (April-June). We used the same stations as in the previous two cases. Figure 8 shows the result of the YMSM station. We can see that the long-duration and short-duration cases (Case 3 and Case 1) are similar. The ZWD measured by the WVR and the ZWD calculated from GPS displayed the same trend. The correlation coefficient was 0.94, and the average difference was 1.26 cm. Both of these parameters were better than those of the typhoon case but slightly worse than those of the plum rain season case. By comparing the precipitation and the ZWD, we found that the delay increases dramatically when a rainfall occurs, whereas the wet delay decreases rapidly following a rainfall.

Figure 9 shows the result of the PKGM station. During the period from April to June, the majority of the precipitation clearly occurred in June in southern Taiwan. The correlation coefficient between the WVR-ZWD and GPS-ZWD was 0.91, and the average difference was 1.89 cm. This result is better than those of the two short-duration cases. Compared with the typhoon case, the improved results in the long-duration case may be caused by the low GPS accuracy, which resulted from the severe change that occurred in the atmosphere during the typhoon period. In the plum rain case, the PKGM station was located in an area that experienced extremely torrential rainfall (the hourly precipitation was 20–60 mm). Therefore, the inaccuracies could be attributed to the larger observational error of the WVR.

After verifying the precipitable water vapor that was calculated from the GPS data using the WVR data, we further analyzed the relationship between the ZWD and precipitation by dividing the long-duration data into two types, those with precipitation and those without precipitation (see Table 1). We also separated the stations into flatland and mountain stations. The stations were then ranked according to their latitudes. Table 1 shows that the ZWD threshold of precipitation for the flatland stations was 0.36 m, whereas it was only 0.31 m for the mountain stations. This is a difference of 0.05 m, which represents 14% of the total. The same phenomenon was observed in the data without precipitation. The average ZWDs of the flatland stations and mountain stations were 0.31 m and 0.27 m, respectively. The difference was 0.04 m, which represents 13% of the total. Therefore, the height of the station must be considered when using the ZWD to predict whether rainfall will occur. The reasoning is as follows: because the mountain station is located at a higher altitude, the layer of troposphere through which the GPS signal passes to reach the GPS receivers is thinner for the mountain station than for the flatland station. Therefore, the error of the signal due to the water vapor delay is smaller. Conversely, the GPS signals must pass through a thicker layer of troposphere before reaching the

flatland stations. Therefore, the signal delay effect at the flatland stations is larger than that at the mountain stations.

Next, according to the amount of rainfall, we divided the data into heavy rain, moderate rain, and light rain categories to investigate the correlation between the ZWD and the rainfall strength. Table 2 shows the three categories. The definitions of the three categories are as follows: heavy rain refers to rainfall with an hourly precipitation rate above 20 mm, moderate rain refers to rainfall with an hourly precipitation rate between 10 mm and 20 mm, and light rain refers to rainfall with an hourly precipitation rate of less than 10 mm. Table 2 shows that when light rain occurred at the flatland stations, the average ZWD was 0.36 m; when moderate rain occurred, the average ZWD increased to 0.38 m. The difference was 0.02 m, which represents 5% of the total. When heavy rain occurred, the average ZWD reached 0.40 m. The difference between the heavy rain and moderate rain was 0.02 m, which represents 5% of the total. When light rain, moderate rain, and heavy rain occurred at the mountain stations, the corresponding ZWD values were 0.30 m, 0.33 m, and 0.34 m, respectively. The increase was only slightly different than that at the flatland stations. Based on the aforementioned results, we concluded that at regions with different elevations, the GPS-ZWD cannot be used alone to decide whether a potential for precipitation exists; the value of the GPS-ZWD should also be used to decide the strength of the precipitation. Recently, the CWB has applied ground-based GPS to calculate near real-time ZWD data. By importing these data into the numerical meteorological model, encouraging preliminary results have been obtained (Kuo et al., 2000; Chen et al., 2009). If this method can be applied to all 400+ GPS stations in Taiwan and its surrounding islands, higher spatial- and temporal-resolution data can be provided to the city and countryside weather forecast system currently under development. Consequently, the quality of the fundamental resources that are used in weather forecasting can be improved.

5. Conclusions and Recommendations

In this study, we utilized ground-based GPS signals to calculate the ZWD. The accuracy of the GPS-ZWD was verified using the ZWD that was measured by the WVR. Based on the averaged data from the YMSM and PKGM stations, the difference between the GPS-ZWD and WVR-ZWD was 1.31 cm in the plum rain season case. The correlation coefficient was 0.93. In the typhoon case, the difference between the GPS-ZWD and WVR-ZWD was 2.57 cm, and the correlation coefficient was 0.89. In the long-duration case, the difference between the GPS-ZWD and WVR-ZWD was 1.58 cm, and the correlation coefficient was 0.93. Assuming that the WVR-ZWD is true to evaluate the accuracy of the GPS-ZWD, we observed only minimal differences between the long-duration and plum rain season cases. However,

the accuracy obtained during the typhoon case was notably reduced. This reduction could be related to the 1-hr resolution of the ZWD. In other words, we assumed that the ZWD does not change significantly over the course of an hour. Therefore, a constant unknown was given and solved. However, because atmospheric parameters can change rapidly during a typhoon period, the ZWD cannot be a fixed value. Therefore, the accuracy of the GPS-ZWD was lower in the typhoon case. In the future, 30- or even 15-min time resolutions may be used to calculate the ZWD. However, a higher time resolution may also induce too many unknowns, which may lead to an unsolvable problem or to decreased accuracy. Moreover, although the WVR is equipped with the Rain Effect Mitigation component, the observational data derived from the WVR were notably abnormal when the rate of rainfall was greater than 20 mm/hr. This phenomenon could be related to the measurement error caused by the water drops adhering to the surface of WVR during periods of heavy rainfall. Therefore, during heavy rainfall, GPS data are more reliable than WVR data.

In this study, we also observed that rainfall can occur at flatland stations when the average ZWD value reaches 0.36 m; at the mountain stations, this value is 0.31 m. The difference between the values is 0.05 m, which represents 14% of the total. Therefore, the height of the station must be considered when the ZWD is used to decide whether a certain area will experience rainfall. Furthermore, when the flatland stations experienced light rain, moderate rain, and heavy rain, the ZWDs were 0.36 m, 0.38 m, and 0.40 m, respectively. For the mountain stations, the ZWDs were 0.30 m, 0.33 m, and 0.45 m, respectively. This result suggests that at different elevations, the ZWD value can be used to forecast the potential for and strength of precipitation. The GPS calculation method that was used in this study, long baseline static relative positioning, was used to eliminate many common system errors. Although this method can generate a higher accuracy for the ZWD calculation, the accuracy greatly depends on the main station. In the future, if the Precise Point Positioning (PPP) method can be revised to improve the accuracy of the error correction, the absolute and independent ZWD value can be obtained; this goal will be the focus of our future studies.

References

- Bevis, M., 1994. GPS meteorology: mapping zenith wet delays onto precipitable water, *Journal of Application Meteorology*, 33, 379-386.
- Bock, O. and Doerflinger, E., 2001. Atmospheric modeling in GPS data analysis for high accuracy positioning, *Phys. Chem. Earth (A)*, 26(6-8), 373-383.
- Chen, C. H., Yeh, T. K., Liu, J. Y., Wang, C. H., Wen, S., Yen, H. Y., and Chang, S. H., 2011. Surface deformation and seismic rebound: implications and applications, *Surveys in Geophysics*, 32(3), 291-313, doi: 10.1007/s10712-011-9117-3.
- Chen, G. and Herring, T. A., 1997. Effects of atmospheric azimuthal asymmetry on the analysis of space geodetic data, *J. Geophys. Res.*, 102(20), 489-502.
- Chen, S. Y., Huang, C. Y., Kuo, Y. H., Guo, Y. R. and Sokolovskiy, S., 2009.

- Assimilation of GPS refractivity from FORMOSAT-3/COSMIC using a nonlocal operator with WRF 3DVAR and its impact on the prediction of a typhoon event, *Terrestrial, Atmospheric and Oceanic Sciences*, 20(1), 133-154.
- CWB, 2011. Webpage of Center Weather Bureau, <http://www.cwb.gov.tw/>.
- Davis, J. L., Herring, T. A., Shapiro, I. I., Rogers, A. E. E., and Elgered, G, 1984. Geodesy by radio interferometry: effects of atmospheric modeling errors on estimates of baseline length, *Radio Sci.*, 20, 1593-1607.
- Goad, C. C. and Goodman, L., 1974. A modified Hopfield tropospheric refraction correction model, American Geophysical Union Fall Meeting, San Francisco, California.
- Hofmann-Wellenhof, B., Lichtenegger, H., and Collins, J., 2001. *Global Positioning System: Theory and Practice*, Springer-Verlag, New York.
- Janes, H. W., Langley, R. B., and Newby, S. P., 1991. Analysis of tropospheric delay prediction models: comparisons with ray-tracing and implications for GPS relative positioning, *Journal of Geodesy*, 65(3), 151-161.
- Kueh, M. T., Huang, C. Y., Chen, S. Y., Chen, S. H., and Wang, C. J., 2009. Impact of GPS radio occultation refractivity soundings on a simulation of Typhoon Bilis (2006) upon landfall, *Terrestrial, Atmospheric and Oceanic Sciences*, 20(1), 115-131.
- Kuo, Y. H., Sokolovskiy, S. V., Anthes, R. A., and Vandenberghe, F., 2000. Assimilation of GPS radio occultation data for numerical weather prediction, *Terrestrial, Atmospheric and Oceanic Sciences*, 11(1), 157-186.
- Liou, Y. A., Huang, C. Y. and Teng, Y. T., 2000. Precipitable water observed by ground-based GPS receivers and microwave radiometry, *Earth, Planets, and Space*, 52(6), 445-450.
- Mendes, V. B. and Langley, R. B., 1999. Tropospheric zenith delay prediction accuracy for high-precision GPS positioning and navigation, *Journal of the Institute of Navigation*, 46(1), 25-34.
- Niell, A., 1996. Global mapping functions for the atmosphere delay at radio wavelengths, *J. Geoph. Res.*, 101, 3227-3246.
- Saastamoinen, J., 1973. Contributions to the theory of atmospheric refraction, In three parts, *Bulletin Geodesique*, 105, 279-298.
- Shoji, Y., Nakamura, H., Iwabuchi, T., Aonashi, K., Seko, H., Mishima, K., Itagaki, A., Ichikawa, R., and Ohtani, R., 2003. Tsukuba GPS dense net campaign observation: improvement of GPS analysis of slant path delay by stacking one-way postfit phase residuals, International Workshop on GPS Meteorology, Tsukuba, Japan.
- Yeh, T. K., Hwang, C., Xu, G., Wang, C. S., and Lee, C. C., 2009. Determination of global positioning system (GPS) receiver clock errors: impact on positioning accuracy, *Measurement Science and Technology*, 20, 075105.
- Yeh, T. K., Hwang, C., Huang, J. F., Chao, B. F., and Chang, M. H., 2011. Vertical displacement due to ocean tidal loading around Taiwan based on GPS observations, *Terrestrial, Atmospheric and Oceanic Sciences*, 22(4), 373-382.
- Yeh, T. K., Chung, Y. D., Wu, C. T., Wang, C. S., Zhang, K., and Chen, C. H., 2012. Identifying the relationship between GPS data quality and positioning precision: case study on IGS tracking stations, *Journal of Surveying Engineering*, 138(3), 136-142.

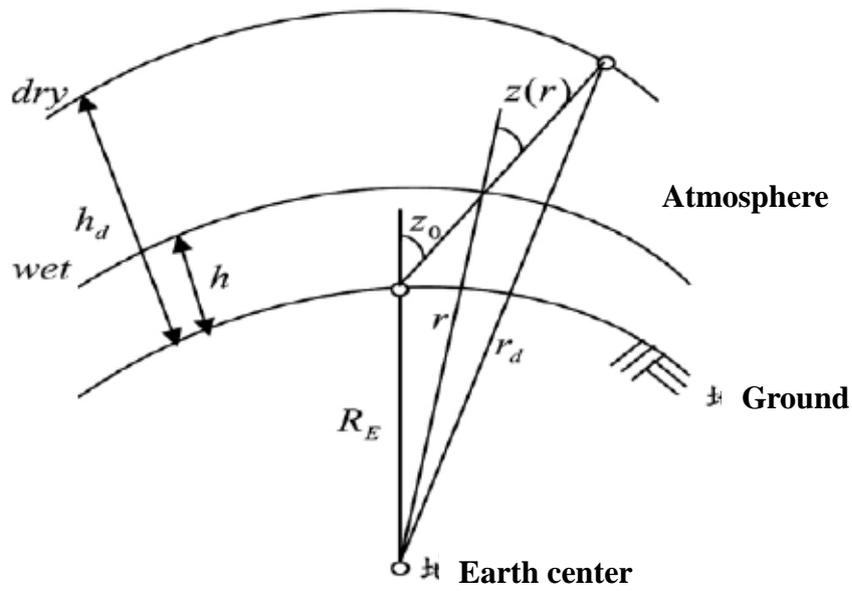


Figure 1: The relative relationship for the geometric path delay of the troposphere.

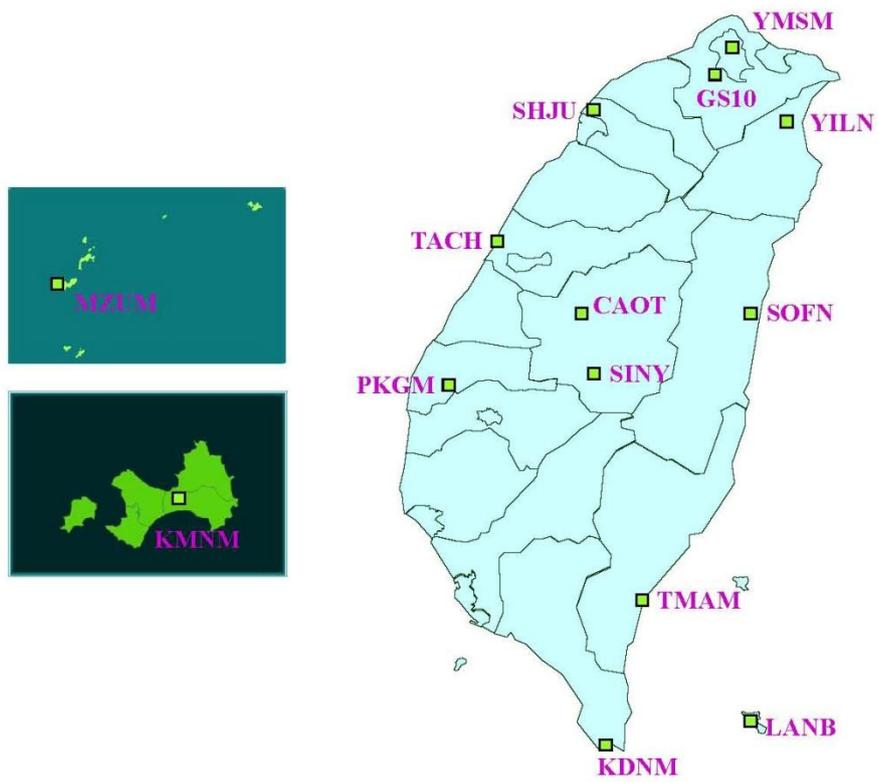


Figure 2: The distribution of the GPS observation stations.

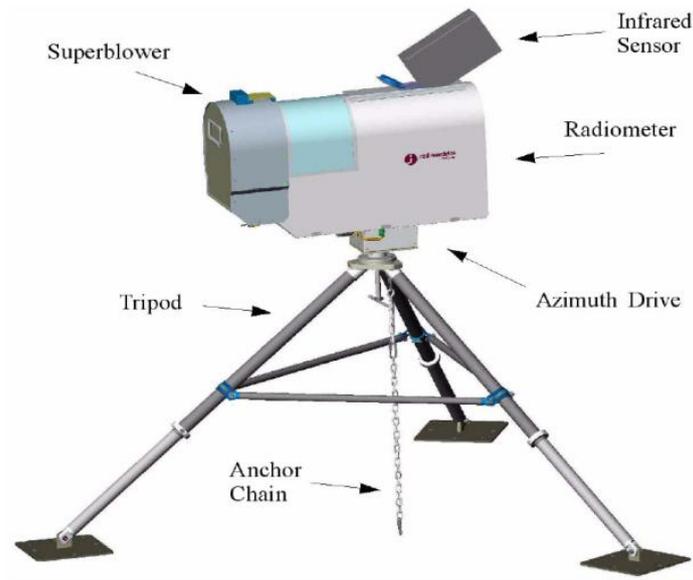


Figure 3: Architectural diagram of the Radiometrics WVP-1500.

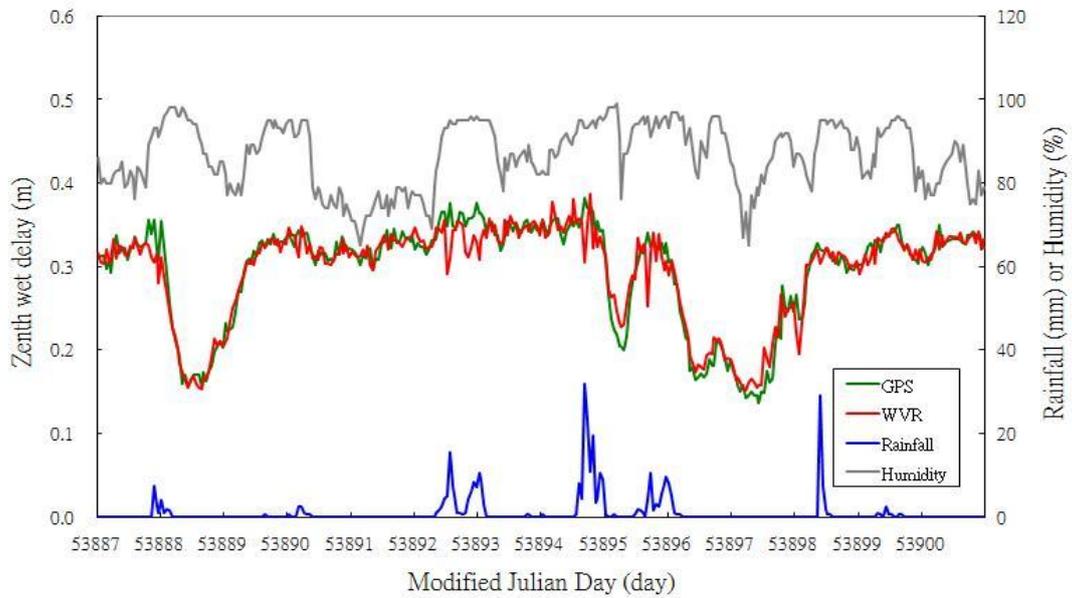


Figure 4: The GPS-ZWD, WVR-ZWD, relative humidity, and precipitation data from the YMSM station during the plum rain season.

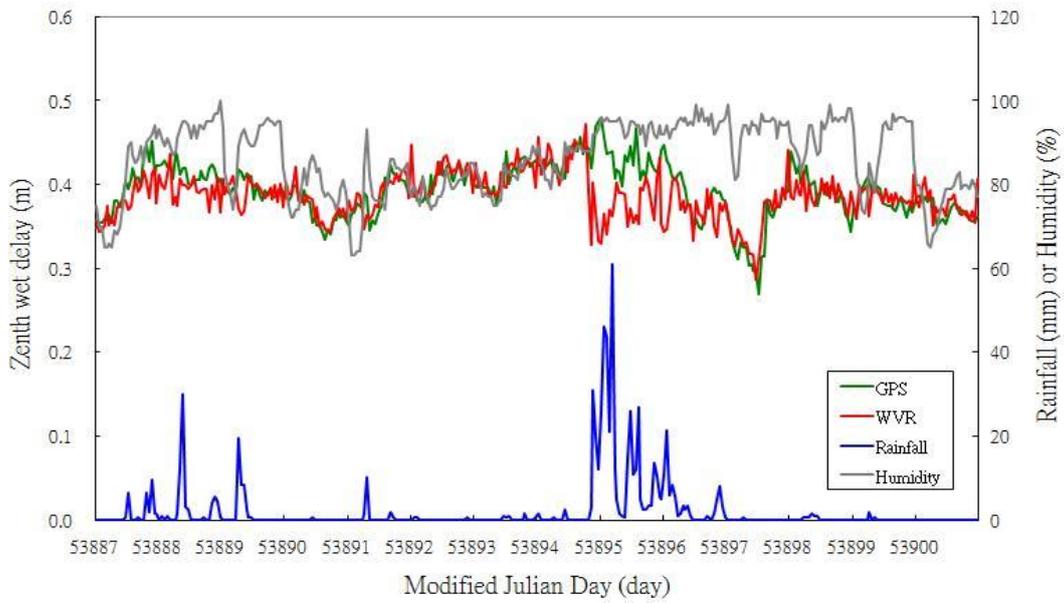


Figure 5: The GPS-ZWD, WVR-ZWD, relative humidity, and precipitation data from the PKGM station during the plum rain season.

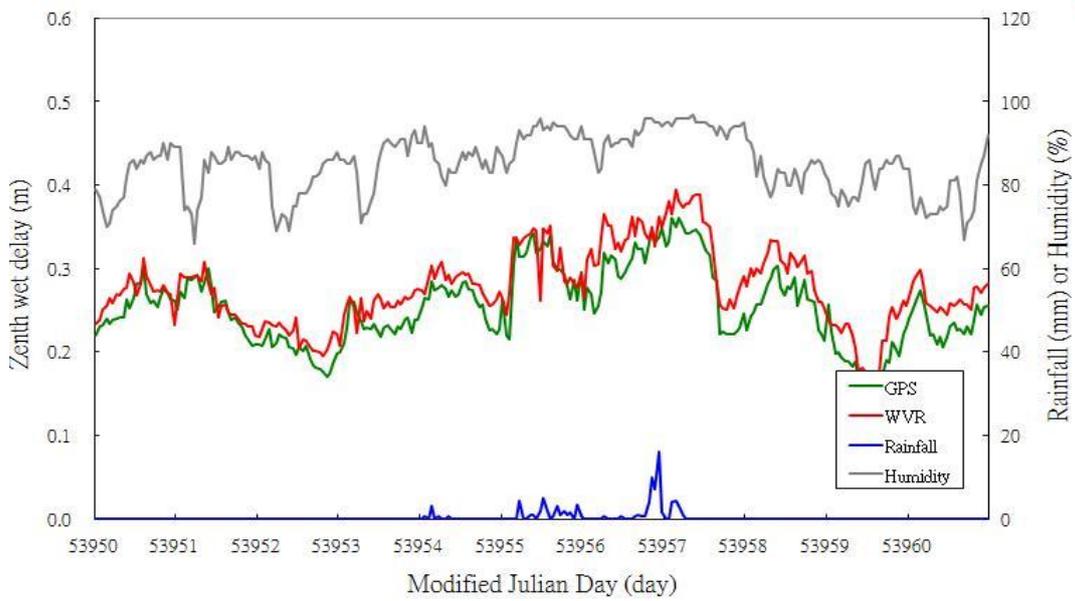


Figure 6: The GPS-ZWD, WVR-ZWD, relative humidity, and precipitation data from the YMSM station during the typhoon period.

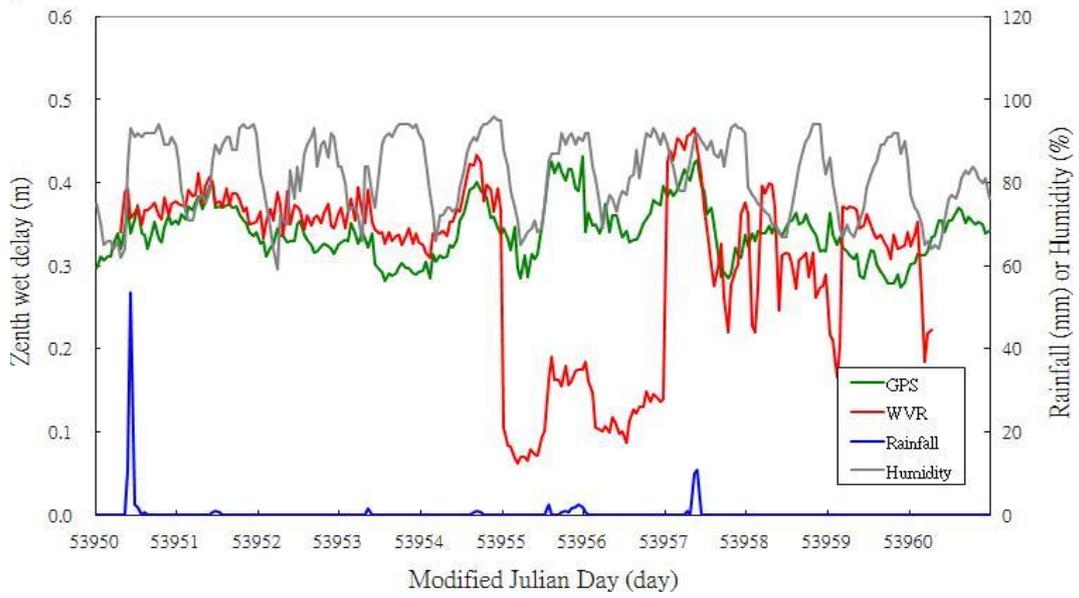


Figure 7: The GPS-ZWD, WVR-ZWD, relative humidity, and precipitation data from the PKGM station during the typhoon period.

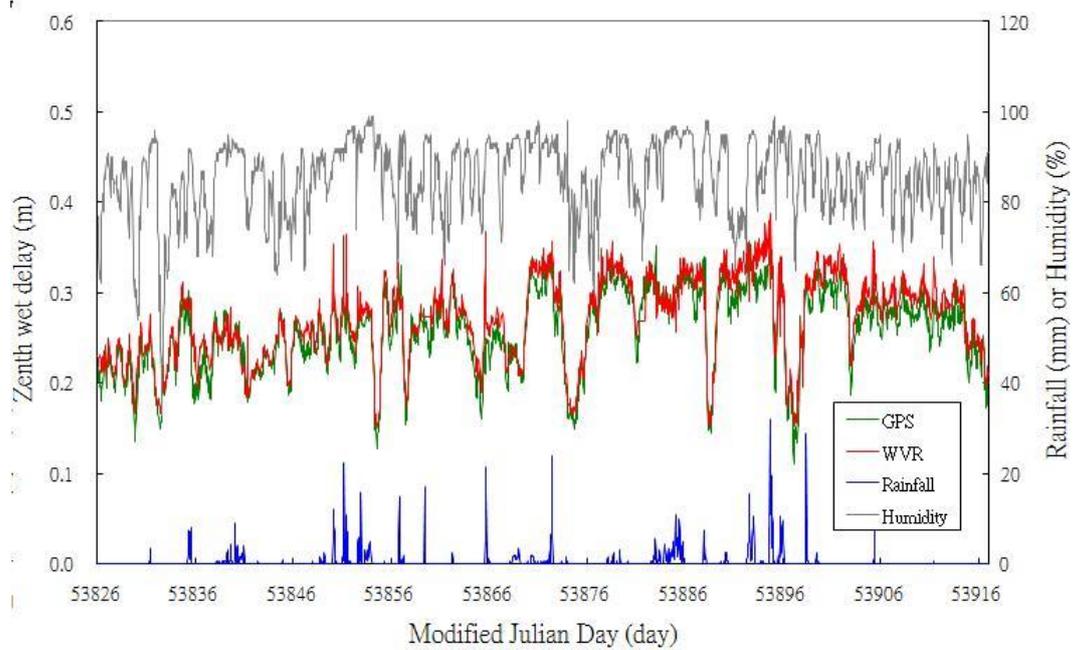


Figure 8: The GPS-ZWD, WVR-ZWD, relative humidity, and precipitation data from the YMSM station during the long-duration case.

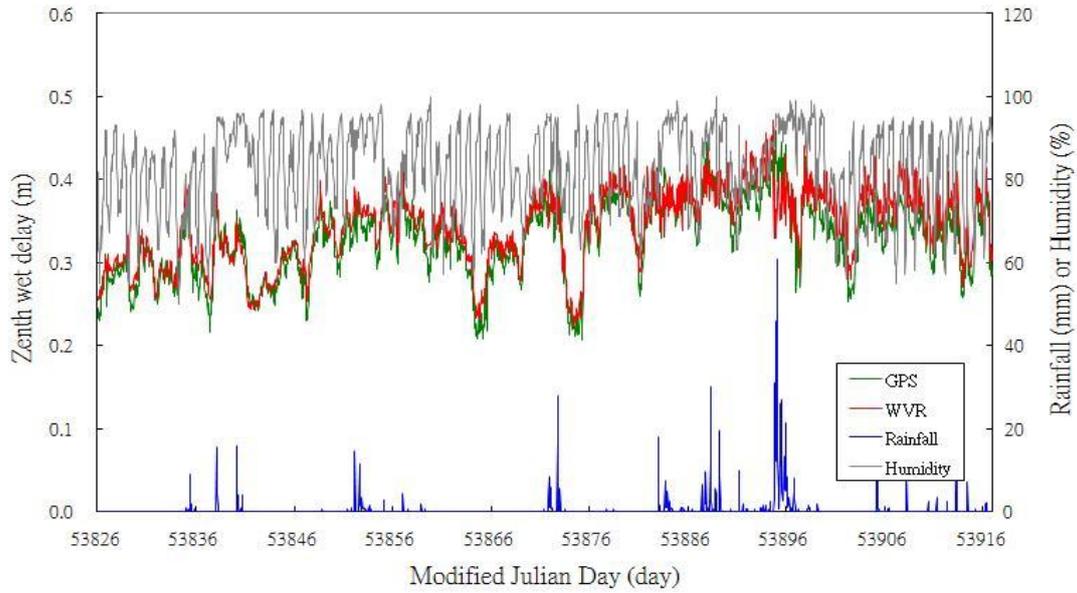


Figure 9: The GPS-ZWD, WVR-ZWD, relative humidity, and precipitation data from the PKGM station during the long-duration case.

Table 1: The average ZWD with and without rainfall from the flatland and mountain stations

Flatland station	Latitude	Height (m)	With rainfall ZWD (m)	Without rainfall ZWD (m)
MZUM	26°09'N	60	0.35	0.28
GS10	25°08'N	52	0.35	0.31
SHJU	24°50'N	24	0.36	0.31
YILN	24°44'N	64	0.35	0.32
KMNM	24°24'N	49	0.37	0.31
TACH	24°17'N	34	0.37	0.32
CAOT	23°58'N	142	0.37	0.31
SOFN	23°52'N	59	0.37	0.32
PKGM	23°34'N	43	0.38	0.32
TMAM	22°37'N	59	0.37	0.31
KDMN	21°57'N	58	0.37	0.32
	Average	59	0.36	0.31
Mountain station	Latitude	Height (m)	With rainfall ZWD (m)	Without rainfall ZWD (m)
YMSM	25°10'N	784	0.29	0.25
SINY	23°41'N	536	0.33	0.28
LANB	22°02'N	351	0.32	0.28
	Average	557	0.31	0.27

Table 2: The average ZWD during different rainfall strengths from the flatland and mountain stations

Flatland station	Latitude	Height (m)	Light rain ZWD (m)	Moderate rain ZWD (m)	Heavy rain ZWD (m)
MZUM	26°09'N	60	0.36	0.37	0.38
GS10	25°08'N	52	0.35	0.38	0.40
SHJU	24°50'N	24	0.36	0.37	0.40
YILN	24°44'N	64	0.35	0.39	0.40
KMNM	24°24'N	49	0.37	0.38	0.38
TACH	24°17'N	34	0.37	0.39	0.40
CAOT	23°58'N	142	0.36	0.39	0.39
SOFN	23°52'N	59	0.36	0.42	0.40
PKGM	23°34'N	43	0.38	0.39	0.42
TMAM	22°37'N	59	0.37	0.39	0.42
KDMN	21°57'N	58	0.36	0.36	0.41
	Average	59	0.36	0.38	0.40
Mountain Station	Latitude	Height (m)	Light rain ZWD (m)	Moderate rain ZWD (m)	Heavy rain ZWD (m)
YMSM	25°10'N	784	0.28	0.31	0.31
SINY	23°41'N	536	0.32	0.34	0.36
LANB	22°02'N	351	0.31	0.33	0.36
	Average	557	0.30	0.33	0.34